

# **Sistema de monitoreo y gestión remota del clima en invernaderos**

Lic. Martín Anibal Lacheski

**Carrera de Especialización en Internet de las Cosas**

**Director:** Mg. Lic. Leopoldo Alfredo Zimperz (FIUBA)

**Jurados:**

Jurado 1 (pertenencia)  
Jurado 2 (pertenencia)  
Jurado 3 (pertenencia)

*Ciudad de Montecarlo, Misiones, junio de 2025*



## *Resumen*

La presente memoria describe el desarrollo de un prototipo para monitorear y controlar de manera remota las condiciones climáticas en los invernaderos de la Facultad de Ciencias Forestales de la Universidad Nacional de Misiones. La solución propuesta integra sensores y actuadores conectados a un servidor remoto a través de una red inalámbrica y un protocolo de mensajería ligero, así como una aplicación web que permite la supervisión y el control a distancia del sistema.

Este trabajo permite optimizar el uso de recursos, mejorar la productividad y reducir costos operativos. Su implementación requirió conocimientos en sistemas embebidos, sensores, protocolos de comunicación, desarrollo de software, técnicas de seguridad y la implementación de soluciones cloud.



## *Agradecimientos*

Esta sección es para agradecimientos personales y es totalmente **OPCIONAL**.



# Índice general

<b>Resumen</b>	<b>I</b>
<b>1. Introducción general</b>	<b>1</b>
1.1. Problemática actual . . . . .	1
1.2. Motivación . . . . .	2
1.3. Estado del arte . . . . .	2
1.4. Objetivos y alcance . . . . .	3
1.4.1. Objetivo principal . . . . .	3
1.4.2. Objetivos específicos . . . . .	3
1.4.3. Alcance del trabajo . . . . .	3
1.5. Requerimientos . . . . .	4
<b>2. Introducción específica</b>	<b>7</b>
2.1. Protocolos de comunicación . . . . .	7
2.1.1. Wi-Fi . . . . .	7
2.1.2. MQTT . . . . .	7
2.1.3. TLS . . . . .	8
2.2. Componentes de hardware . . . . .	8
2.2.1. Microcontrolador . . . . .	8
2.2.2. Sensor de temperatura ambiente, humedad relativa y presión atmosférica . . . . .	8
2.2.3. Sensor de luz digital . . . . .	9
2.2.4. Sensor de dióxido de carbono . . . . .	9
2.2.5. Sensor de detección de pH . . . . .	9
2.2.6. Sensor de conductividad eléctrica . . . . .	10
2.2.7. Sensor de sólidos disueltos totales . . . . .	10
2.2.8. Sensor de temperatura digital sumergible . . . . .	10
2.2.9. Sensor ultrasónico . . . . .	11
2.2.10. Sensor de medición de consumo eléctrico . . . . .	11
2.2.11. Módulo de relés . . . . .	11
2.3. Desarrollo de firmware . . . . .	12
2.3.1. MicroPython . . . . .	12
2.4. Desarrollo backend y API . . . . .	12
2.4.1. FastAPI . . . . .	12
2.4.2. MongoDB . . . . .	12
2.5. Desarrollo frontend . . . . .	13
2.5.1. React . . . . .	13
2.6. Infraestructura y despliegue . . . . .	13
2.6.1. Docker . . . . .	13
2.6.2. AWS IoT Core . . . . .	13
2.6.3. AWS EC2 . . . . .	13
2.7. Herramientas de desarrollo . . . . .	14

2.7.1. Visual Studio Code . . . . .	14
2.7.2. Postman . . . . .	14
2.7.3. GitHub . . . . .	14
<b>3. Diseño e implementación</b>	<b>15</b>
3.1. Arquitectura del sistema . . . . .	15
3.1.1. Capa de percepción . . . . .	15
3.1.2. Capa de red . . . . .	16
3.1.3. Capa de aplicación . . . . .	16
3.2. Modelo de datos . . . . .	16
3.2.1. Parametrización del sistema . . . . .	17
3.2.2. Gestión de usuarios y roles . . . . .	17
3.2.3. Sensores y actuadores . . . . .	18
3.2.4. Auditoría y seguimiento . . . . .	18
3.3. Servidor IoT . . . . .	18
3.3.1. Arquitectura del servidor . . . . .	18
3.4. Desarrollo del backend . . . . .	19
3.4.1. Diseño de la API . . . . .	19
3.4.2. Autenticación y autorización . . . . .	20
3.4.3. Persistencia de datos . . . . .	20
3.4.4. Comunicación con el broker MQTT . . . . .	22
Pasos en AWS IoT Core . . . . .	22
Implementación de MQTT en FastAPI . . . . .	22
Comunicación con MQTT en FastAPI . . . . .	23
3.4.5. Implementación de WebSockets . . . . .	24
3.5. Desarrollo del frontend . . . . .	25
3.5.1. Tecnologías utilizadas . . . . .	25
3.5.2. Arquitectura de la interfaz . . . . .	25
3.5.3. Componentes principales de la interfaz de usuario . . . . .	25
Gestión de autenticación . . . . .	25
Layout . . . . .	26
Arquitectura de navegación y control de acceso . . . . .	27
3.5.4. Visualización de datos en tiempo real . . . . .	27
3.5.5. Reportes de datos históricos . . . . .	28
3.6. Desarrollo del firmware de los dispositivos IoT . . . . .	30
3.6.1. Arquitectura general del firmware . . . . .	30
3.6.2. Estructura del código . . . . .	30
3.6.3. Gestión de la configuración . . . . .	32
Archivo de configuración . . . . .	32
Archivo de configuración del intervalo . . . . .	32
Archivo de configuración Wi-Fi . . . . .	32
Archivo de configuración de la zona horaria . . . . .	32
3.6.4. Comunicación inalámbrica . . . . .	32
Wi-Fi . . . . .	33
MQTT . . . . .	33
Comunicación y formato de mensajes . . . . .	33
3.6.5. Gestión de tareas y concurrencia . . . . .	34
3.6.6. Manejo de errores . . . . .	34
Manejo de excepciones . . . . .	34
Reintentos . . . . .	34
Logging . . . . .	34

Optimización de recursos . . . . .	34
3.6.7. Resumen de nodos sensores y actuadores . . . . .	34
3.7. Despliegue del sistema . . . . .	36
3.7.1. Entorno de prueba . . . . .	36
Creación de la instancia EC2 . . . . .	36
Acceso remoto y configuración inicial . . . . .	36
3.7.2. Instalación de componentes del sistema . . . . .	36
Docker y Docker Compose . . . . .	36
Cliente de actualización dinámica de DuckDNS . . . . .	37
Clonación del repositorio y preparación . . . . .	37
Configuración de certificados . . . . .	37
Construcción y ejecución de los servicios . . . . .	38
3.7.3. Configuración del sistema como servicio . . . . .	38
3.7.4. Resumen del proceso de despliegue . . . . .	38
<b>4. Ensayos y resultados</b>	<b>41</b>
4.1. Banco de pruebas . . . . .	41
4.2. Criterios de evaluación . . . . .	42
4.3. Pruebas de backend . . . . .	43
4.3.1. Pruebas en Postman . . . . .	44
Evaluación general . . . . .	44
Resultados generales de las pruebas . . . . .	45
4.3.2. Pruebas de validación de WebSocket . . . . .	46
4.3.3. Pruebas de validación de almacenamiento en MongoDB . . . . .	46
4.4. Pruebas de frontend . . . . .	47
4.4.1. Pruebas de autenticación y autorización . . . . .	48
Pruebas de autenticación . . . . .	48
Pruebas de autenticación y autorización . . . . .	48
4.4.2. Pruebas de funcionalidad . . . . .	49
Validación de formularios . . . . .	49
Validación de tablas y gráficos . . . . .	50
Validación de gráficos con WebSocket . . . . .	51
Pruebas de usabilidad . . . . .	52
4.5. Pruebas de componentes . . . . .	53
4.5.1. Pruebas de sensores . . . . .	53
Prueba de sensor ambiental . . . . .	53
Prueba de sensor de solución nutritiva . . . . .	54
Prueba de sensor de consumos . . . . .	54
4.5.2. Pruebas de actuadores . . . . .	55
4.6. Pruebas de comunicación . . . . .	55
4.6.1. Pruebas en sensor ambiental . . . . .	55
4.6.2. Pruebas en sensor de consumos . . . . .	56
4.6.3. Pruebas en sensor de solución nutritiva . . . . .	57
4.6.4. Pruebas de comunicación en el actuador . . . . .	57
4.7. Prueba integral del sistema . . . . .	58
<b>A. Modelo de datos implementado en el trabajo</b>	<b>61</b>
<b>B. Resumen de endpoints de la API</b>	<b>63</b>
<b>C. Autenticación con JWT</b>	<b>67</b>

<b>D. Conexión de la aplicación FastAPI con la base de datos MongoDB</b>	<b>69</b>
<b>E. Conexión al broker MQTT con FastAPI y AWS IoT SDK para Python</b>	<b>71</b>
<b>F. Conexión por WebSocket en FastAPI</b>	<b>77</b>
F.1. Introducción . . . . .	77
F.2. Autorización para WebSocket . . . . .	77
F.3. Gestión de conexiones WebSocket . . . . .	78
F.4. Integración con FastAPI . . . . .	79
<b>G. Despliegue del sistema en instancia EC2</b>	<b>81</b>
G.1. Introducción . . . . .	81
G.2. Creación de la instancia EC2 . . . . .	81
G.3. Instalación y configuración del servidor EC2 . . . . .	83
G.3.1. Conectarse a la instancia EC2 . . . . .	83
G.3.2. Instalación de Docker . . . . .	84
G.3.3. Instalación de Docker Compose . . . . .	84
G.3.4. Instalación del cliente DuckDNS . . . . .	85
G.3.5. Descarga y configuración del repositorio EnviroSense . . . . .	86
G.3.6. Configuración del sistema como servicio . . . . .	87
<b>Bibliografía</b>	<b>89</b>

# Índice de figuras

1.1. Diagrama en bloques del sistema.	4
2.1. Microcontrolador ESP-WROOM-32 <sup>1</sup> .	8
2.2. Sensor BME280 <sup>2</sup> .	9
2.3. Sensor BH1750 <sup>3</sup> .	9
2.4. Sensor MH-Z19C <sup>4</sup> .	9
2.5. Sensor PH-4502C <sup>5</sup> .	10
2.6. Sensor CE <sup>6</sup> .	10
2.7. Sensor TDS <sup>7</sup> .	10
2.8. Sensor de temperatura DS18B20 <sup>8</sup> .	11
2.9. Sensor HC-SR04 <sup>9</sup> .	11
2.10. Sensor de medición de consumo eléctrico <sup>10</sup> .	11
2.11. Relé de 2 Canales 5 V 10 A <sup>11</sup> .	12
3.1. Arquitectura de la solución propuesta.	15
3.2. Modelo de datos implementado.	17
3.3. Arquitectura del servidor del sistema IoT.	18
3.4. Esquema de autenticación y autorización.	20
3.5. Diagrama de clases de los modelos implementados.	21
3.6. Pasos para la conexión de FastAPI y MongoDB.	21
3.7. Pasos para verificar la conexión con el broker MQTT.	23
3.8. Pasos para publicar un mensaje en un tópico específico.	23
3.9. Pasos para la conexión del cliente MQTT.	24
3.10. Pasos para establecer la conexión WebSocket.	24
3.11. Pantalla de Login	26
3.12. Estructura del componente Layout	26
3.13. Sistema de navegación	27
3.14. Visualización de datos en tiempo real	28
3.15. Pantalla de reportes	28
3.16. Pantalla de reportes	29
3.17. Pantalla de reportes	29
3.18. Visualización de datos en tiempo real desde un dispositivo móvil	30
3.19. Flujo de ejecución del código en los nodos	31
3.20. Flujo de comunicación entre nodos y broker MQTT	33
4.1. Banco de pruebas del sistema EnviroSenseIoT	42
4.2. Interfaz de Swagger	43
4.3. Pruebas realizadas en Postman	44
4.4. Pruebas de WebSocket	46
4.5. Validación de almacenamiento en MongoDB	47
4.6. Pruebas de autenticación	48
4.7. Autenticación y autorización rol administrador	49
4.8. Autenticación y autorización rol usuario	49

4.9. Validación de formularios . . . . .	50
4.10. Verificación de creación de usuario . . . . .	50
4.11. Pruebas de funcionalidad en tablas . . . . .	51
4.12. Pruebas de funcionalidad en gráficos . . . . .	51
4.13. Pruebas de funcionalidad en el dashboard . . . . .	52
4.14. Interfaz de ambientes en dispositivo móvil . . . . .	52
4.15. Listado en formato apaisado desde dispositivo móvil . . . . .	53
4.16. Pruebas de sensor ambiental . . . . .	54
4.17. Pruebas de sensor de solución nutritiva . . . . .	54
4.18. Pruebas de sensor de consumos . . . . .	54
4.19. Pruebas de actuadores . . . . .	55
4.20. Pruebas de encendido de relés . . . . .	55
4.21. Pruebas de comunicación con sensor ambiental . . . . .	56
4.22. Pruebas de comunicación con sensor ambiental . . . . .	56
4.23. Pruebas de comunicación con sensor de consumos . . . . .	56
4.24. Pruebas de comunicación con sensor de consumos . . . . .	56
4.25. Pruebas de comunicación con sensor de solución nutritiva . . . . .	57
4.26. Pruebas de comunicación con sensor de solución nutritiva . . . . .	57
4.27. Pruebas de comunicación con actuador . . . . .	57
4.28. Pruebas de comunicación con actuador . . . . .	58
4.29. Pruebas de comunicación con actuador . . . . .	58
4.30. Envío de comando de activación al microcontrolador . . . . .	58
4.31. Salida por consola del frontend . . . . .	59
4.32. Salida por consola del backend . . . . .	59
4.33. Salida por consola del microcontrolador . . . . .	59
4.34. Salida por consola del backend . . . . .	60
4.35. Verificación de persistencia en MongoDB Compass . . . . .	60
4.36. Actualización del estado de los relés en el frontend . . . . .	60
A.1. Modelo de datos implementado en el trabajo. . . . .	62
G.1. Resumen de la instancia EC2 creada. . . . .	82
G.2. Conexión SSH a la instancia EC2. . . . .	83
G.3. Acceso a la aplicación web EnviroSenseIoT. . . . .	88
G.4. Visualización de datos en tiempo real. . . . .	88

# Índice de tablas

1.1. Características de la competencia . . . . .	2
3.1. Resumen de principales endpoints de la API . . . . .	19
3.2. Resumen de nodos . . . . .	35
3.3. Resumen del despliegue del sistema . . . . .	39
4.1. Criterios de evaluación del banco de pruebas . . . . .	43
4.2. Resultados de tiempos de respuesta . . . . .	45
4.3. Promedios de tiempos de respuesta . . . . .	45
B.1. Resumen de principales endpoints de la API . . . . .	63
B.2. Resumen de principales endpoints de la API . . . . .	64
B.3. Resumen de principales endpoints de la API . . . . .	65



*Dedicado a... [OPCIONAL]*



# Capítulo 1

## Introducción general

Este capítulo presenta una visión general de los sistemas de gestión y monitoreo en invernaderos, se abordan los desafíos actuales y las oportunidades de mejora en el ámbito de la agricultura. Se describe la problemática relacionada con la falta de optimización en los sistemas de cultivo tradicionales. Además, se describen la motivación, los objetivos, el alcance y los requerimientos asociados a los diferentes componentes del sistema.

### 1.1. Problemática actual

La agricultura enfrenta desafíos crecientes en la optimización de la productividad y la eficiencia, especialmente en regiones con condiciones climáticas adversas y variables. Según la FAO (del inglés, *Food and Agriculture Organization of the United Nations*) [1], para el año 2050, se estima que la población superará los 9 mil millones de personas, lo que demandará un aumento del 60 % en la producción de alimentos. Para abordar este desafío, es fundamental optimizar el uso del agua, mejorar la productividad agrícola y fomentar prácticas que contribuyan a la sostenibilidad ambiental.

Ante estos retos, los cultivos hidropónicos han surgido como una solución prometedora debido a su capacidad para utilizar los recursos de manera más eficiente. Entre sus principales ventajas se destacan la reducción en el consumo de agua [2], la posibilidad de cultivar durante todo el año en entornos controlados y un aumento significativo en la productividad, gracias a la mayor velocidad de crecimiento y rendimiento de los cultivos.

En la provincia de Misiones, la producción hidropónica ha experimentado un crecimiento notable en los últimos años [3], [4]. No obstante, persisten desafíos en la gestión eficiente de los recursos esenciales. Actualmente, la mayoría de los productores emplean sistemas de control basados en temporizadores programables, los cuales no consideran las variaciones ambientales. Esto implica la necesidad de intervenciones manuales frecuentes y mediciones directas, lo que limita la eficiencia del proceso.

La falta de monitoreo en tiempo real impacta negativamente en la calidad y el rendimiento de los cultivos, incrementa los costos operativos y afecta la sostenibilidad ambiental debido a la implementación de prácticas ineficientes.

## 1.2. Motivación

La motivación de este trabajo radica en el desarrollo e implementación de un sistema basado en IoT (del inglés, *Internet of Things*) y de bajo costo, que permite monitorear en tiempo real y controlar de manera remota los invernaderos de la Facultad de Ciencias Forestales (FCF) de la Universidad Nacional de Misiones (UNaM).

Este sistema posibilita el registro continuo de diversas variables de interés, como temperatura ambiente, humedad relativa, dióxido de carbono ( $CO_2$ ), niveles de nutrientes, y consumo de agua y energía, entre otros. Los datos generados están disponibles para docentes, estudiantes e investigadores, para su uso en la realización de tesis, investigaciones y trabajos académicos.

Así, el trabajo no solo tiene un impacto directo en la producción, sino también en la formación académica y el avance científico. Proporciona una plataforma de datos para el análisis y el desarrollo de nuevas soluciones tecnológicas, alineadas con las demandas actuales de sostenibilidad ambiental y seguridad alimentaria [5].

## 1.3. Estado del arte

En el mercado actual, existen diversas empresas que ofrecen soluciones comerciales para optimizar la gestión de invernaderos. Estas herramientas permiten el control automatizado de variables clave como temperatura, humedad, ventilación y circulación de nutrientes o riego. La tabla 1.1 presenta una comparación de algunas de las soluciones disponibles y sus características más relevantes.

TABLA 1.1. Características de la competencia.

Empresa	Características
Hidroponía FIL [6]	Ofrece servicios en comodato de sensores y actuadores para monitorear y controlar en tiempo real variables críticas como temperatura ambiente, humedad relativa, conductividad eléctrica, pH, riego e iluminación.
Hidrosense [7]	Ofrece productos para automatizar la inyección de nutrientes en el sistema de riego a través del control del nivel de la conductividad eléctrica, la temperatura y el nivel de pH. Ofrece una plataforma para la visualización del estado, reportes y el envío de alertas.
iPONIA [8]	Ofrece productos y una plataforma para monitorear y controlar el invernadero hidropónico. Integra sensores para medir el nivel de pH, conductividad eléctrica, temperatura de la solución, temperatura ambiente y humedad relativa del aire. También ofrece dosificadores para inyectar los fertilizantes a la solución nutritiva.
Growcast [9]	Ofrece productos y una plataforma para controlar cultivos a través de sensores y actuadores que procesan y reportan datos en tiempo real. Integra sensores para medir temperatura ambiente, humedad relativa y $CO_2$ . Realiza el control del riego, la iluminación y la ventilación.

## 1.4. Objetivos y alcance

### 1.4.1. Objetivo principal

Diseñar y desarrollar un prototipo de sistema para el monitoreo y control remoto de las condiciones climáticas en invernaderos, mediante sensores y actuadores conectados a través de Wi-Fi, un servidor IoT en la nube y una aplicación web, con el fin de optimizar el uso de los recursos, reducir costos operativos y mejorar la sostenibilidad ambiental, además de servir como plataforma de datos para la investigación académica y científica.

### 1.4.2. Objetivos específicos

- Implementar una arquitectura IoT basada en Wi-Fi para monitorear sensores y actuadores en tiempo real.
- Desarrollar un servidor IoT en la nube para la recolección, almacenamiento y procesamiento de los datos obtenidos.
- Diseñar una aplicación web que permita la visualización en tiempo real y el control remoto de las condiciones del invernadero.
- Facilitar el acceso a los datos generados para su uso en investigaciones académicas, trabajos finales y estudios específicos.

### 1.4.3. Alcance del trabajo

El alcance del trabajo incluyó las siguientes tareas:

- Diseño e implementación de nodos IoT.
  - Selección de sensores, actuadores y microcontroladores.
  - Configuración de conexión Wi-Fi en nodos sensores y actuadores.
  - Desarrollo de firmware para la adquisición de datos de los sensores y el control de los actuadores.
- Comunicación y protocolos.
  - Configuración de un servidor IoT para gestión de mensajes entre nodos y aplicaciones.
  - Transmisión de datos al servidor IoT mediante MQTT (del inglés, *Message Queue Telemetry Transport*).
  - Cifrado de comunicaciones mediante TLS (del inglés, *Transport Layer Security*).
- Desarrollo de software.
  - Diseño e implementación de una base de datos para almacenar los datos recolectados por los sensores y permitir su consulta y análisis.
  - Diseño y desarrollo de una API (del inglés, *Application Programming Interface*) REST (del inglés, *Representational State Transfer*) que permita la comunicación con el sistema a través de HTTP (del inglés, *Hypertext Transfer Protocol*), MQTT y WebSockets.

- Desarrollo de una aplicación web responsive para la visualización de datos en tiempo real y el control remoto de actuadores.
- Entregables.
  - Código fuente completo del sistema (sensores, actuadores, servidor IoT, API y aplicación web).
  - Guías de instalación, configuración y operación.

El trabajo no incluyó:

- Armado de PCB.
- Desarrollo de una aplicación móvil compatible con iOS y Android.

La figura 1.1 muestra el diagrama en bloques del sistema, que evidencia la integración de hardware, software y servicios en la nube.

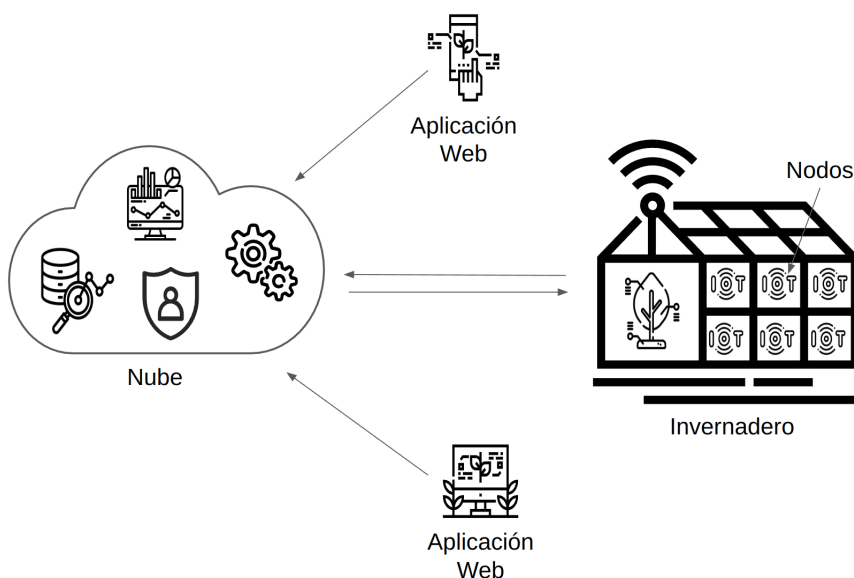


FIGURA 1.1. Diagrama en bloques del sistema.

## 1.5. Requerimientos

A continuación, se detallan los requerimientos técnicos asociados a los diferentes componentes del sistema.

1. Requerimientos de los nodos:
  - a) Utilizar microcontroladores basados en ESP32.
  - b) Implementar certificados TLS para seguridad en las comunicaciones.
  - c) Permitir conexión Wi-Fi.
  - d) Identificador único por nodo dentro del sistema.
  - e) Configuración remota del intervalo de envío de datos.
  - f) Los nodos sensores deben transmitir al servidor IoT;

- 1) Nodos ambientales: temperatura ambiente, humedad relativa, presión atmosférica, nivel de luminosidad y nivel de  $CO_2$ .
- 2) Nodos de solución nutritiva: valores de pH (potencial de Hidrógeno), conductividad eléctrica (CE) y TDS (del inglés, *Total Dissolved Solids*); nivel y temperatura de la solución.
- 3) Nodos de consumos: agua, nutrientes y energía eléctrica.
- g) Los nodos actuadores deben transmitir al servidor IoT:
  - 1) Configuración remota de parámetros por cada canal.
  - 2) Reporte del estado de cada canal.
- h) Los nodos actuadores deben recibir desde el servidor IoT:
  - 1) Comandos de activación/desactivación remota de canales.
2. Broker MQTT:
  - a) Soportar conexiones cifradas mediante TLS.
  - b) Poseer comunicación bidireccional (publicación/suscripción).
  - c) Implementar QoS (del inglés, *Quality of Service*) para garantizar entrega de mensajes.
3. Frontend (aplicación web)
  - a) Interfaz intuitiva y responsive (accesible desde móviles y escritorio).
  - b) Autenticación de usuarios mediante credenciales.
  - c) Realización de las operaciones CRUD (Crear, Leer, Actualizar, Eliminar).
  - d) Visualización en tiempo real de datos de sensores y actuadores.
  - e) Envío remoto de comandos y configuraciones.
  - f) Acceso a datos históricos mediante gráficos y tablas.
  - g) Tablero interactivo para monitoreo y control centralizado.
4. Backend:
  - a) Tener conexiones seguras mediante TLS.
  - b) Implementar JWT (del inglés, *JSON Web Token*).
  - c) Realizar la persistencia de los datos.
  - d) Soportar métodos HTTP (CRUD y reportes), WebSockets (datos en tiempo real) y MQTT (interacción con dispositivos).
5. Requerimientos de documentación:
  - a) Se entregará el código del sistema, que incluye todos los componentes desarrollados (sensores, actuadores, broker MQTT, frontend, backend y API).
  - b) Se entregará las guías y diagramas de instalación, configuración y operación.



## Capítulo 2

# Introducción específica

Este capítulo presenta los protocolos de comunicación, componentes de hardware y herramientas de software utilizados en el desarrollo del trabajo. Se detallan las características y sus especificaciones técnicas.

### 2.1. Protocolos de comunicación

En esta sección se describen los diferentes protocolos de comunicación utilizados en el desarrollo del trabajo.

#### 2.1.1. Wi-Fi

Wi-Fi es el nombre comercial propiedad de la Wi-Fi Alliance para designar a su familia de protocolos de comunicación inalámbrica basados en el estándar IEEE 802.11 para redes de área local sin cables [10].

El estandar identifica dos modos principales de topología de red: infraestructura y ad-hoc.

- Modo infraestructura: los dispositivos se conectan a una red inalámbrica a través de un router o AP (del inglés, *Access Point*) inalámbrico, como en las WLAN. Los AP se conectan a la infraestructura de la red mediante el sistema de distribución conectado por cable o de manera inalámbrica.
- Modo ad-hoc: los dispositivos se conectan directamente entre sí sin necesidad de un punto de acceso.

#### 2.1.2. MQTT

MQTT es un protocolo de mensajería estándar internacional OASIS [11] para Internet de las Cosas (IoT). Está diseñado como un transporte de mensajería de publicación/suscripción extremadamente ligero, ideal para conectar dispositivos remotos con un consumo de código reducido y un ancho de banda de red mínimo.

MQTT es un protocolo ligero basado en TCP/IP [12] que sigue un modelo de publicación/suscripción, donde:

- Broker: funciona como un servidor central que recibe los mensajes de los clientes y los distribuye a los suscriptores correspondientes, actúa como intermediario en la comunicación.

- Cliente: puede ser un dispositivo que publica mensajes en un tópico o que recibe mensajes al estar suscrito a un tópico.
- Tópico: es la dirección a la que se envían los mensajes en MQTT. El broker se encarga de distribuirlos a los clientes suscritos. Los temas se organizan en una estructura jerárquica de tópicos.

### 2.1.3. TLS

TLS es un protocolo de seguridad criptográfica diseñado para garantizar la privacidad y la integridad de los datos en comunicaciones sobre redes, como Internet [13]. Opera sobre la capa de transporte y permite autenticación, cifrado de datos y protección contra manipulación.

TLS se utiliza para garantizar la confidencialidad de los protocolos de aplicación (MQTT [11], HTTP [14] y WebSocket [15]) [16].

## 2.2. Componentes de hardware

En esta sección se describen los diferentes elementos de hardware utilizados en el desarrollo del trabajo.

### 2.2.1. Microcontrolador

El microcontrolador ESP-WROOM-32 (figura 2.1), es un chip de tipo SoC (del inglés, *System on Chip*) de bajo costo y bajo consumo de energía que integra WiFi, Bluetooth y Bluetooth LE en un solo paquete. El ESP-WROOM-32 [17] es un microcontrolador de 32 bits con una arquitectura Xtensa LX6 de doble núcleo, lo que le permite ejecutar dos hilos de ejecución simultáneos. Además, cuenta con una amplia gama de periféricos, como UART, I2C, SPI y ADC, que lo hace ideal para aplicaciones de IoT.



FIGURA 2.1. Microcontrolador ESP-WROOM-32<sup>1</sup>.

### 2.2.2. Sensor de temperatura ambiente, humedad relativa y presión atmosférica

El BME280 (figura 2.2) es un sensor digital de alta precisión para la medición de temperatura ambiente, humedad relativa y presión atmosférica. Se comunica a través de las interfaces I2C y SPI y ofrece una precisión de  $\pm 1^{\circ}\text{C}$  para la temperatura ambiente,  $\pm 3\%$  para la humedad relativa y  $\pm 1 \text{ hPa}$  para la presión atmosférica [18].

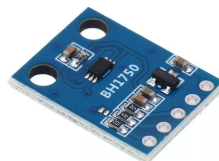
---

<sup>1</sup>Imagen tomada de [Nodemcu Esp32 Wifi HobbyTronica](#).

FIGURA 2.2. Sensor BME280<sup>2</sup>.

### 2.2.3. Sensor de luz digital

El BH1750 (figura 2.3) es un sensor digital de intensidad luminosa que mide la iluminación ambiental en lux. Utiliza la interfaz I2C para la comunicación y puede medir niveles de luz en un rango de 1 a 65.535 lux, con una precisión de 1 lux [19].

FIGURA 2.3. Sensor BH1750<sup>3</sup>.

### 2.2.4. Sensor de dióxido de carbono

El sensor MH-Z19C (figura 2.4) es un detector de  $CO_2$  por NDIR (del inglés, *Non Dispersive Infrared Detector*). Se comunica a través de la interfaz UART y es capaz de medir la concentración de  $CO_2$  en un rango de 0 a 5000 ppm con una precisión de 50 ppm [20].

FIGURA 2.4. Sensor MH-Z19C<sup>4</sup>.

### 2.2.5. Sensor de detección de pH

El sensor PH-4502C (figura 2.5) mide la acidez o alcalinidad del líquido mediante un electrodo de vidrio. Se comunica a través de la interfaz analógica y es capaz de medir el pH en un rango de 0 a 14 [21].

<sup>2</sup>Imagen tomada de [Sensor BME280 Naylamp Mechatronics](#).

<sup>3</sup>Imagen tomada de [Sensor BH1750 HobbyTronica](#).

<sup>4</sup>Imagen tomada de [MH-Z19C PartsCabi.net](#).



FIGURA 2.5. Sensor PH-4502C<sup>5</sup>.

### 2.2.6. Sensor de conductividad eléctrica

El sensor de CE (figura 2.6) mide la capacidad de una solución para conducir electricidad, lo que depende de la presencia de iones. A mayor concentración de iones, mayor es la conductividad [22]. Este sensor se comunica a través de una interfaz analógica y puede medir la conductividad en un rango de 0 a 20 mS/cm [23].



FIGURA 2.6. Sensor CE<sup>6</sup>.

### 2.2.7. Sensor de sólidos disueltos totales

El sensor TDS (figura 2.7) mide la cantidad de sales, minerales y metales que se encuentran disueltos en la solución [24]. Se comunica a través de la interfaz analógica y es capaz de medir la concentración de TDS en un rango de 0 a 1000 ppm [25].



FIGURA 2.7. Sensor TDS<sup>7</sup>.

### 2.2.8. Sensor de temperatura digital sumergible

El DS18B20 (figura 2.8) es un sensor digital de temperatura sumergible. Se comunica a través de la interfaz OneWire y puede medir la temperatura en un rango de -55 °C a 125 °C con una precisión de ±0.5 °C [26].

<sup>5</sup>Imagen tomada de [Sensor PH-4502C Mercado Libre Static](#).

<sup>6</sup>Imagen tomada de [Sensor CE Amazon](#).

<sup>7</sup>Imagen tomada de [Sensor TDS Aliexpress](#).



FIGURA 2.8. Sensor de temperatura DS18B20<sup>8</sup>.

### 2.2.9. Sensor ultrasónico

El sensor HC-SR04 (figura 2.9) mide distancias por ultrasonido en un rango de 2 cm a 400 cm con una precisión de 3 mm. Se comunica a través de la interfaz GPIO [27].



FIGURA 2.9. Sensor HC-SR04<sup>9</sup>.

### 2.2.10. Sensor de medición de consumo eléctrico

El sensor PZEM-004T (figura 2.10) es un módulo de medición de parámetros eléctricos que mide la tensión, corriente, potencia activa y energía consumida. Se comunica a través de la interfaz UART y es capaz de medir la tensión en un rango de 80 a 260 V, la corriente en un rango de 0 a 100 A, y la potencia en un rango de 0 a 22 kW [28].

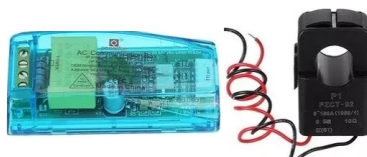


FIGURA 2.10. Sensor de medición de consumo eléctrico<sup>10</sup>.

### 2.2.11. Módulo de relés

El módulo de relés (figura 2.11) es un actuador eléctrico de dos canales optocoplados que permite el control de encendido y apagado de dispositivos eléctricos. Se comunica a través de la interfaz GPIO y es capaz de controlar dispositivos de hasta 10 A y 250 VAC [29].

<sup>8</sup>Imagen tomada de [Sensor DS18B20 Mercado Libre](#).

<sup>9</sup>Imagen tomada de [Sensor HC-SR04 Aliexpress](#).

<sup>10</sup>Imagen adaptada de [Sensor PZEM-004T Mercado Libre](#).



FIGURA 2.11. Relé de 2 Canales 5 V 10 A<sup>11</sup>.

## 2.3. Desarrollo de firmware

En esta sección se describe la herramienta de software utilizada para la programación de los microcontroladores ESP32.

### 2.3.1. MicroPython

MicroPython es una implementación optimizada de Python 3 para microcontroladores y sistemas embebidos. Está diseñado para ejecutarse en dispositivos con recursos limitados, como el ESP32, y proporciona una forma sencilla de programar microcontroladores con un lenguaje de alto nivel como Python [30].

Su facilidad de uso, la amplia disponibilidad de bibliotecas y la reducción del tiempo de desarrollo lo convierten en una opción eficiente. Además, al ser un lenguaje interpretado, posibilita la ejecución interactiva de pruebas y depuración, lo que permite identificar y corregir errores en el código [31].

## 2.4. Desarrollo backend y API

En esta sección se presentan las herramientas de software utilizadas en el desarrollo del backend y la API REST.

### 2.4.1. FastAPI

FastAPI es un framework moderno para la construcción de APIs REST rápidas y escalables en Python. Está diseñado para ser fácil de usar, rápido de desarrollar y altamente eficiente en términos de rendimiento. FastAPI utiliza Python 3.6+ y aprovecha las características de tipado estático de Python para proporcionar una API autodocumentada y con validación de tipos integrada [32].

### 2.4.2. MongoDB

MongoDB es una base de datos NoSQL (del inglés, *Not Only SQL*) de código abierto y orientada a documentos que proporciona una forma flexible y escalable de almacenar y recuperar datos. Utiliza un modelo de datos basado en documentos que almacena datos en un formato similar a JSON (del inglés, *JavaScript Object Notation*) llamado BSON (del inglés, *Binary JSON*) que permite almacenar datos de forma anidada y sin esquema fijo, lo que facilita la manipulación y consulta de datos no estructurados [33].

---

<sup>11</sup>Imagen tomada de [Relé de 2 Canales Amazon](#).

## 2.5. Desarrollo frontend

En esta sección se presentan las herramientas de software utilizadas en el desarrollo del frontend.

### 2.5.1. React

React es una biblioteca de JavaScript de código abierto para construir interfaces de usuario interactivas y reutilizables. Desarrollada por Facebook, React permite crear componentes de interfaz de usuario que se actualizan de forma eficiente cuando cambian los datos, lo que facilita la creación de aplicaciones web rápidas y dinámicas [34].

## 2.6. Infraestructura y despliegue

En esta sección se presentan las herramientas de software utilizadas en la infraestructura y despliegue del sistema.

### 2.6.1. Docker

Docker es una plataforma de código abierto que permite a los desarrolladores y a los equipos de operaciones construir, empaquetar y desplegar aplicaciones en contenedores. Los contenedores son unidades de software ligeros y portátiles que incluyen todo lo necesario para ejecutar una aplicación, incluidas las bibliotecas, las dependencias y el código [35].

Docker facilita la creación de entornos de desarrollo y despliegue consistentes y reproducibles, lo que garantiza que las aplicaciones se ejecuten de la misma manera en cualquier entorno.

### 2.6.2. AWS IoT Core

AWS IoT Core es un servicio de AWS (del inglés, *Amazon Web Services*) que permite a los dispositivos conectarse de forma segura a la nube y comunicarse entre sí a través de protocolos de comunicación estándar como MQTT y HTTP. Proporciona una infraestructura escalable y segura para la gestión de dispositivos, la recopilación de datos y la integración con otros servicios de AWS [36]. Utiliza TLS para cifrar la comunicación entre los dispositivos y la nube, para garantizar la confidencialidad y la integridad de los datos.

### 2.6.3. AWS EC2

Amazon EC2 (del inglés, *Elastic Compute Cloud*) es un servicio de AWS que proporciona capacidad informática escalable en la nube. Permite a los usuarios lanzar instancias virtuales en la nube con diferentes configuraciones de CPU, memoria, almacenamiento y red, lo que facilita la implementación de aplicaciones escalables y de alta disponibilidad [37].

## 2.7. Herramientas de desarrollo

En esta sección se presentan las herramientas de software utilizadas en el desarrollo del sistema.

### 2.7.1. Visual Studio Code

Visual Studio Code, comúnmente abreviado como VS Code, es un entorno de desarrollo integrado (IDE, del inglés, *Integrated Development Environment*) de código abierto, altamente extensible y multiplataforma compatible con Windows, macOS y Linux [38].

VS Code es un editor de código ligero y rápido con soporte para muchos lenguajes de programación y extensiones que permiten personalizar y mejorar la funcionalidad del editor. Además, cuenta con herramientas de depuración integradas, control de versiones y terminal integrada.

### 2.7.2. Postman

Postman es una plataforma de colaboración para el desarrollo de APIs que permite a los desarrolladores diseñar, probar y documentar de forma rápida. Proporciona una interfaz gráfica intuitiva para enviar solicitudes HTTP a un servidor y visualizar las respuestas, lo que facilita la depuración y el desarrollo de APIs [39].

### 2.7.3. GitHub

GitHub es una plataforma de alojamiento de repositorios Git [40] que permite a los desarrolladores colaborar en proyectos de software de forma distribuida. Proporciona herramientas para gestionar el código fuente, realizar seguimiento de los cambios, revisar el código, realizar integración continua y despliegue automático [41].

## Capítulo 3

# Diseño e implementación

Este capítulo describe el diseño y la implementación del sistema de monitoreo y control de invernaderos. Se detallan los componentes principales del sistema, las decisiones de diseño tomadas y los pasos seguidos para su implementación.

### 3.1. Arquitectura del sistema

La figura 3.1 ilustra la arquitectura general del sistema y la interacción entre los diferentes componentes.

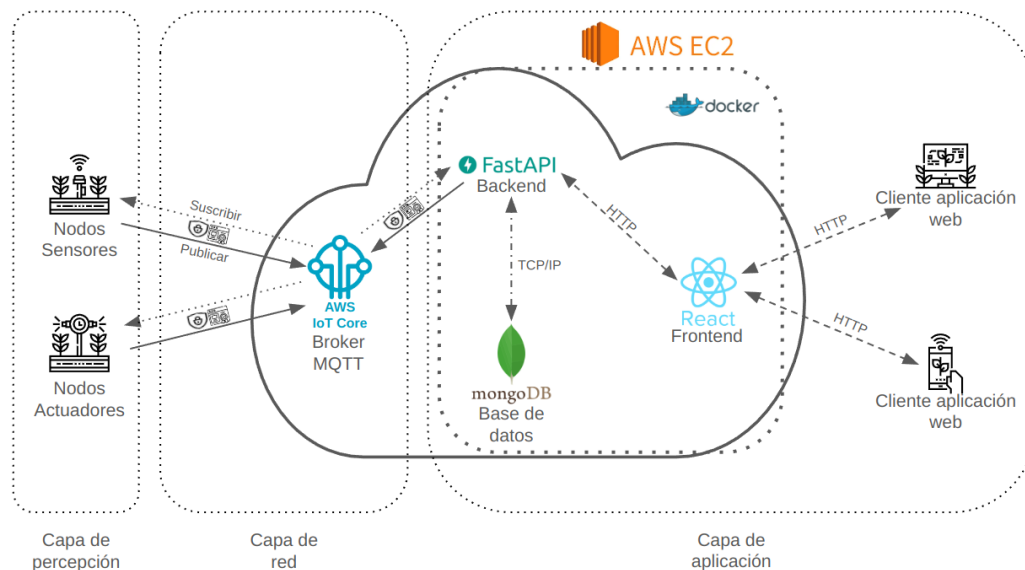


FIGURA 3.1. Arquitectura de la solución propuesta.

La arquitectura planteada para el desarrollo del trabajo sigue el modelo de tres capas típico de un sistema IoT: percepción, red y aplicación.

#### 3.1.1. Capa de percepción

La capa de percepción está constituida por los nodos sensores y actuadores, que se encargan de recopilar datos del entorno y ejecutar acciones específicas en función de los parámetros configurados.

Cada nodo sensor incluye un microcontrolador ESP-WROOM-32, este se conecta a diversos sensores que miden parámetros como temperatura ambiente, humedad relativa, presión atmosférica, luminosidad, concentración de  $CO_2$ , pH, conductividad eléctrica, temperatura de la solución nutritiva, nivel de líquidos, consumo eléctrico, entre otros. Los nodos actuadores, por su parte, cuentan con relés para controlar dispositivos como ventiladores, iluminación y sistemas de recirculación de nutrientes.

Los nodos están conectados a una red Wi-Fi local, lo que les permite establecer comunicación con la red y transmitir los datos de los sensores hacia el servidor IoT. La transmisión de datos se realiza con el protocolo MQTT.

### 3.1.2. Capa de red

La capa de red está compuesta por la infraestructura que gestiona la comunicación entre los nodos sensores y actuadores y la plataforma de backend. Los nodos sensores y actuadores se conectan a la red Wi-Fi local, lo que les permite acceder a internet y a la infraestructura de la nube. Una vez conectados, los dispositivos transmiten los datos a través del protocolo MQTT.

La comunicación entre los nodos y el broker MQTT se asegura mediante el uso de certificados de seguridad, los que garantizan la autenticación de los dispositivos y el cifrado de los datos.

El broker MQTT utilizado en este trabajo es AWS IoT Core, un servicio completamente gestionado que permite establecer una conexión segura y escalable entre los dispositivos IoT y la nube. Este broker actúa como intermediario para la transmisión de datos entre los nodos y la capa de aplicación.

### 3.1.3. Capa de aplicación

La capa de aplicación es responsable del procesamiento, almacenamiento y visualización de los datos recopilados por los nodos. Para esta capa, se implementó el servidor IoT en la nube a través del servicio AWS EC2, que permite ejecutar aplicaciones y servicios en instancias virtuales.

El procesamiento y la gestión de datos se realiza a través de un backend desarrollado con FastAPI, mientras que la base de datos MongoDB se utiliza para el almacenamiento de la información. Además, se implementó una interfaz gráfica de usuario en React para la visualización y gestión de los datos. Todos estos servicios fueron desplegados a través de contenedores Docker.

## 3.2. Modelo de datos

En esta sección se presenta el modelo de datos implementado en el sistema.

La figura 3.2 permite visualizar las principales colecciones y sus relaciones dentro de la base de datos. El diseño del modelo de datos se desarrolló en base a los tipos de datos proporcionados por los sensores, así como los requerimientos técnicos establecidos para el sistema.

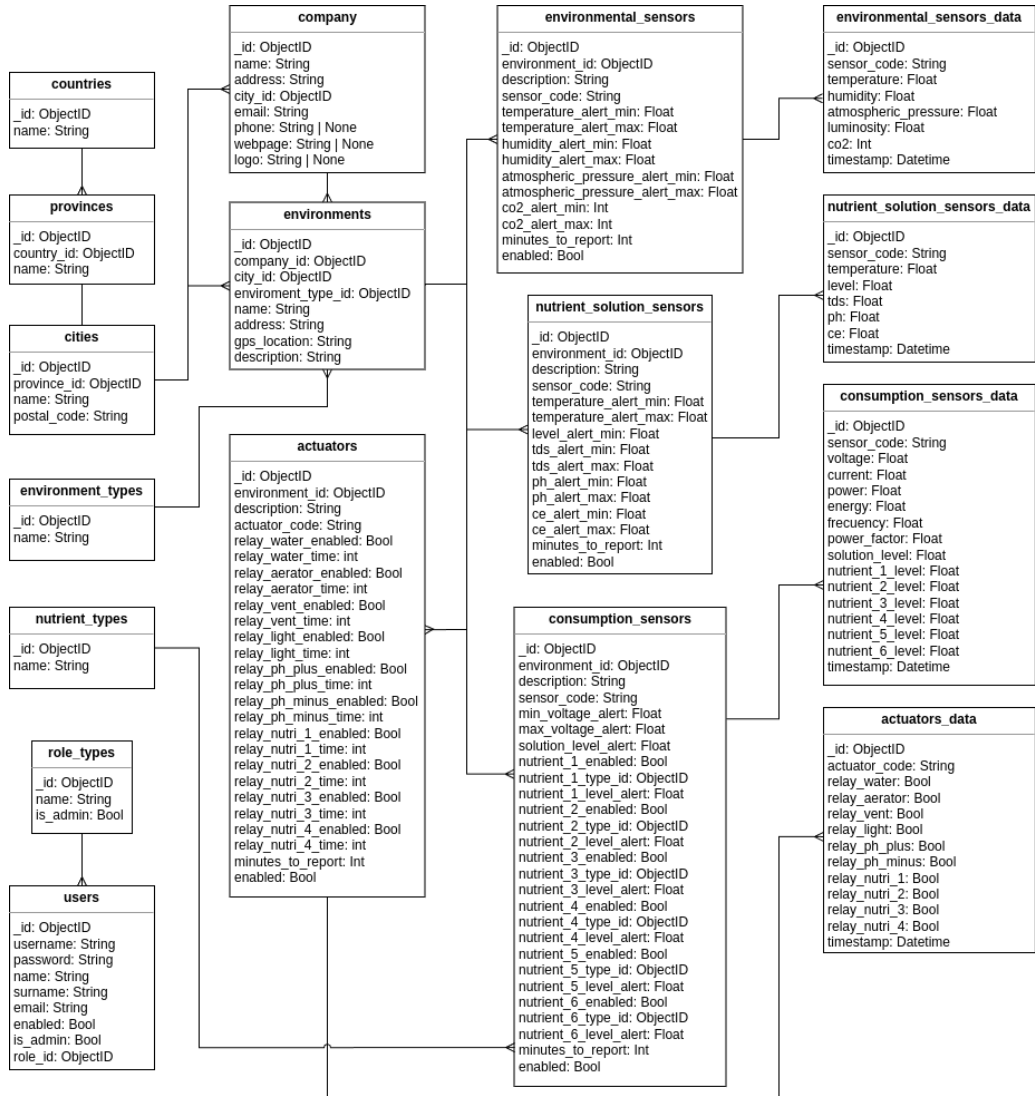


FIGURA 3.2. Modelo de datos implementado.

El modelo de datos se estructuró en colecciones dentro de MongoDB, organizadas en las siguientes categorías principales:

### 3.2.1. Parametrización del sistema

- Colecciones de configuración básica: países, provincias, ciudades, empresa.
- Colecciones para gestión de espacios: ambientes y tipos de ambientes.
- Colecciones específicas del dominio: tipos de nutrientes.

### 3.2.2. Gestión de usuarios y roles

- Colección de usuarios y roles: almacena información de los usuarios y sus credenciales.
- Colección de roles: se plantea como funcionalidad futura, para poder parametrizar permisos para cada tipo de rol.

### 3.2.3. Sensores y actuadores

- Colecciones de sensores y actuadores: almacena la información de cada tipo de dispositivo, los parámetros de alerta y la frecuencia de muestreo.
- Colecciones de datos históricos: registran las mediciones vinculadas a cada dispositivo mediante identificadores únicos.

### 3.2.4. Auditoría y seguimiento

- Colecciones de logs: permiten registrar los cambios en las configuraciones de sensores y actuadores realizados por los usuarios.

El modelo de datos completo del sistema, puede consultarse en el apéndice A.

## 3.3. Servidor IoT

En esta sección se presenta la arquitectura del sistema y se detallan las tecnologías utilizadas y la arquitectura del servidor.

### 3.3.1. Arquitectura del servidor

La arquitectura del servidor está compuesta por tres componentes principales: backend, capa de datos y frontend, como se muestra en la figura 3.3.

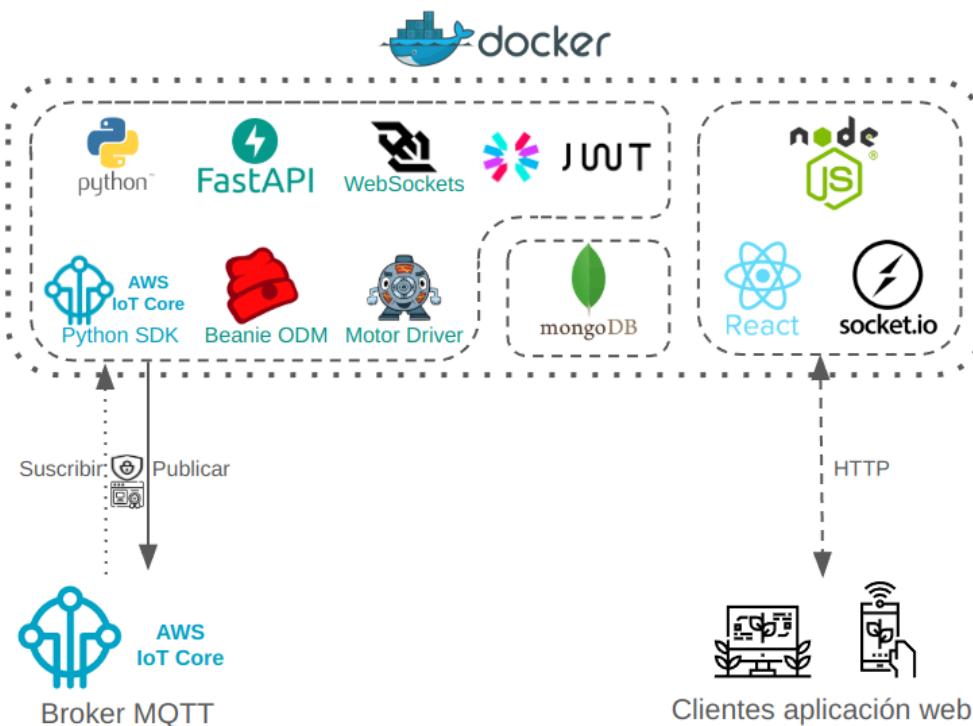


FIGURA 3.3. Arquitectura del servidor del sistema IoT.

A continuación, se describe brevemente cada uno de estos componentes:

- Backend: implementado con FastAPI, expone una API REST que permite gestionar sensores, actuadores, ambientes y usuarios. Incluye autenticación

y autorización basada en JWT, integración con MongoDB a través de Beanie [42] y Motor [43], conexión con el broker MQTT para la comunicación con los dispositivos IoT implementada con el SDK (del inglés, *Software Development Kit*) de AWS IoT para Python [44] y soporte para comunicaciones en tiempo real con clientes mediante WebSocket [45].

- Capa de datos: utiliza MongoDB como base de datos NoSQL. La información se organiza en colecciones que almacenan datos de sensores, actuadores, usuarios, ambientes y registros de configuración.
- Frontend: desarrollado en React, permite a los usuarios visualizar datos en tiempo real y configurar el sistema. Se conecta con la API REST del backend y utiliza WebSocket [46] para actualizaciones en tiempo real.

## 3.4. Desarrollo del backend

En esta sección se detallan los aspectos clave en el diseño y desarrollo del servidor backend, así como la lógica de negocio implementada.

### 3.4.1. Diseño de la API

El diseño se estructuró en base a las necesidades del sistema y los requerimientos funcionales y no funcionales establecidos. Se organizaron los archivos en carpetas de acuerdo a su funcionalidad.

La tabla 3.1 presenta un resumen de los principales endpoints de la API, junto con una breve descripción de la acción y el método HTTP utilizado.

TABLA 3.1. Resumen de principales endpoints de la API.

Método	Endpoint	Acción
GET	/mqtt/test	Test conexión cliente MQTT.
POST	/mqtt/publish	Publicar en tópico MQTT.
POST	/login	Login de usuarios.
GET	/renew-token	Renovar token.
GET	/users/	Obtener usuarios.
GET	/environments/	Obtener ambientes.
GET	/actuators/	Obtener actuadores.
GET	/sensors/environmental/	Obtener sensores.
GET	/sensors/nutrients/solution/	Obtener sensores.
GET	/sensors/consumption/	Obtener sensores.
GET	/actuators/data/	Obtener datos históricos.
GET	/sensors/environmental/data/	Obtener datos históricos.
GET	/sensors/consumption/data/	Obtener datos históricos.
GET	/sensors/nutrients/solution/data/	Obtener datos históricos.

El listado completo de endpoints de la API se puede consultar en el apéndice B.

### 3.4.2. Autenticación y autorización

Se implementó un sistema de autenticación basado en JWT, que permite a los usuarios acceder a la API de manera segura. La autenticación se realiza mediante el envío de las credenciales del usuario en el cuerpo de la solicitud, y el servidor responde con un token JWT que se utiliza para autenticar las solicitudes posteriores.

El token JWT contiene la información del usuario, este token se envía en el encabezado de las solicitudes a la API. El servidor verifica la validez del token y permite o deniega el acceso a los recursos solicitados. El token se diseña para que tuviera vencimiento, por lo que se implementó un sistema de renovación que permite a los usuarios mantener su sesión activa sin necesidad de autenticarse nuevamente con sus credenciales.

El código de la implementación de la autenticación y autorización se puede consultar en el apéndice C.

La figura 3.4 muestra el esquema de autenticación, autorización y renovación de tokens implementado en el sistema.

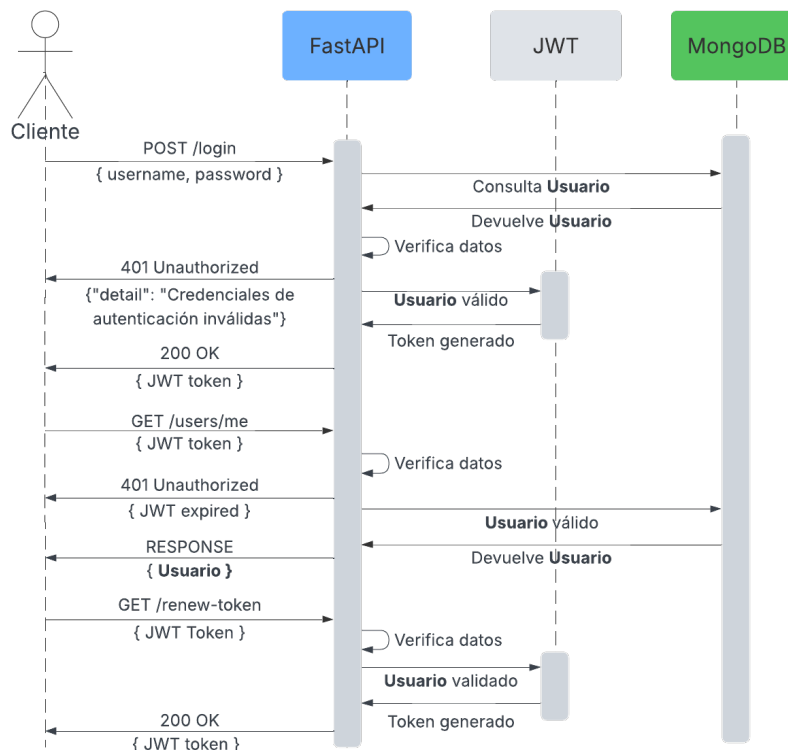


FIGURA 3.4. Esquema de autenticación y autorización.

### 3.4.3. Persistencia de datos

En FastAPI, cada modelo representa una colección en la base de datos e incluye los campos necesarios para almacenar la información requerida. La comunicación entre el backend y la base de datos se realizó a través de la biblioteca Motor, que proporciona una interfaz asíncrona para interactuar con MongoDB. Además se utilizó el ODM (del inglés, *Object Document Mapper*), a través de la biblioteca

Beanie, que permite definir modelos y realizar consultas y operaciones sobre la base de datos de manera sencilla.

La figura 3.5 muestra un ejemplo de la relación entre los modelos implementados en el sistema y los métodos HTTP de la colección EnvironmentalSensor.

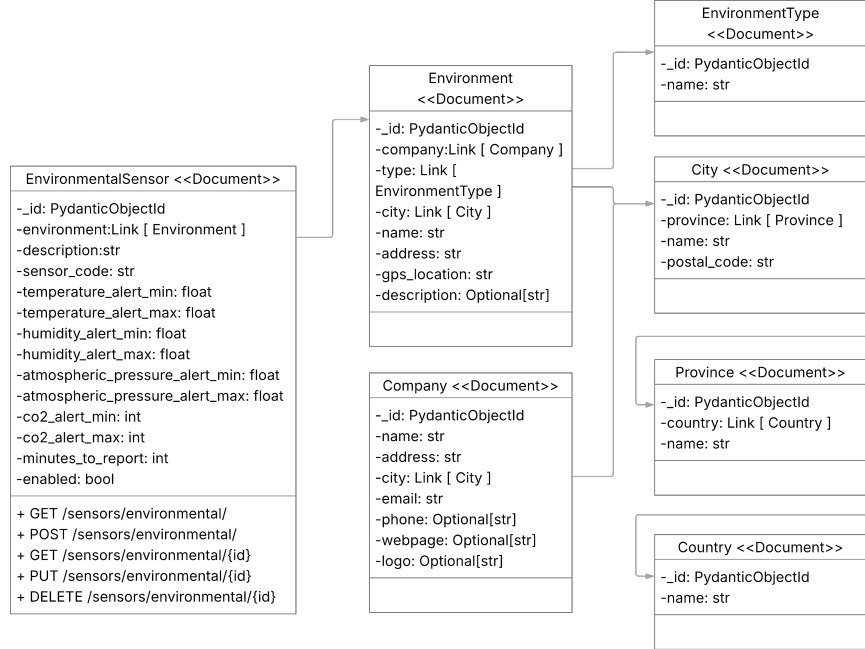


FIGURA 3.5. Diagrama de clases de los modelos implementados.

Como se mencionó anteriormente, los datos se almacenan en MongoDB. Para establecer la conexión con la base de datos, se utiliza el cliente asíncrono de la biblioteca Motor, mientras que la inicialización de los modelos se realiza mediante la función `init_beanie` del ODM Beanie. Esta función configura los modelos y establece la conexión con la base de datos. En la cadena de conexión se especifica el nombre de usuario, la contraseña y la dirección del servidor de MongoDB.

La figura 3.6 ilustra los pasos necesarios para establecer la conexión entre FastAPI y MongoDB.

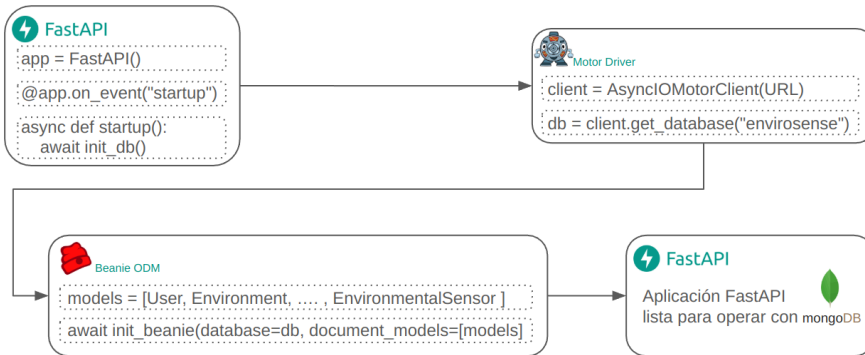


FIGURA 3.6. Pasos para la conexión de FastAPI y MongoDB.

El código para establecer la conexión y la inicialización de los modelos se puede consultar en el apéndice D.

### 3.4.4. Comunicación con el broker MQTT

A continuación, se describe la implementación de la comunicación con el broker MQTT.

#### Pasos en AWS IoT Core

Este apartado detalla los pasos realizados en AWS IoT Core para crear y configurar el objeto *Thing* y los certificados de seguridad necesarios para establecer la conexión con el broker MQTT.

1. Se creó un objeto *Thing* en AWS IoT Core, que representa un dispositivo IoT. Este objeto se utiliza para gestionar la conexión y la comunicación con el broker.
2. Se generaron certificados de seguridad y claves privadas para el objeto *Thing*, y se descargó el certificado raíz de Amazon. Estos elementos son necesarios para autenticar la conexión, garantizar el cifrado de los datos transmitidos y establecer una comunicación segura con el broker MQTT.
3. Se definieron las políticas de acceso necesarias para el objeto *Thing*, a fin de permitir publicar y suscribirse a los tópicos correspondientes.

**Políticas de acceso:** determinan los permisos del cliente para publicar, suscribirse y recibir mensajes en los tópicos. Se aplican a los certificados generados para el cliente y controlan el acceso a los recursos de AWS IoT Core.

Definidas en formato JSON, estas políticas garantizan que solo los clientes autorizados puedan interactuar con los recursos y operar en los tópicos correspondientes. Además, pueden configurarse de manera específica para cada *Thing*, lo que permite ejercer un control granular sobre los permisos de acceso.

En el Apéndice E se puede visualizar un ejemplo de política de acceso definida para el objeto *Thing*.

#### Implementación de MQTT en FastAPI

Una vez que se creó y se configuró el objeto *Thing* en AWS IoT Core, se procedió a la implementación de la conexión del broker con FastAPI. Para ello, se utilizó la SDK de AWS IoT para Python, que proporciona una interfaz sencilla para conectarse al broker y gestionar la comunicación con los dispositivos IoT.

Se implementó un cliente MQTT que se conecta al broker con los certificados generados previamente. Este cliente permite publicar y suscribirse a los tópicos correspondientes, lo que facilitó la comunicación entre el servidor y los dispositivos IoT.

En la aplicación FastAPI se definieron dos rutas clave para la chequear la comunicación con AWS IoT Core:

1. Una ruta para verificar la conexión con el broker MQTT.
2. Una ruta para enviar mensajes a un tópico y comprobar la comunicación entre el servidor y el broker.

La figura 3.7 muestra los pasos realizados para verificar la conexión con el broker MQTT.

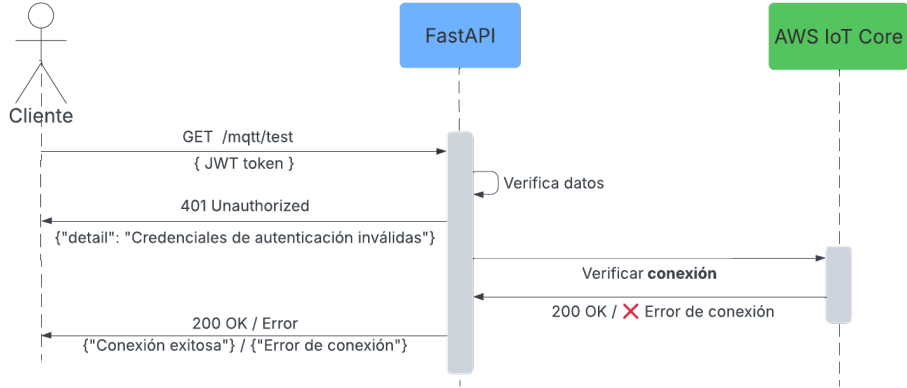


FIGURA 3.7. Pasos para verificar la conexión con el broker MQTT.

La figura 3.8 muestra los pasos realizados para publicar un mensaje en un tópico específico.

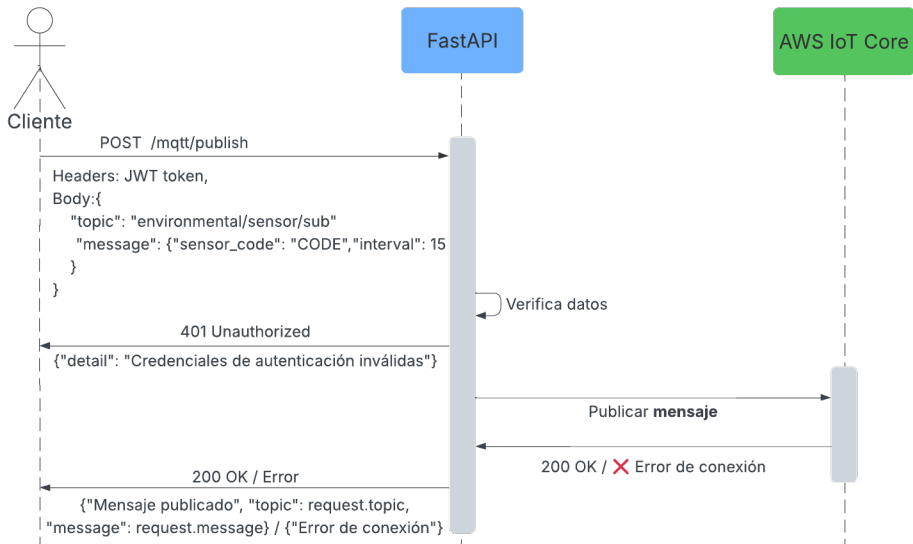


FIGURA 3.8. Pasos para publicar un mensaje en un tópico específico.

### Comunicación con MQTT en FastAPI

Además de las rutas anteriores, en FastAPI se implementaron métodos para suscribirse a los tópicos, recibir mensajes de los nodos y publicar en los tópicos correspondientes.

Al iniciarse el servidor, el cliente MQTT establece la conexión con el broker y se suscribe a los tópicos definidos. Los mensajes recibidos son procesados, almacenados en MongoDB y enviados al frontend mediante WebSocket, lo que permite actualizar la interfaz en tiempo real. Este cliente, que maneja la conexión, publicación y suscripción, se inicializa junto con FastAPI para asegurar una comunicación eficiente.

La figura 3.9 muestra los pasos de cómo la aplicación FastAPI se conecta al broker MQTT y se suscribe a los tópicos solicitados.



FIGURA 3.9. Pasos para la conexión del cliente MQTT.

El código completo de la implementación de la conexión con el broker MQTT se encuentra en el Apéndice E.

### 3.4.5. Implementación de WebSockets

La comunicación en tiempo real se implementó mediante el módulo `websockets` de FastAPI, con una ruta específica para que los clientes se conecten y reciban datos actualizados de sensores y actuadores. La conexión permanece activa mientras sea válida, y se cierra en caso de error o falta de autorización.

El cliente debe enviar un token válido por `Authorization` o `Query Params`. Si es válido, el servidor acepta la conexión y la gestiona a través de la clase `WebSocketManager`.

Esta clase administra las conexiones activas, clientes y el envío de datos en tiempo real. Además, mantiene un caché con los últimos valores por tipo de sensor para optimizar el rendimiento. Al recibir nuevos datos, el servidor actualiza el caché y los transmite a todos los clientes conectados.

El código de la implementación se encuentra en el apéndice F, y la figura 4.4 ilustra el proceso de conexión.

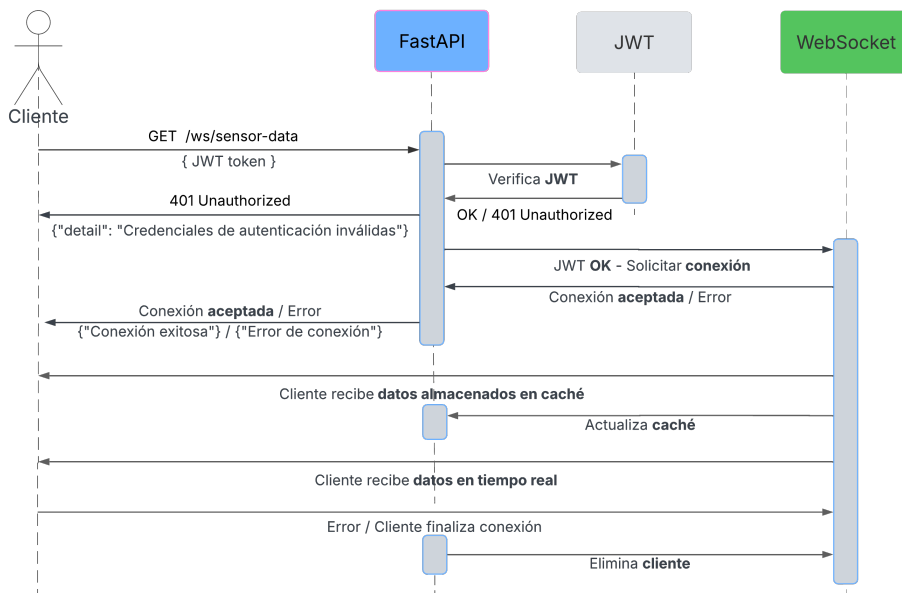


FIGURA 3.10. Pasos para establecer la conexión WebSocket.

## 3.5. Desarrollo del frontend

En esta sección se describe el diseño y desarrollo de la interfaz de usuario, enfocada en la visualización de datos en tiempo real y la gestión de dispositivos a través de una aplicación web.

### 3.5.1. Tecnologías utilizadas

El frontend se desarrolló a través de la biblioteca React [34]. Para los estilos y la disposición visual se utilizó la biblioteca React Bootstrap [47]. Para los iconos de la interfaz se utilizó Bootstrap Icons [48], que proporciona una amplia variedad de iconos gratuitos personalizables y fáciles de usar.

La comunicación con el servidor se implementó mediante la biblioteca axios [49] para realizar solicitudes HTTP, mientras que la recepción de datos en tiempo real se logró con la implementación de un WebSocket nativo, a través de un hook personalizado desarrollado en React.

La gestión del estado de autenticación y control de sesiones se implementó con Redux Toolkit [50] y la navegación entre páginas se gestionó a través de la biblioteca react-router-dom [51].

Para la visualización de los gráficos, se empleó la librería Recharts [52], mientras que para la representación de tablas se utilizó la biblioteca React Data Table Component [53].

### 3.5.2. Arquitectura de la interfaz

La aplicación se estructuró en torno a un componente principal de Layout, que organiza la navegación mediante un sidebar lateral y un navbar superior.

Cada sección de la interfaz de usuario corresponde a un módulo de funcionalidad específica (como visualización en tiempo real, reportes, configuración de ambientes y dispositivos, parámetros y administración de usuarios), que son renderizados dinámicamente en función de la ruta activa.

### 3.5.3. Componentes principales de la interfaz de usuario

A continuación, se presenta un detalle de los principales componentes desarrollados para la construcción de la interfaz:

#### Gestión de autenticación

La autenticación se implementó mediante un hook denominado useAuthStore, basado en Redux Toolkit. Este módulo gestiona el inicio de sesión, la validación del token y el cierre de sesión de los usuarios, para asegurar el acceso restringido a las funcionalidades de la plataforma.

Al iniciar sesión, se almacena el token en el localStorage del navegador, lo que permite mantener la sesión activa y acceder a las funcionalidades de la aplicación. El token se envía en cada solicitud a la API para autenticar al usuario y garantizar la seguridad de la comunicación.

La figura 4.6 muestra la pantalla de inicio de sesión, donde los usuarios ingresan sus credenciales para acceder a la aplicación web.



FIGURA 3.11. Pantalla de Login

## Layout

El componente `Layout` organiza la estructura general de la aplicación e incluye:

- **SidebarComponent**: componente que muestra el menú lateral, con opciones de navegación entre los distintos módulos.
- **NavbarComponent**: barra superior que permite colapsar o expandir el menú lateral y contiene el botón de cierre de sesión.

La figura 3.12 muestra la pantalla principal de la aplicación, donde se puede observar la barra de navegación superior y el menú lateral desde el rol `admin`.



FIGURA 3.12. Estructura del componente Layout

Además, esta pantalla permite visualizar los módulos disponibles en la aplicación, como dashboard, reportes, ambientes, dispositivos, parámetros y panel de usuario.

### Arquitectura de navegación y control de acceso

La aplicación implementa un sistema de navegación que gestiona dinámicamente las rutas públicas y privadas mediante la biblioteca `react-router-dom`. Utiliza los componentes `Routes` para definir la estructura de navegación y `Outlet` para renderizar sub-rutas.

Además, se implementa un flujo de acceso controlado por:

- **Rutas públicas:** accesibles sin autenticación, como la página de inicio de sesión.
- **Rutas privadas:** requieren autenticación y autorización, como el acceso a los módulos de la aplicación.
- **Rutas restringidas:** accesibles solo para usuarios con los permisos adecuados, como reportes, la gestión de usuarios, ambientes, y dispositivos.

Este esquema asegura que los usuarios solo tengan acceso a las funcionalidades correspondientes a sus permisos, como se ilustra en la figura 3.13. Por ejemplo, un usuario `martin`, con permisos de usuario estándar, solo puede acceder al dashboard, reportes y al panel de usuario para consultar su información personal.

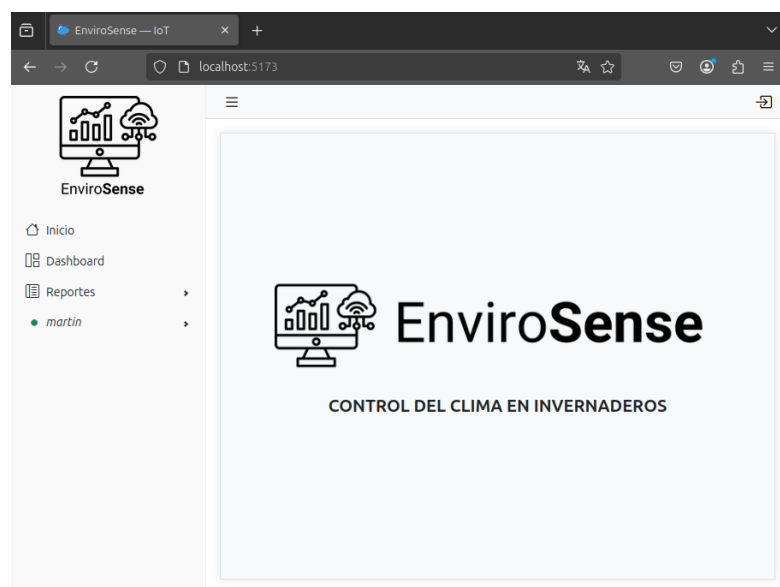


FIGURA 3.13. Sistema de navegación

#### 3.5.4. Visualización de datos en tiempo real

Se diseñó una página que muestra los datos de los actuadores y sensores de un ambiente específico. Esta página permite visualizar los datos recopilados por los sensores, así como el estado de los actuadores en tiempo real. Esta página se actualiza automáticamente a medida que se reciben nuevos datos a través de `WebSocket`.

La figura 4.13 ilustra el dashboard de la aplicación, donde se pueden observar los datos de los sensores y actuadores en tiempo real de un ambiente específico.

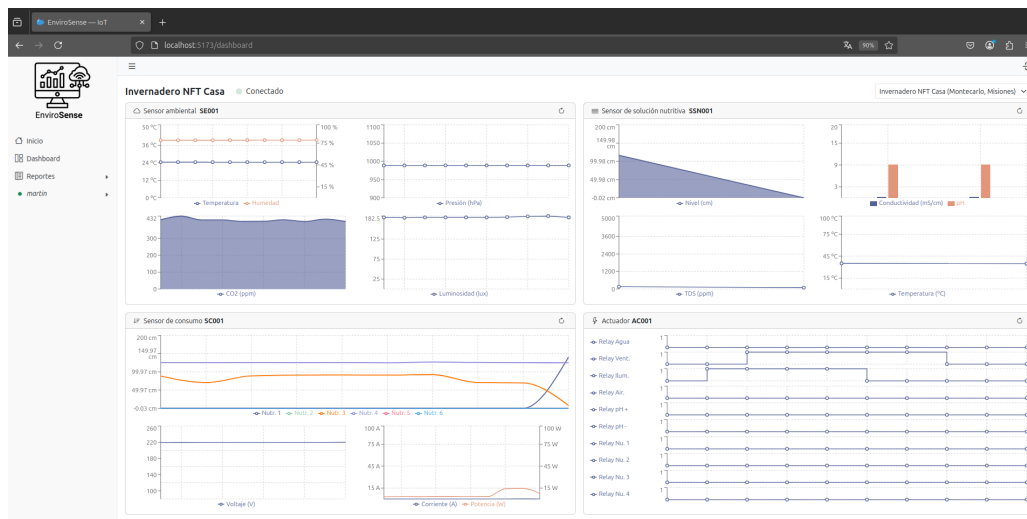


FIGURA 3.14. Visualización de datos en tiempo real

### 3.5.5. Reportes de datos históricos

Se desarrollaron un conjunto de reportes que permiten visualizar los datos históricos de los sensores y actuadores. Los diferentes tipos de reportes están organizados en módulos independientes.

Cada reporte permite:

- Filtrar los datos por dispositivo, rango de fechas y nivel de agregación temporal.
  - **Actuadores:** el reporte permite visualizar la cantidad de veces que se activó y el tiempo total de activación de cada canal del actuador en un rango de fechas determinado.
  - **Sensores:** el reporte permite visualizar el promedio de los datos compilados por cada sensor en un rango de fechas determinado.
- Alternar entre una vista tabular y una vista gráfica.
- Consultar los datos procesados a través de la API del backend.

La figura 3.15 presenta la pantalla de reportes, donde se visualiza la tabla con los datos históricos de un sensor de consumo.

Reporte de sensores de consumo										
FECHA	VOLTAJE	CORRIENTE	POTENCIA	ENERGÍA	NIVEL.NUT.1	NIVEL.NUT.2	NIVEL.NUT.3	NIVEL.NUT.4	NIVEL.NUT.5	NIVEL.NUT.6
27/04/2025 16:00	219.37 V	0.05 A	3.35 W	823 kWh	22.71 cm	-0.02 cm	67.88 cm	124.94 cm	3.59 cm	-0.03 cm
21/04/2025 11:00	234.12 V	0.06 A	3.36 W	821.48 kWh	-0.03 cm	-0.02 cm	83.02 cm	-0.02 cm	69.46 cm	-0.02 cm
21/04/2025 21:00	234.34 V	0.06 A	3.25 W	816.78 kWh	-0.03 cm	-0.02 cm	81.29 cm	-0.02 cm	62.23 cm	31.79 cm
21/04/2025 19:00	234.18 V	0.06 A	3.28 W	815.49 kWh	-0.03 cm	0.22 cm	77.01 cm	1.13 cm	-0.03 cm	0.06 cm
21/04/2025 18:00	234.13 V	0.06 A	3.27 W	813.04 kWh	20.19 cm	23.95 cm	15.17 cm	53.03 cm	-0.03 cm	5.37 cm
21/04/2025 20:00	234.32 V	0.06 A	6.86 W	11.18 kWh	39.13 cm	52.36 cm	54.98 cm	50.83 cm	48.49 cm	52.24 cm
15/04/2025 13:00	234.05 V	0.03 A	0 W	11 kWh	22.55 cm	1.21 cm	3.74 cm	8.04 cm	4.64 cm	12.34 cm
15/04/2025 12:00	234.39 V	0.03 A	0 W	11 kWh	11.06 cm	-0.02 cm	2.43 cm	9.65 cm	7.62 cm	10.41 cm
15/04/2025 11:00	234.2 V	0.03 A	0 W	11 kWh	11.07 cm	-0.02 cm	2.43 cm	9.66 cm	7.61 cm	11.48 cm
11/04/2025 15:00	234.32 V	0.03 A	0 W	11 kWh	58.82 cm	58.18 cm	56.78 cm	59.19 cm	64.27 cm	53.53 cm
11/04/2025 00:00	234.34 V	0.03 A	0.46 W	11 kWh	74.76 cm	57.04 cm	61.86 cm	57.08 cm	95.96 cm	56.62 cm
10/04/2025 23:00	41.11 V	0.01 A	0.08 W	1.93 kWh	72.03 cm	58.33 cm	57.59 cm	59.45 cm	68.26 cm	57.72 cm

FIGURA 3.15. Pantalla de reportes

La figura 3.16 muestra la pantalla de reportes, donde se exhiben los gráficos con los datos históricos de un sensor de consumos.

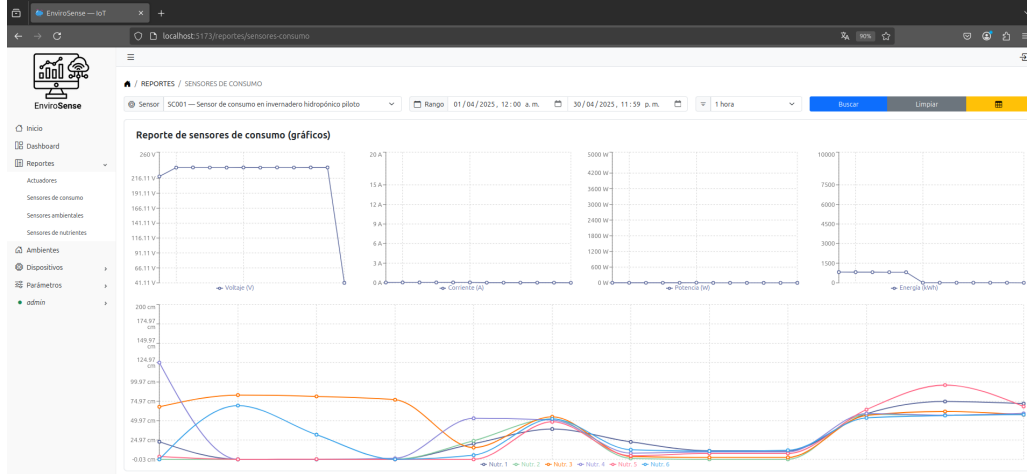


FIGURA 3.16. Pantalla de reportes

La figura 3.17 muestra la pantalla de reportes, donde se puede observar la tabla con los datos históricos de un actuador.

FECHA	RELAY AGUA	RELAY VENTILACIÓN	RELAY ILUMINACIÓN	RELAY AIREACIÓN	RELAY PH+	RELAY PH-	RELAY NUTR. 1	RELAY NUTR. 2	RELAY NUTR. 3	RELAY NUTR. 4
12/04/2025 13:00	—	Cant: 2 — 60s	—	—	Cant: 1 — 3s	—	Cant: 1 — 2s	Cant: 1 — 2s	—	—
12/04/2025 19:00	—	—	—	—	—	—	—	—	—	—
13/04/2025 18:00	—	Cant: 2 — 60s	Cant: 2 — 60s	—	—	—	—	—	—	—
14/04/2025 14:00	Cant: 1 — 30s	Cant: 2 — 45s	Cant: 8 — 164s	—	—	—	—	—	—	—
14/04/2025 19:00	—	Cant: 53 — 163s	Cant: 47 — 109s	—	—	—	—	—	—	—
14/04/2025 16:00	—	Cant: 5 — 75s	Cant: 20 — 176s	—	—	—	—	—	—	—
15/04/2025 14:00	—	—	—	—	—	—	—	—	—	—
15/04/2025 13:00	—	—	Cant: 1 — 5s	—	—	—	—	—	—	—
15/04/2025 11:00	—	—	—	—	—	—	—	—	—	—
16/04/2025 19:00	Cant: 3 — 90s	Cant: 2 — 30s	Cant: 2 — 10s	Cant: 3 — 15s	Cant: 1 — 2s	Cant: 1 — 2s	Cant: 1 — 3s	Cant: 1 — 2s	Cant: 1 — 2s	Cant: 1 — 2s
21/04/2025 18:00	Cant: 1 — 5s	Cant: 5 — 25s	Cant: 6 — 25s	—	—	—	—	—	—	—
21/04/2025 19:00	Cant: 2 — 10s	Cant: 4 — 20s	Cant: 3 — 23s	Cant: 1 — 5s	Cant: 2 — 1s	Cant: 1 — 2s	Cant: 2 — 3s	Cant: 1 — 2s	Cant: 1 — 2s	Cant: 2 — 2s
21/04/2025 20:00	—	—	—	—	—	—	—	—	—	—
21/04/2025 21:00	Cant: 1 — 5s	Cant: 2 — 20s	Cant: 2 — 20s	Cant: 1 — 5s	Cant: 1 — 5s	Cant: 1 — 5s	Cant: 1 — 5s	Cant: 1 — 5s	Cant: 1 — 5s	—
27/04/2025 16:00	—	Cant: 1 — 10s	Cant: 1 — 10s	—	—	—	—	—	—	—
27/04/2025 17:00	—	—	—	—	—	—	—	—	—	—

FIGURA 3.17. Pantalla de reportes

Finalmente, la figura 3.18 presenta vistas de la aplicación web en un dispositivo móvil, donde se muestra la pantalla de visualización de datos en tiempo real. La interfaz se ajusta automáticamente a distintos tamaños de pantalla, lo que ofrece una experiencia de usuario optimizada en dispositivos móviles y tablets.

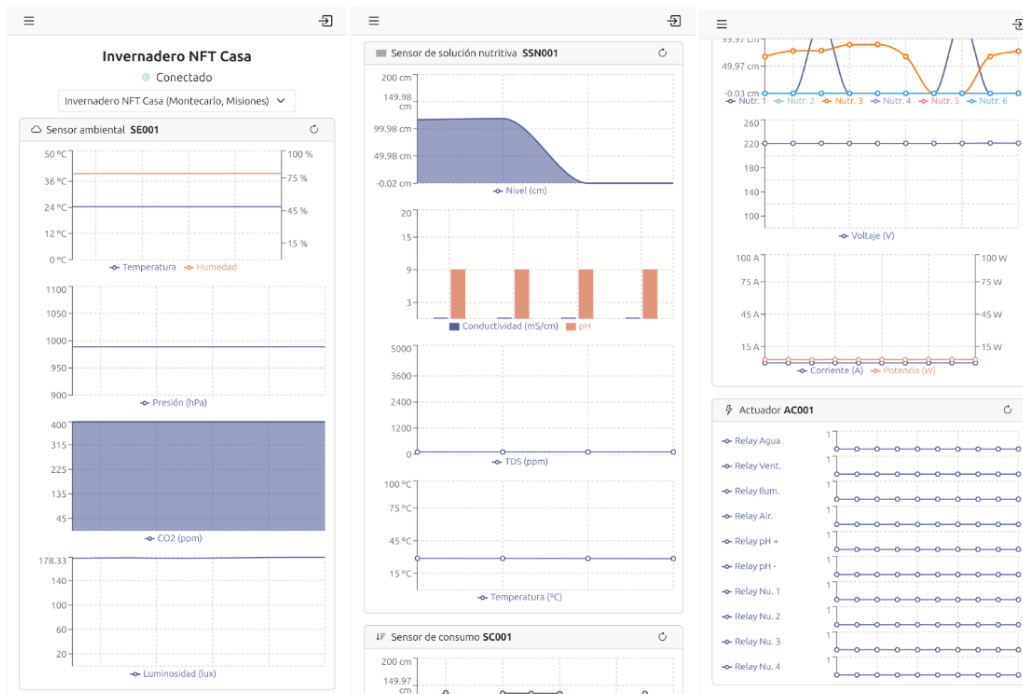


FIGURA 3.18. Visualización de datos en tiempo real desde un dispositivo móvil

## 3.6. Desarrollo del firmware de los dispositivos IoT

En esta sección se detalla el desarrollo del firmware realizado en MicroPython para los nodos. Se describe la arquitectura general del firmware y la estructura del código.

### 3.6.1. Arquitectura general del firmware

Todos los nodos comparten una arquitectura de firmware similar, diseñada para realizar:

- Adquisición de datos: lectura de sensores y actuadores.
- Control de actuadores: gestión de dispositivos conectados.
- Comunicación inalámbrica: conexión a la red Wi-Fi y al broker MQTT.
- Gestión de eventos: manejo de interrupciones y temporizadores.
- Interacción con el broker MQTT: publicación y suscripción a tópicos.

### 3.6.2. Estructura del código

Para el desarrollo de los nodos, se adoptó un esquema de organización que facilitó la modularidad, la reutilización de código y la facilidad de mantenimiento.

La estructura es la siguiente:

1. **Importación de librerías:** importación de módulos para sensores, Wi-Fi, MQTT, gestión del tiempo y otras funcionalidades.

2. **Configuración inicial:** definición de variables y constantes (pines, parámetros de conexión, intervalos).
3. **Inicialización:** configuración de periféricos del ESP32, inicialización de sensores/relés y manejo de errores.
4. **Funciones auxiliares:** definición de funciones para la conexión Wi-Fi, sincronización NTP (del inglés, *Network Time Protocol*) y carga de certificados TLS.
5. **Conexión MQTT:** establecimiento de la conexión con el broker (con TLS).
6. **Callback de mensajes MQTT:** función para procesar mensajes MQTT (configuración remota, acciones específicas).
7. **Función de lectura/control:** implementación de la lógica para leer sensores o controlar actuadores.
8. **Bucle principal:**
  - a) Verificación de la conexión Wi-Fi.
  - b) Lectura de datos de los sensores o control de los actuadores.
  - c) Envío de datos al broker MQTT.
  - d) Recepción y procesamiento de mensajes MQTT.
  - e) Gestión de errores y reinicio del sistema en caso de fallos.

La Figura 3.19 muestra el flujo de alto nivel del firmware, desde la inicialización del hardware hasta la ejecución cíclica del bucle principal, incluye la gestión de comandos MQTT y las acciones sobre sensores y actuadores.

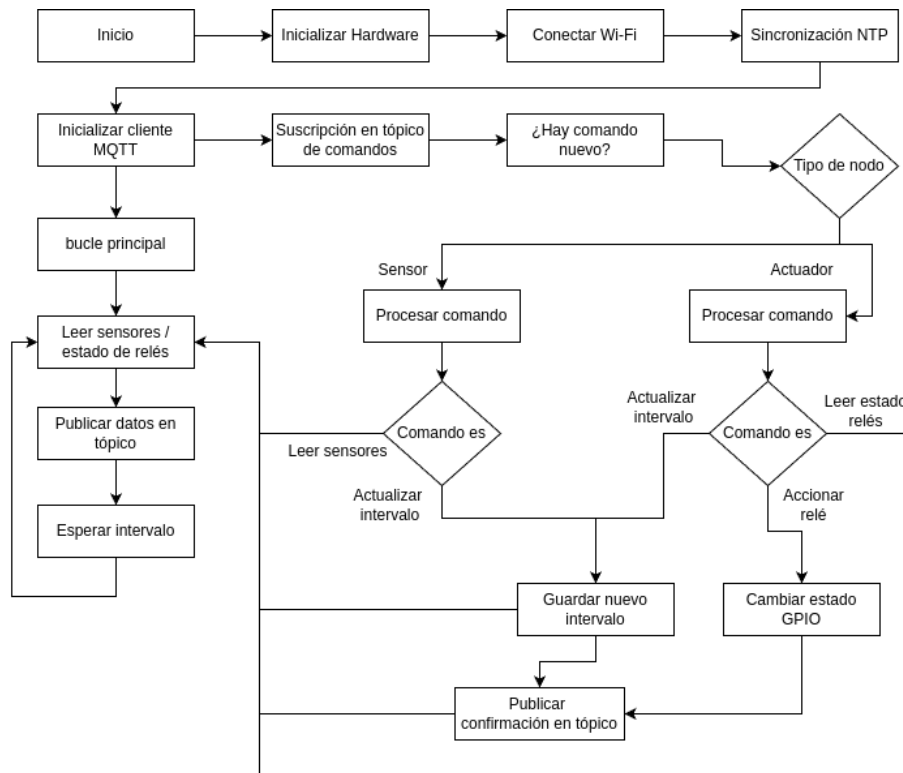


FIGURA 3.19. Flujo de ejecución del código en los nodos

### 3.6.3. Gestión de la configuración

La configuración de los parámetros operativos de cada nodo se almacenó en archivos en el ESP32. Esto permitió la persistencia de la configuración entre reinicios.

A continuación, se describen los archivos de configuración utilizados en el firmware de los nodos:

#### Archivo de configuración

El archivo `config.py` contiene constantes y variables de configuración específicas de cada nodo. Incluye:

- **Códigos de identificación:** incluye el código para identificar únicamente a cada dispositivo.
- **Tópicos MQTT:** incluye los tópicos para la publicación y suscripción de datos. Cada nodo posee un tópico para enviar datos y otro para recibir comandos.
- **Parámetros de conexión AWS IoT Core:** incluye el identificador del cliente y el endpoint del broker MQTT.

#### Archivo de configuración del intervalo

El archivo `interval.conf` almacena el intervalo de muestreo de sensores y actuadores. Al iniciar el dispositivo, se intenta leer este valor; si el archivo no existe o está corrupto, se usa un valor por defecto. El intervalo puede actualizarse remotamente mediante MQTT, se sobrescribe el archivo para conservar la nueva configuración tras reinicios.

#### Archivo de configuración Wi-Fi

El archivo `wifi.dat` almacena los parámetros de conexión Wi-Fi (SSID y contraseña), permite guardar múltiples configuraciones de red. Si el nodo no logra conectarse, se inicia un servidor web para que el usuario seleccione el SSID, ingrese la contraseña y defina la zona horaria. Al configurarse con éxito, los datos se guardan en el archivo y el dispositivo se reinicia.

#### Archivo de configuración de la zona horaria

La zona horaria se obtiene desde el archivo `timezone.conf` para garantizar la marca de tiempo correcta. Esta funcionalidad se utiliza en los nodos sensores y actuadores con el fin de incluir la hora local en los mensajes enviados al broker MQTT. En caso de error en la lectura del archivo, se asigna una zona horaria por defecto (UTC-3).

### 3.6.4. Comunicación inalámbrica

Los nodos desarrollados utilizan la comunicación Wi-Fi para conectarse a la red local y enviar datos al broker MQTT a través de Internet.

A continuación, se describen las librerías utilizadas para gestionar la comunicación inalámbrica:

## Wi-Fi

Para gestionar la conexión Wi-Fi, se empleó la librería `wifi_manager` [54]. Los nodos intentan conectarse a la red configurada y realizan verificaciones periódicas para asegurar su disponibilidad. La librería se modificó para adaptarla a los requerimientos del trabajo. Se agregó la capacidad de almacenar datos de redes cuyo SSID contenga espacios en blanco y se implementó un menú desplegable para la selección de la zona horaria.

## MQTT

Para desarrollar la comunicación MQTT, se utilizó la librería `umqtt.robust` de `MicropythonLib` [55], que permitió implementar un cliente MQTT en los nodos. Se estableció la conexión al broker MQTT de AWS IoT Core mediante certificados TLS almacenados localmente en cada dispositivo.

La Figura 3.20 muestra el flujo de comunicación bidireccional entre los nodos, el broker MQTT de AWS IoT Core y el backend desarrollado en FastAPI. Cada extremo establece conexiones seguras TLS y suscripciones a tópicos específicos. Los nodos publican datos de sensores y estados de relés, y reciben comandos de control, mientras que el backend centraliza la gestión de las comunicaciones.

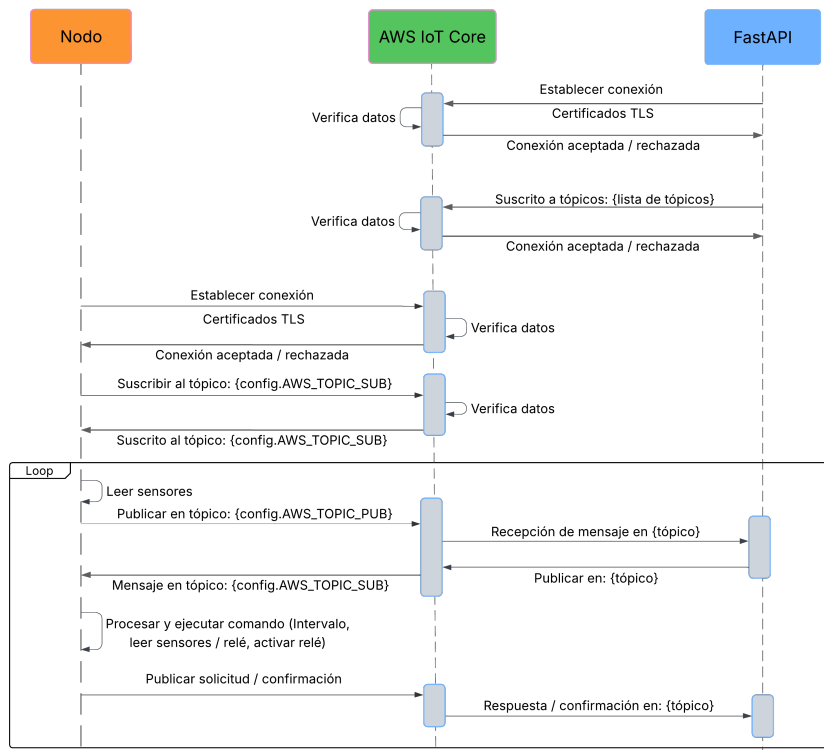


FIGURA 3.20. Flujo de comunicación entre nodos y broker MQTT

## Comunicación y formato de mensajes

Los datos de sensores, actuadores y los comandos de control se transmiten mediante MQTT, en formato JSON, y se publican en los tópicos definidos en el archivo `config.py`. Se implementó un esquema estandarizado para simplificar el procesamiento tanto en los nodos como en el backend.

### 3.6.5. Gestión de tareas y concurrencia

La ejecución concurrente de tareas en MicroPython se logró mediante la implementación de:

- Un bucle principal para tareas como:
  - Conexión Wi-Fi.
  - Procesamiento de mensajes MQTT.
  - Lectura de datos de sensores.
- Temporizadores hardware (`Timers`) del ESP32 para:
  - Ejecutar acciones periódicas (ej. control de actuadores).
  - Procesar tareas en paralelo sin afectar el flujo principal.

### 3.6.6. Manejo de errores

Se implementaron mecanismos en todo el firmware para garantizar la robustez y confiabilidad de los nodos frente a posibles fallos. A continuación, se detallan las principales estrategias implementadas para la gestión de errores:

#### Manejo de excepciones

Se utilizaron bloques `try-except` para capturar y manejar excepciones durante la ejecución. De este modo, el programa puede continuar operativo incluso ante errores como fallos en la lectura de sensores o problemas de conexión a la red.

#### Reintentos

Para operaciones críticas, como la conexión Wi-Fi y la sincronización de la hora con el servidor NTP, se implementaron mecanismos de reinicio. Si una operación falla, el programa intenta repetirla un número preestablecido de veces antes de considerarla fallida.

#### Logging

Se implementaron mensajes de registro (`print`) para informar sobre el estado del programa y los errores que se producen. Esto facilitó la depuración y el mantenimiento del firmware.

#### Optimización de recursos

Se utilizó la función `gc.collect()` para liberar memoria periódicamente y optimizar el rendimiento del sistema. Esta función se ejecuta tras la lectura de sensores o el envío de datos al broker MQTT.

### 3.6.7. Resumen de nodos sensores y actuadores

La tabla 3.2 resume las funciones y descripción general del firmware de los nodos sensores y actuadores, diseñados para adquirir datos del entorno o controlar dispositivos actuadores.

TABLA 3.2. Resumen de nodos: funciones y firmware.

Nodo	Funciones principales	Descripción del firmware
Sensor ambiental	Medición de temperatura, humedad y presión (BME280).	Comunicación I <sup>2</sup> C para BME280.
	Medición de luminosidad (BH1750).	UART para MH-Z19C.
	Medición de concentración de CO <sub>2</sub> (MH-Z19C).	Calibración inicial de CO <sub>2</sub> .
	Conexión Wi-Fi.	Envío de datos en JSON vía MQTT.
	Configuración remota de intervalo.	Sincronización NTP.
	Indicador LED.	Reconexión automática Wi-Fi.
	Botón de reinicio.	
Sensor de consumos	Medición de voltaje, corriente y potencia (PZEM-004T).	Uso de UART para PZEM-004T.
	Medición de nivel de líquidos (HC-SR04).	GPIO para HC-SR04.
	Conexión Wi-Fi.	Envío de datos en formato JSON vía MQTT.
	Configuración remota de intervalo.	Sincronización NTP.
	Indicador LED.	Manejo de conexión Wi-Fi.
	Botón de reinicio.	Gestión de errores.
Sensor de solución nutritiva	Medición de temperatura (DS18B20).	Lectura OneWire para DS18B20.
	Medición de pH, CE y TDS.	Medición de CE, TDS y pH.
	Medición de nivel de líquidos (HC-SR04).	Promedio de muestras.
	Conexión Wi-Fi.	Envío de datos en JSON vía MQTT.
	Configuración remota de intervalo.	Sincronización NTP.
	Indicador LED.	Manejo de errores.
	Botón de reinicio.	
Actuador	Control de relés para dispositivos (bombas, aireadores, luces, dosificadores).	Control de salidas GPIO.
	Ejecución simultánea de comandos.	Recepción de comandos MQTT.
	Conexión Wi-Fi.	Ejecución de temporizadores con Timers ESP32.
	Configuración remota.	Manejo de estados de relés en JSON.
	Indicador LED.	Sincronización NTP.
	Botón de reinicio.	Reconexión Wi-Fi automática.

El firmware de los nodos se publicó en un repositorio de GitHub [56] bajo licencia MIT, incluye el código fuente y la documentación para su instalación y uso.

## 3.7. Despliegue del sistema

En esta sección se describe el proceso de implementación y configuración del sistema en un entorno de prueba basado en una instancia EC2 AWS. Se detalla la instalación de los componentes necesarios, la clonación y ejecución del sistema, así como la configuración del servicio para su ejecución automática.

### 3.7.1. Entorno de prueba

#### Creación de la instancia EC2

El sistema fue desplegado en una instancia EC2 de AWS con las siguientes características:

- **Nombre:** envirosense-app.
- **Imagen de maquina de Amazon:** Ubuntu Server 24.04 LTS (64-bit x86).
- **Tipo de instancia:** t2.micro (1 vCPU, 1 GB de RAM).
- **Almacenamiento:** 8 GB tipo gp3.
- **Región:** us-east-1.
- **Grupo de seguridad:** puertos abiertos para HTTP (80), HTTPS (443), SSH (22), WebSocket (8000) y acceso a la base de datos (27017).

El acceso a la instancia se realizó mediante SSH (del inglés, *Secure Shell*). Para ello, se generó un par de claves RSA (Rivest, Shamir y Adleman) y se descargó el archivo `envirosense-app-key.pem` para poder acceder a la instancia por SSH.

#### Acceso remoto y configuración inicial

Una vez lanzada la instancia, se accedió a la misma mediante SSH y se procedió a actualizar los paquetes del sistema operativo.

A continuación, se instalaron las siguientes herramientas:

- **Docker:** para los contenedores de la aplicación.
- **Docker Compose** [57]: para la orquestación de los contenedores.
- **DuckDNS** [58]: para la gestión de la IP pública de la instancia.

### 3.7.2. Instalación de componentes del sistema

#### Docker y Docker Compose

Como se mencionó en la sección 3.3.1, se utilizó Docker para generar tres contenedores:

- **Backend:** contenedor con la imagen base `python` que ejecuta la API desarrollada en FastAPI.

- **Frontend:** contenedor con las imágenes bases de node y nginx que ejecuta el servidor web HTTP NGINX [59], de la aplicación web desarrollada en React.
- **Base de datos:** contenedor con la imagen base mongo que ejecuta la base de datos MongoDB para almacenar los datos de la aplicación.

Docker Compose permitió definir y orquestar los contenedores, se establecieron los parámetros de configuración para la comunicación entre los mismos, así como la persistencia de datos, variables de entorno, puertos y redes a través de un archivo docker-compose.yml.

Los contenedores del backend y el frontend cuentan con sus respectivos archivos Dockerfile, donde se especificaron las instrucciones necesarias para construir las imágenes de cada servicio. Estos archivos definen el entorno, las dependencias requeridas y los comandos para iniciar correctamente cada componente.

### Cliente de actualización dinámica de DuckDNS

Dado que se trata de un entorno de prueba, no resultaba necesario utilizar el servicio de IP elástica de AWS para mantener una dirección fija. En su lugar, se optó por emplear el servicio DuckDNS, que permite asociar un subdominio gratuito a la instancia EC2.

Para ello, se configuró un cliente de actualización dinámica, cuyo dominio es envirosense.duckdns.org, que se ejecuta en la instancia y actualiza automáticamente la IP pública vinculada al subdominio. Esto facilita el acceso remoto al sistema de forma estable y sencilla, sin necesidad de recordar la IP pública asignada por EC2, la cual puede cambiar tras cada reinicio.

### Clonación del repositorio y preparación

El código fuente del sistema fue clonado en la máquina virtual desde un repositorio público de GitHub [60]. Dentro del directorio del sistema, se preparó un archivo de variables de entorno (.env) que contiene información sensible y parámetros de configuración del sistema. Este archivo no forma parte del repositorio, por lo que fue creado manualmente en la instancia. En él se definieron las siguientes variables necesarias para la ejecución del sistema:

- **Configuración de la base de datos:** host, usuario, contraseña y nombre de la base de datos para establecer la conexión con MongoDB.
- **Configuración del backend:** host, CORS (del inglés, *Cross-Origin Resource Sharing*), clave secreta, algoritmo de cifrado y duración del token JWT.
- **Configuración del frontend:** URL de la API del backend y del cliente WebSocket.

### Configuración de certificados

Para establecer una conexión segura entre el broker MQTT de AWS IoT Core y el backend, fue necesario configurar los certificados requeridos.

Se creó una carpeta denominada certificates en el directorio raíz del sistema, donde se ubicaron los archivos correspondientes: el certificado del cliente,

la clave privada y el certificado raíz de AWS. Estos archivos fueron generados previamente y luego transferidos a la máquina virtual.

### **Construcción y ejecución de los servicios**

Después de realizar las configuraciones, se ejecutó el comando `docker-compose up -build` para construir las imágenes y lanzar los servicios definidos en el archivo `docker-compose.yml`.

Una vez que el sistema estuvo en ejecución en la máquina virtual, se comprobó el correcto funcionamiento de la aplicación web mediante el acceso a la URL `http://envirosense.duckdns.org` desde un navegador.

#### **3.7.3. Configuración del sistema como servicio**

Para garantizar la disponibilidad tras reinicios, se configuró el sistema como un servicio gestionado por `systemd`. Se creó un archivo de definición con las instrucciones para iniciar y detener los contenedores mediante Docker Compose, en el que se especifican el directorio de trabajo, el usuario, el tipo de inicio y las políticas de reinicio. Finalmente, el servicio fue habilitado para ejecutarse automáticamente al iniciar el sistema operativo.

#### **3.7.4. Resumen del proceso de despliegue**

En la tabla 3.3 se presenta un resumen de las etapas realizadas durante el despliegue del sistema.

TABLA 3.3. Resumen del despliegue del sistema.

<b>Etapa</b>	<b>Descripción</b>	<b>Acciones realizadas</b>
Creación instancia EC2	Creación de instancia virtual de AWS.	Datos instancia: t2.micro con Ubuntu 24.04; configuración de red y claves SSH.
Configuración inicial	Preparación de máquina virtual.	Acceso por SSH, actualización del sistema, instalación de Docker, Docker Compose y DuckDNS.
Gestión dinámica de DNS	Asociación de un subdominio DuckDNS para acceso remoto.	Configuración de cliente de actualización de IP con dominio envirosense.duckdns.org.
Preparación del entorno	Clonación del código y configuración de parámetros.	Clonación desde GitHub, creación manual del archivo .env con variables de entorno.
Certificados MQTT	Configuración para conexión con AWS IoT Core.	Transferencia y ubicación de certificados en la instancia EC2.
Ejecución del sistema	Construcción y puesta en marcha del sistema.	Ejecución del sistema con docker-compose y validación por navegador web.
Ejecución como servicio	Automatización del inicio del sistema tras reinicio.	Creación de servicio en systemd, configuración y habilitación.

Las capturas de pantalla del proceso y los comandos utilizados durante cada etapa del despliegue del sistema pueden consultarse en el apéndice [G](#).



## Capítulo 4

# Ensayos y resultados

Este capítulo presenta los ensayos realizados para validar la funcionalidad de los componentes del sistema, tanto de manera individual como en conjunto. Se presentan los resultados obtenidos y su análisis.

### 4.1. Banco de pruebas

Se construyó un banco de prueba físico con el objetivo de validar el rendimiento, la funcionalidad y la integración de los sensores, actuadores y módulos del sistema. Este entorno controlado permitió montar los dispositivos, realizar el conexionado correspondiente y simular condiciones cercanas a las reales de operación, lo que permitió evaluar el comportamiento general del sistema. El banco de prueba incluyó los siguientes componentes:

- **Sensores y actuadores:**

- Nodo ambiental: incluye los sensores BMP280, BH1750 y MH-Z19C.
- Nodo de consumos: compuesto por un módulo PZEM-004T y seis sensores HC-SR04.
- Nodo de solución nutritiva: equipado con un sensor de temperatura DS18B20, sensores de pH, CE, TDS y un sensor HC-SR04.
- Nodo actuador: integrado por un módulo de relés de 4 canales (5 V, 10 A) y tres módulos de relés de 2 canales (5 V, 10 A).

- **Microcontroladores:**

- Cuatro módulos ESP-WROOM-32, uno por cada nodo.
- Cuatro placas base [61] para los módulos ESP-WROOM-32 para facilitar la conexión de los módulos a los sensores y actuadores.

- **Fuentes de alimentación:**

- Una fuente de 5 V, 2 A para los relés.
- Cuatro fuentes de 5 V, 1.5 A para los microcontroladores.

- **Servidor MQTT:**

- El servicio se implementó en AWS IoT Core.

- **Servidor web:**

- El backend, frontend y la base de datos se desplegaron en una máquina virtual EC2 de AWS, a través del entorno de laboratorio provisto por *AWS Academy Learner Lab*.

La figura 4.1 muestra el banco de pruebas utilizado para la validación del sistema, donde se observan los sensores, actuadores, microcontroladores y la alimentación eléctrica.

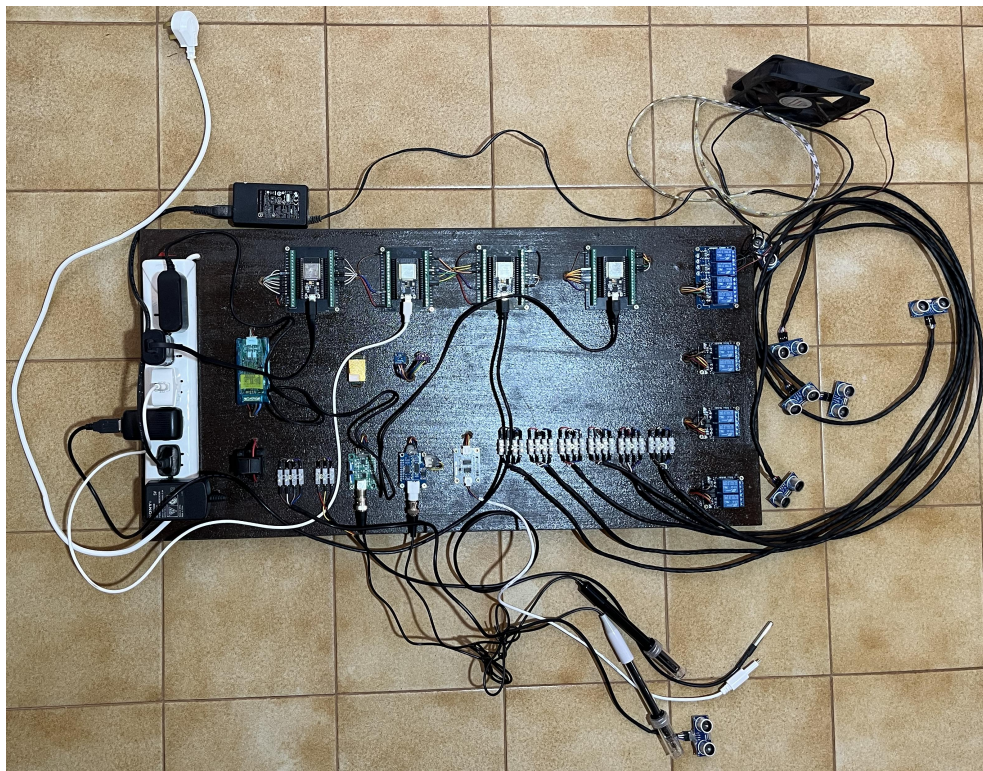


FIGURA 4.1. Banco de pruebas del sistema EnviroSenseIoT.

## 4.2. Criterios de evaluación

Una vez construido el banco de pruebas, se definieron criterios específicos para evaluar el desempeño del sistema en términos de funcionalidad, comunicación e integración. Las pruebas se enfocaron en verificar el correcto funcionamiento de cada componente de forma individual (sensores, actuadores, backend y frontend) y también en su comportamiento integrado como sistema completo.

Se realizaron ensayos para comprobar la lectura de los sensores, la activación de actuadores, la comunicación entre microcontroladores y el servidor web mediante el protocolo MQTT, así como la correcta gestión de datos en el backend y la usabilidad de la interfaz web. Estas validaciones permitieron identificar el cumplimiento de los objetivos funcionales establecidos para cada módulo.

La tabla 4.1 resume los criterios aplicados durante el proceso de validación en el entorno de prueba.

TABLA 4.1. Criterios de evaluación del banco de pruebas.

Criterio	Componente	Descripción
Verificación de endpoints y almacenamiento	Backend	Comprobación del funcionamiento de los endpoints y del registro de información en la base de datos.
Usabilidad de la interfaz web	Frontend	Evaluación de la facilidad de uso y el acceso a funcionalidades.
Verificación de mediciones	Microcontroladores	Verificación de los valores reportados por los sensores.
Activación de actuadores	Microcontroladores	Validación de la activación de los módulos de relés ante eventos enviados.
Verificación de comunicación MQTT	Comunicación MQTT	Verificación de la comunicación entre microcontroladores y servidor web a través del intercambio de mensajes en los tópicos.
Integración de módulos	Todo el sistema	Verificación del funcionamiento conjunto de sensores, actuadores y servidor web.

### 4.3. Pruebas de backend

El backend del sistema cuenta con un total de 111 endpoints, a través de los cuales se realiza la interacción con los distintos módulos y servicios. Para su validación, se utilizó la herramienta Postman, que permitió realizar pruebas funcionales destinadas a verificar que cada endpoint respondiera correctamente a las solicitudes y devolviera los datos esperados conforme a la lógica definida.

Además, FastAPI incorpora una interfaz Swagger [62], que permite documentar, explorar y probar los endpoints desde el navegador. La Figura 4.2 muestra esta interfaz, donde los endpoints se organizan por categoría y pueden consultarse y evaluarse en tiempo real.

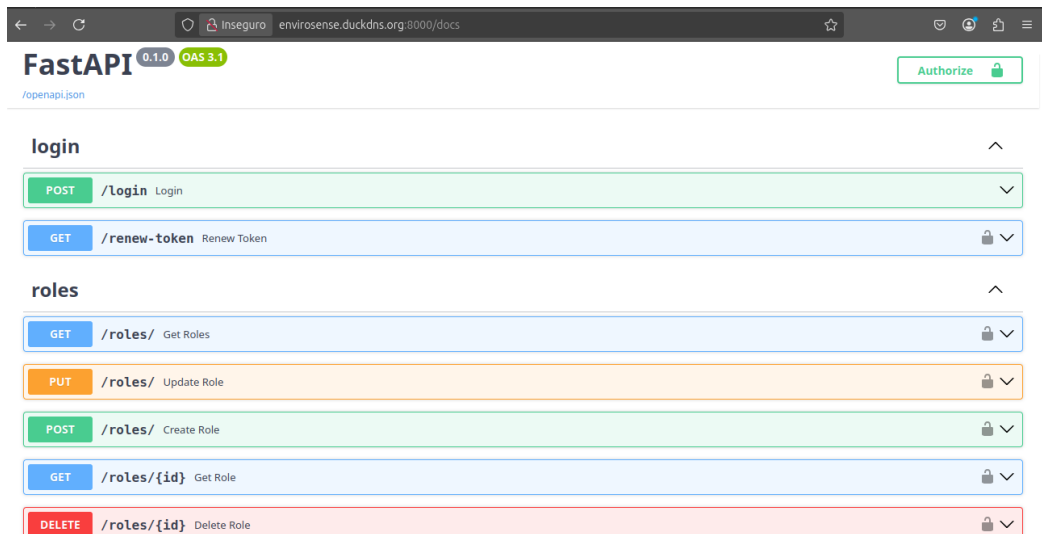


FIGURA 4.2. Interfaz de Swagger.

### 4.3.1. Pruebas en Postman

En el repositorio de GitHub [60] se encuentra la carpeta `Tests`, que contiene un archivo JSON con la colección completa de pruebas realizadas con Postman. Dicha colección abarca todos los endpoints del backend evaluados, junto con los resultados correspondientes.

Tambien se incluyen un archivo CSV (del inglés *Comma Separated Values*) y un archivo en formato texto, en el que se detallan los endpoints, los métodos HTTP, los resultados obtenidos y el promedio, para permitir una trazabilidad clara del proceso de validación.

La figura 4.3 presenta un ejemplo de las pruebas realizadas en Postman, donde se detalla la respuesta de los endpoints, el método HTTP utilizado, la URL del endpoint, el código de estado, el tiempo y el tamaño de la respuesta.

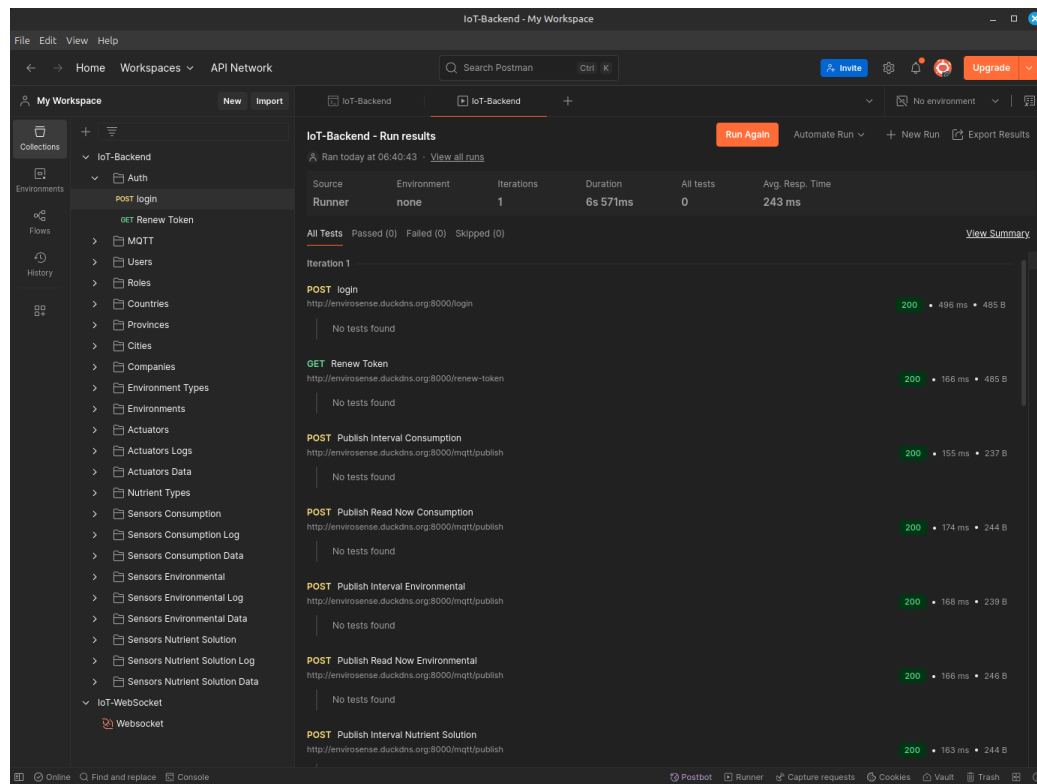


FIGURA 4.3. Pruebas realizadas en Postman.

### Evaluación general

Los tiempos de respuesta obtenidos durante las pruebas fueron, en su mayoría, adecuados para un entorno compuesto por servicios desplegados en contenedores Docker dentro de una instancia EC2 de AWS. El promedio se mantuvo cercano a los 200 ms, valor que garantiza una experiencia de usuario satisfactoria y un rendimiento eficiente del sistema.

Las operaciones más exigentes, como las consultas filtradas sobre grandes volúmenes de datos o el cambio de contraseñas, presentaron tiempos de respuesta ligeramente superiores. Sin embargo, se mantuvieron dentro de márgenes aceptables, al considerar la complejidad de estas tareas y las características del entorno de ejecución en la nube.

La Tabla 4.2 presenta los resultados obtenidos durante las pruebas de desempeño, organizados por categoría funcional. Se detallan los métodos evaluados y los tiempos de respuesta registrados, lo que permite analizar el comportamiento del sistema ante distintos tipos de solicitudes.

TABLA 4.2. Resultados de tiempos de respuesta de las pruebas.

Categoría	Método	Tiempo de Respuesta
Autenticación y usuarios	POST Login	496 ms
	GET Current User	181 ms
	PATCH Update Password	827 ms
Publicación de mensajes en MQTT y logs	POST Publish MQTT	153 – 181 ms
	GET Logs (actuadores y sensores)	173 – 193 ms
Consulta de datos de dispositivos	GET Sensors Data	~208 ms
	GET Actuators Data	271 ms
Operaciones de creación, modificación y eliminación	POST Create User / Company	~490 ms
	POST Create Sensor / Data	154 – 194 ms
	PUT / DELETE	161 – 188 ms
Datos geográficos y configuración	GET Countries / Provinces / Cities	176 – 187 ms
	POST Create Environment / Actuator / Sensor	179 – 194 ms

El análisis de los tiempos de respuesta arrojó un promedio general de **204.38 ms** sobre un total de **111 solicitudes**. Esta métrica refuerza la conclusión de que el sistema opera de manera eficiente dentro del entorno en la nube.

La tabla 4.3 presenta la distribución de los tiempos de respuesta por método HTTP. Además, se observó un comportamiento diferenciado según el tipo de operación solicitada, como se resume a continuación:

TABLA 4.3. Promedios de tiempos de respuesta por método HTTP.

Método HTTP	Tiempo de Respuesta
GET	191.0 ms (46 solicitudes)
POST	199.47 ms (36 solicitudes)
PUT	202.64 ms (14 solicitudes)
DELETE	195.77 ms (13 solicitudes)
PATCH	668.5 ms (2 solicitudes)

### Resultados generales de las pruebas

A continuación, se resumen los principales resultados obtenidos durante las pruebas realizadas en Postman:

- Todas las pruebas fueron exitosas, sin registrar errores en el backend ni fallos en las respuestas.

- Los tiempos de respuesta se mantuvieron estables y apropiados para un sistema desplegado en contenedores sobre infraestructura en la nube.
- Las operaciones clave, como la autenticación, la creación de entidades y las consultas de datos, mostraron tiempos de respuesta ligeramente superiores, pero no afectaron la experiencia del usuario. El rendimiento se mantuvo satisfactorio en el entorno de prueba con servicios en la nube.

#### 4.3.2. Pruebas de validación de WebSocket

Para validar la comunicación en tiempo real mediante WebSocket, se ejecutaron pruebas que verificaron la conexión persistente entre múltiples clientes simultáneos y el servidor backend y el envío y la recepción de mensajes.

Los clientes incluyeron instancias en Postman y navegadores web, lo que permitió establecer conexiones WebSocket entre el frontend y el backend.

Las pruebas confirmaron la estabilidad en las conexiones, la capacidad del backend para distribuir mensajes a todos los clientes conectados y la recepción inmediata de datos en los clientes.

Los resultados demostraron la eficiencia y confiabilidad del canal WebSocket implementado. La figura 4.4 ilustra un ejemplo de la conexión WebSocket entre el frontend y el backend. A la izquierda, se observa la conexión establecida desde el frontend; a la derecha, las realizadas mediante Postman. También se visualiza una terminal de Linux conectada al backend en una instancia de AWS EC2, donde se evidencia la conexión activa de tres clientes simultáneos.

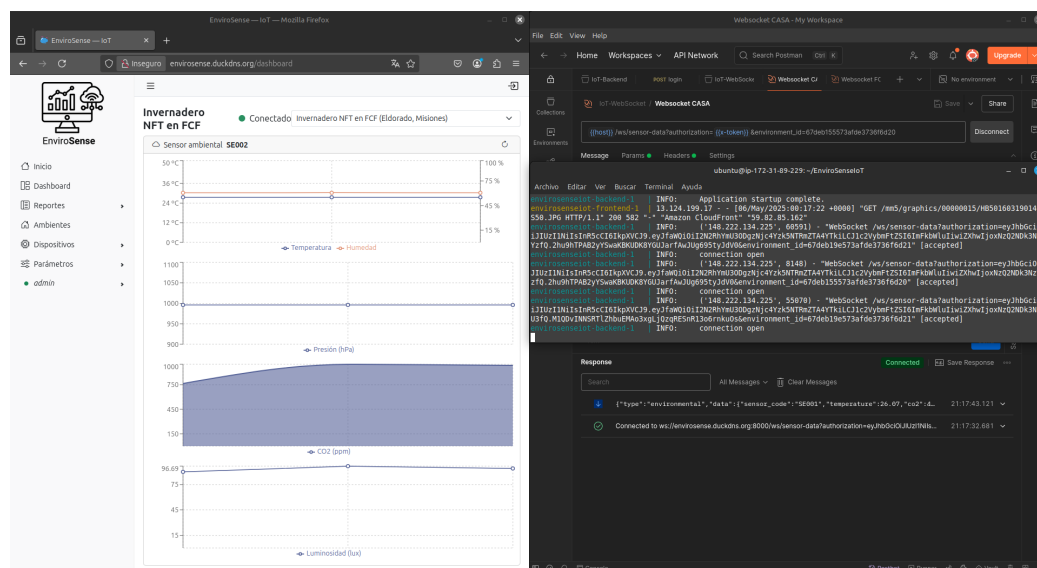


FIGURA 4.4. Pruebas de WebSocket.

#### 4.3.3. Pruebas de validación de almacenamiento en MongoDB

Se llevaron a cabo pruebas para validar el almacenamiento de los datos en MongoDB, con el objetivo de comprobar que las operaciones de escritura realizadas desde el backend, tales como la creación de usuarios, sensores, mediciones y eventos, se registraran en las colecciones correspondientes.

Para ello, se realizaron las siguientes acciones:

- Se ejecutaron operaciones desde Postman, para generar nuevas entidades en el sistema.
- A continuación, se accedió directamente a la base de datos MongoDB, a través de la herramienta MongoDB Compass [63], para inspeccionar las colecciones y verificar la existencia y la estructura de los documentos insertados.
- Se validó que las operaciones de actualización y eliminación impactaran correctamente sobre los documentos correspondientes en MongoDB.

Estas validaciones permitieron confirmar que el backend realiza una correcta persistencia de los datos en MongoDB y que no se observaron inconsistencias, ni pérdidas de información durante las operaciones.

La figura 4.5 ilustra un ejemplo del proceso de creación de un nuevo usuario. Se muestra la solicitud enviada desde Postman junto con la respuesta proporcionada por el servidor. Asimismo, en la interfaz de MongoDB Compass se visualiza el nuevo usuario incorporado en la colección User de la base de datos.

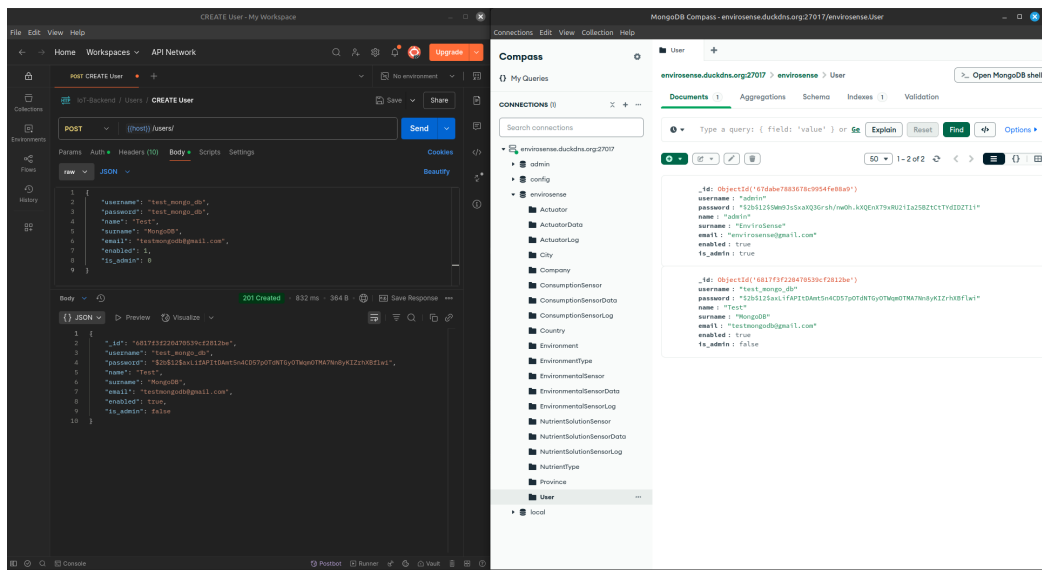


FIGURA 4.5. Validación de almacenamiento en MongoDB.

## 4.4. Pruebas de frontend

Las pruebas realizadas al frontend se centraron en evaluar la seguridad, la usabilidad y la funcionalidad de la interfaz web. Se llevaron a cabo pruebas de autenticación, autorización y acceso a los distintos módulos del sistema. Se validó la correcta visualización de los datos, la interacción con los componentes y la capacidad de respuesta ante diferentes acciones del usuario.

Las validaciones incluyeron:

- Pruebas de autenticación y autorización: se verificó que los usuarios pudieran iniciar sesión correctamente y acceder a las funcionalidades correspondientes a su rol.
- Pruebas de funcionalidad: se validó que todas las funcionalidades implementadas en el frontend funcionaran correctamente.

- Pruebas de usabilidad: se evaluó la facilidad de uso de la interfaz y su responsividad, para garantizar que los usuarios pudieran navegar sin dificultades, realizar las acciones deseadas y acceder de manera óptima desde diferentes dispositivos y tamaños de pantalla.

#### 4.4.1. Pruebas de autenticación y autorización

Las pruebas de autenticación y autorización se llevaron a cabo para garantizar que los usuarios pudieran iniciar sesión correctamente y acceder a las funcionalidades correspondientes a su rol. Se realizaron pruebas con diferentes tipos de usuarios, como administradores y usuarios estándar, para verificar que cada uno tuviera acceso a las funcionalidades adecuadas y que no pudieran acceder a las funciones restringidas a otros roles.

##### Pruebas de autenticación

La figura 4.6 muestra un ejemplo de la pantalla de inicio de sesión, donde se ingresan las credenciales de usuario. Para este ejemplo se ingresa un usuario `admin` y una contraseña incorrecta. Se puede observar que el sistema devuelve un mensaje de error en el cual indica que las credenciales son incorrectas.

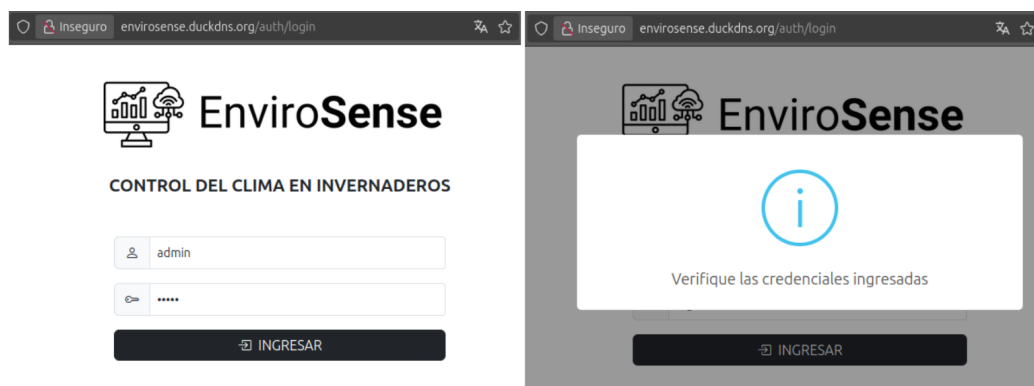


FIGURA 4.6. Pruebas de autenticación.

##### Pruebas de autenticación y autorización

Una vez que el usuario ingresa las credenciales correctas, se redirige a la pantalla principal del sistema, donde se pueden observar las distintas funcionalidades disponibles según el rol del usuario.

La figura 4.7 ilustra el proceso de inicio de sesión con un usuario `admin` y una contraseña válida. Al ingresar las credenciales correctas, el sistema redirige al usuario a la pantalla principal, donde se visualizan los módulos y funcionalidades disponibles, según el rol asignado. En este caso, el usuario tiene acceso completo a todas las opciones del sistema.

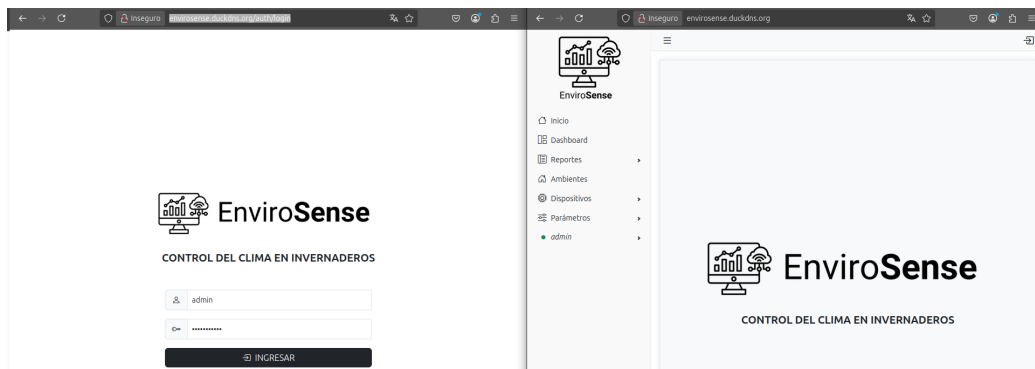


FIGURA 4.7. Autenticación y autorización de rol administrador.

La figura 4.8 muestra el proceso de inicio de sesión con un usuario estándar `martin` y una contraseña válida. Al ingresar las credenciales correctas, el sistema redirige al usuario a la pantalla principal, donde se pueden observar las distintas funcionalidades disponibles según el rol del usuario. En este caso, el usuario tiene acceso limitado a las opciones del sistema, lo que garantiza que solo pueda interactuar con las funciones disponibles para su rol.

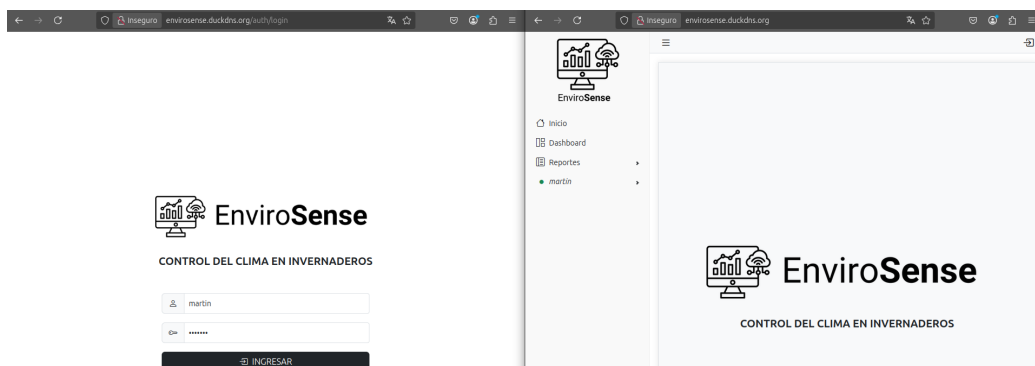


FIGURA 4.8. Autenticación y autorización de rol usuario.

#### 4.4.2. Pruebas de funcionalidad

Se realizaron pruebas exhaustivas para validar el correcto funcionamiento de todas las funcionalidades del frontend. Se verificó que cada módulo respondiera adecuadamente a las acciones del usuario y que los datos se visualizaran correctamente en la interfaz.

##### Validación de formularios

Se verificó que los formularios cumplieran con las restricciones definidas, como campos obligatorios, formatos específicos y límites de caracteres. También se evaluó la correcta visualización de los mensajes de error ante entradas inválidas.

La figura 4.9 muestra un ejemplo del formulario de creación de usuario: en la imagen de la izquierda, el intento de envío con campos incompletos activa mensajes de advertencia; en la imagen de la derecha, al ingresar todos los datos requeridos, el sistema valida correctamente la información y muestra un mensaje de confirmación previo a la creación del nuevo usuario.

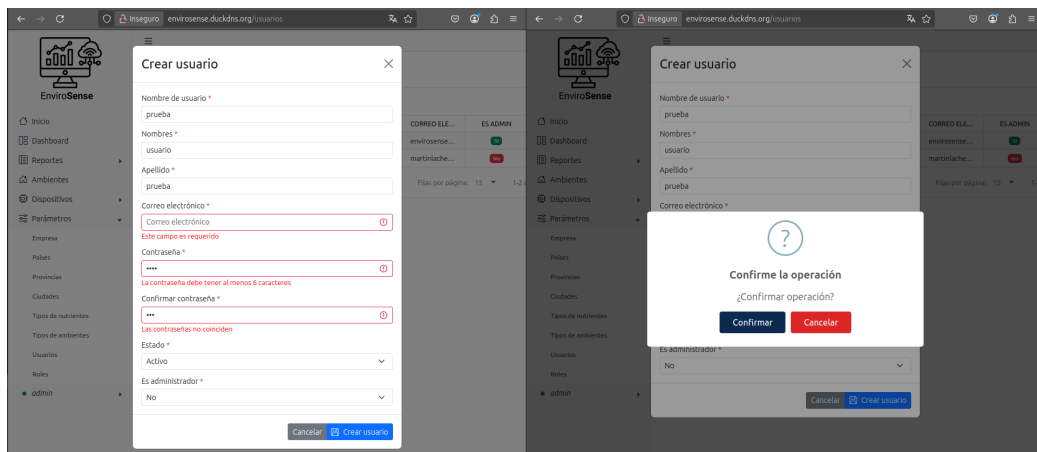


FIGURA 4.9. Validación de formularios.

La figura 4.10 permite verificar la creación del usuario prueba en la base de datos. El registro se visualiza en la tabla de usuarios, donde se reflejan correctamente todos los datos ingresados previamente en el formulario.

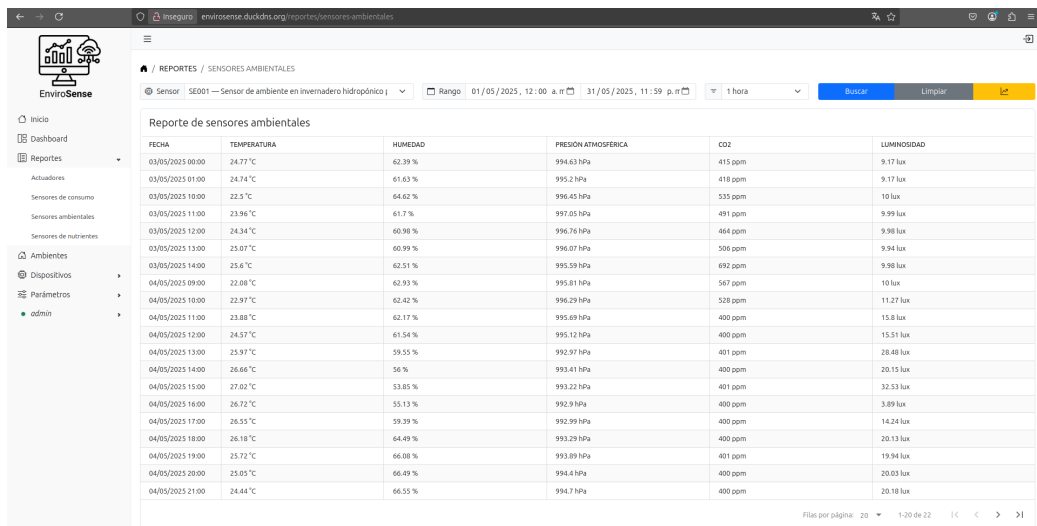
ID	NOMBRE DE ...	NOMBRE	APELLIDO	CORREO ELE...	ES ADMIN	ESTADO	ACCIONES
67dabe78836...	admin	admin	EnviroSense	envirosense...	Si	Activo	
6817f3f22047...	martin	Martin	Lacheski	martinlache...	No	Activo	
681a1ed7dcf...	prueba	usuario	prueba	correoprueb...	No	Activo	

FIGURA 4.10. Verificación de creación de usuario.

### Validación de tablas y gráficos

Se verificó la correcta visualización de las tablas, así como el funcionamiento de la paginación y el filtrado. También se evaluaron los gráficos, se comprueba su claridad, precisión y actualización dinámica frente a cambios en los datos.

La figura 4.11 presenta un ejemplo de los reportes del sensor ambiental. En la parte superior se encuentra el formulario para seleccionar sensor, rango de fechas y nivel de agregación; en el centro, la tabla con los datos generados; y abajo, el sistema de paginación para navegar los registros.



The screenshot shows a web-based dashboard for EnviroSense. On the left is a sidebar with navigation links: Inicio, Dashboard, Reportes (selected), Ajustadores, Sensores de consumo, Sensores ambientales, Sensores de nutrientes, Ambientes, Dispositivos, Parámetros, and admin. The main content area has a header with a search bar, date range (01/05/2025, 12:00 a.m. to 31/05/2025, 11:59 p.m.), aggregation level (1 hora), and buttons for Buscar (Search) and Limpiar (Clear). Below this is a section titled 'Reporte de sensores ambientales' with a table. The table has columns: FECHA, TEMPERATURA, HUMEDAD, PRESIÓN ATMOSFÉRICA, CO2, and LUMINOSIDAD. It lists data points from 03/05/2025 at 00:00 to 04/05/2025 at 21:00. At the bottom right of the table are buttons for Filas por página (Rows per page), Pagina (Page), and Número de página (Page number).

FECHA	TEMPERATURA	HUMEDAD	PRESIÓN ATMOSFÉRICA	CO2	LUMINOSIDAD
03/05/2025 00:00	24.77 °C	62.39 %	994.63 hPa	415 ppm	9.17 lux
03/05/2025 01:00	24.74 °C	61.63 %	995.2 hPa	418 ppm	9.17 lux
03/05/2025 10:00	23.5 °C	64.62 %	996.45 hPa	535 ppm	10 lux
03/05/2025 11:00	23.96 °C	61.7 %	997.05 hPa	491 ppm	9.99 lux
03/05/2025 12:00	24.34 °C	60.98 %	996.76 hPa	464 ppm	9.98 lux
03/05/2025 13:00	23.07 °C	60.99 %	996.07 hPa	506 ppm	9.94 lux
03/05/2025 14:00	23.6 °C	62.51 %	995.59 hPa	692 ppm	9.98 lux
04/05/2025 09:00	22.08 °C	62.93 %	995.81 hPa	567 ppm	10 lux
04/05/2025 10:00	22.97 °C	62.42 %	996.29 hPa	528 ppm	11.27 lux
04/05/2025 11:00	23.88 °C	62.17 %	995.69 hPa	400 ppm	15.8 lux
04/05/2025 12:00	24.57 °C	61.54 %	995.12 hPa	400 ppm	15.51 lux
04/05/2025 13:00	25.97 °C	59.55 %	992.97 hPa	401 ppm	28.40 lux
04/05/2025 14:00	26.66 °C	56 %	993.41 hPa	400 ppm	20.15 lux
04/05/2025 15:00	27.02 °C	53.85 %	993.22 hPa	401 ppm	32.53 lux
04/05/2025 16:00	26.72 °C	55.13 %	992.9 hPa	400 ppm	3.89 lux
04/05/2025 17:00	26.55 °C	59.39 %	992.99 hPa	400 ppm	14.24 lux
04/05/2025 18:00	26.18 °C	64.49 %	993.29 hPa	400 ppm	20.13 lux
04/05/2025 19:00	25.72 °C	66.08 %	993.89 hPa	401 ppm	19.94 lux
04/05/2025 20:00	25.05 °C	66.49 %	994.4 hPa	400 ppm	20.03 lux
04/05/2025 21:00	24.44 °C	66.55 %	994.7 hPa	400 ppm	20.18 lux

FIGURA 4.11. Pruebas de funcionalidad en tablas.

La figura 4.12 muestra un ejemplo de los gráficos generados por el sistema. Al igual que en la figura 4.11, en la parte superior se observa el formulario que permite seleccionar el sensor, el rango de fechas y el nivel de agregación para generar el gráfico. En la parte inferior se visualizan los gráficos generados, que representan la evolución de los datos a lo largo del tiempo.

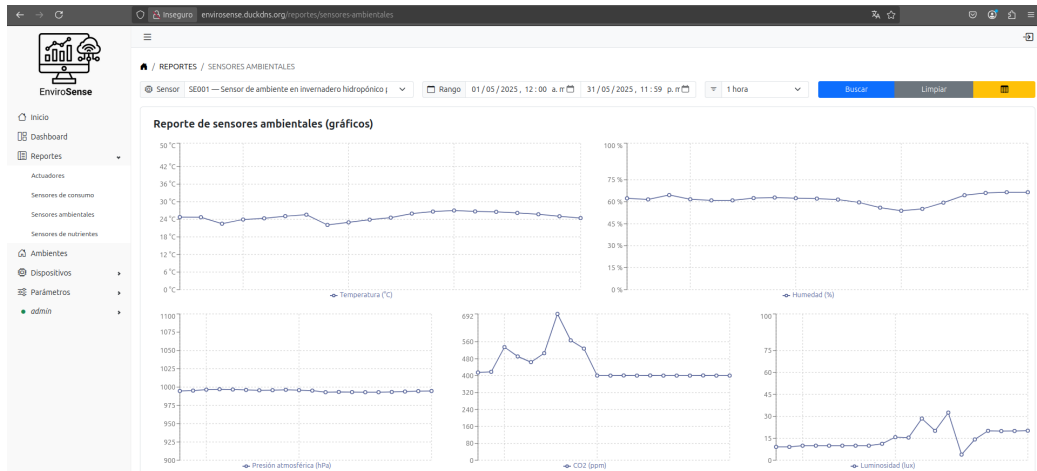


FIGURA 4.12. Pruebas de funcionalidad en gráficos.

### Validación de gráficos con WebSocket

Se validó el funcionamiento del dashboard de monitoreo en tiempo real con WebSocket. Se comprobó que los valores sensados se reflejaran en la interfaz sin demoras y que los elementos visuales respondieran de forma fluida a la transmisión continua de datos.

La figura 4.13 muestra el dashboard, que incluye un menú desplegable en la parte superior derecha para seleccionar el ambiente a visualizar. En el centro se presentan los gráficos en tiempo real según el tipo de sensor. En la parte inferior se visualiza el cliente WebSocket en Postman, que confirma la correcta transmisión de datos desde el backend.

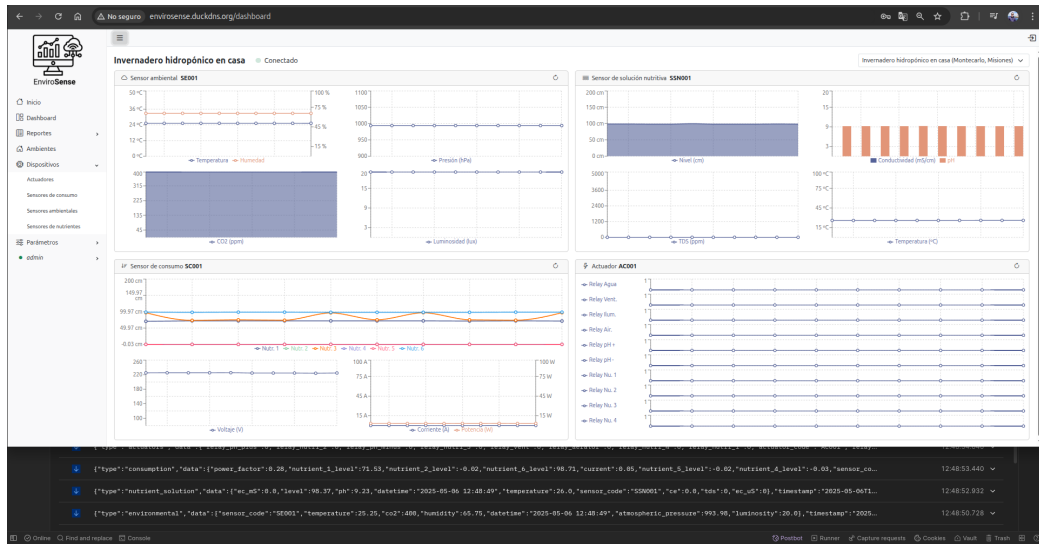


FIGURA 4.13. Pruebas de funcionalidad en el dashboard.

### Pruebas de usabilidad

Se evaluó la facilidad de uso de la interfaz y su adaptación a distintos dispositivos, para asegurar una navegación fluida y acceso completo a las funciones desde pantallas de diferentes tamaños.

La figura 4.14 muestra un ejemplo de la interfaz de ambientes desde un dispositivo móvil. Se verificó que todos los elementos se adaptaron correctamente a la pantalla vertical, sin afectar su funcionalidad.

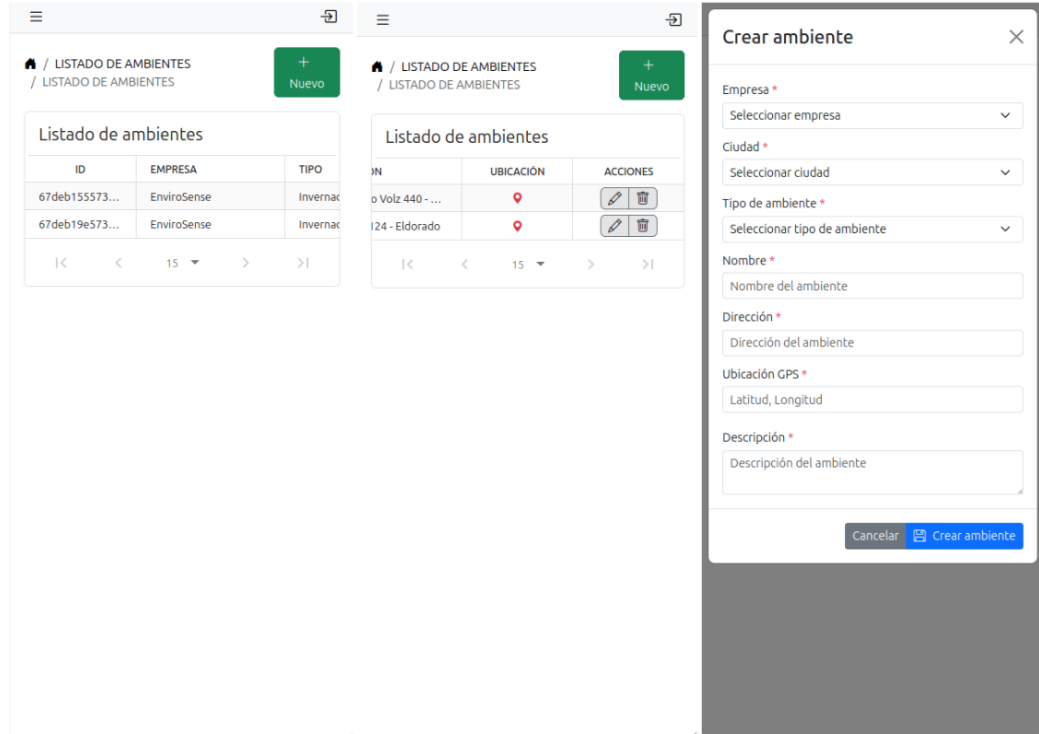


FIGURA 4.14. Interfaz de ambientes en dispositivo móvil.

La figura 4.15 presenta un listado visualizado en formato apaisado. También en este caso los componentes de la interfaz se ajustaron de forma adecuada, y se conservó la usabilidad.

ID	EMPRESA	TIPO	NOMBRE	DIRECCIÓN
67deb155573...	EnviroSense	Invernadero hidropón...	Invernadero hidropón...	Guillermo Volz 440 - ...
67deb19e573...	EnviroSense	Invernadero hidropón...	Invernadero NFT en FCF	Bertoni 124 - Eldorado

TIPO	NOMBRE	DIRECCIÓN	UBICACIÓN	ACCIONES
Invernadero hidropón...	Invernadero hidropón...	Guillermo Volz 440 - ...		
Invernadero hidropón...	Invernadero NFT en FCF	Bertoni 124 - Eldorado		

FIGURA 4.15. Listado en formato apaisado desde dispositivo móvil.

## 4.5. Pruebas de componentes

Las pruebas se realizaron con el objetivo de validar el funcionamiento de cada componente y su integración en el entorno de prueba. Se llevaron a cabo verificaciones individuales sobre sensores y actuadores, para evaluar la precisión de las mediciones y la correcta respuesta ante comandos. Estas pruebas permitieron confirmar que cada módulo cumplió con los requisitos establecidos y operó de manera adecuada junto al resto del sistema.

Para llevarlas a cabo, los microcontroladores se conectaron a la computadora mediante un cable USB, lo que posibilitó monitorear la salida por comunicación serial y comprobar el comportamiento de cada módulo en forma directa.

### 4.5.1. Pruebas de sensores

#### Prueba de sensor ambiental

Se evaluaron los sensores ambientales BMP280, BH1750 y MH-Z19C, para medir la temperatura ambiente, la humedad relativa, la presión atmosférica, el nivel de iluminación y la concentración de  $CO_2$  en el entorno de prueba.

La figura 4.16 muestra un ejemplo de las mediciones registradas por el conjunto de sensores ambientales.

```

PROBLEMAS SALIDA CONSOLA DE DEPURACIÓN TERMINAL PUERTOS MONITOR SERIE ESP-IDF POSTMAN CONSOLE
Mensaje publicado: {"sensor_code": "SE081", "temperature": 25.02, "cod": 646, "humidity": 68.03, "datetime": "2025-05-06 15:22:07", "atmospheric_pressure": 991.69, "luminosity": 633.33}
Mensaje publicado: {"sensor_code": "SE081", "temperature": 25.02, "cod": 649, "humidity": 68.03, "datetime": "2025-05-06 15:22:12", "atmospheric_pressure": 991.68, "luminosity": 638.03}
Mensaje publicado: {"sensor_code": "SE081", "temperature": 25.0, "cod": 650, "humidity": 68.03, "datetime": "2025-05-06 15:22:17", "atmospheric_pressure": 991.68, "luminosity": 633.33}
Mensaje publicado: {"sensor_code": "SE081", "temperature": 25.0, "cod": 655, "humidity": 68.06, "datetime": "2025-05-06 15:22:22", "atmospheric_pressure": 991.68, "luminosity": 644.17}
Mensaje publicado: {"sensor_code": "SE081", "temperature": 25.0, "cod": 588, "humidity": 68.07, "datetime": "2025-05-06 15:22:27", "atmospheric_pressure": 991.72, "luminosity": 641.07}
Mensaje publicado: {"sensor_code": "SE081", "temperature": 25.0, "cod": 579, "humidity": 68.05, "datetime": "2025-05-06 15:22:32", "atmospheric_pressure": 991.68, "luminosity": 637.5}
Mensaje publicado: {"sensor_code": "SE081", "temperature": 25.0, "cod": 559, "humidity": 68.05, "datetime": "2025-05-06 15:22:37", "atmospheric_pressure": 991.68, "luminosity": 633.33}
Mensaje publicado: {"sensor_code": "SE081", "temperature": 24.99, "cod": 539, "humidity": 68.07, "datetime": "2025-05-06 15:22:42", "atmospheric_pressure": 991.68, "luminosity": 643.33}
Mensaje publicado: {"sensor_code": "SE081", "temperature": 24.98, "cod": 526, "humidity": 68.09, "datetime": "2025-05-06 15:22:47", "atmospheric_pressure": 991.69, "luminosity": 642.05}
Mensaje publicado: {"sensor_code": "SE081", "temperature": 24.98, "cod": 503, "humidity": 68.1, "datetime": "2025-05-06 15:22:52", "atmospheric_pressure": 991.69, "luminosity": 643.05}
Mensaje publicado: {"sensor_code": "SE081", "temperature": 24.98, "cod": 533, "humidity": 68.1, "datetime": "2025-05-06 15:22:57", "atmospheric_pressure": 991.68, "luminosity": 643.05}
Mensaje publicado: {"sensor_code": "SE081", "temperature": 24.97, "cod": 527, "humidity": 68.19, "datetime": "2025-05-06 15:23:02", "atmospheric_pressure": 991.64, "luminosity": 637.5}
Mensaje publicado: {"sensor_code": "SE081", "temperature": 24.97, "cod": 521, "humidity": 68.23, "datetime": "2025-05-06 15:23:07", "atmospheric_pressure": 991.68, "luminosity": 638.33}
Mensaje publicado: {"sensor_code": "SE081", "temperature": 24.97, "cod": 547, "humidity": 68.24, "datetime": "2025-05-06 15:23:12", "atmospheric_pressure": 991.65, "luminosity": 644.17}
Mensaje publicado: {"sensor_code": "SE081", "temperature": 24.97, "cod": 516, "humidity": 68.25, "datetime": "2025-05-06 15:23:17", "atmospheric_pressure": 991.65, "luminosity": 644.17}
Mensaje publicado: {"sensor_code": "SE081", "temperature": 24.96, "cod": 508, "humidity": 68.26, "datetime": "2025-05-06 15:23:22", "atmospheric_pressure": 991.62, "luminosity": 644.17}
Mensaje publicado: {"sensor_code": "SE081", "temperature": 24.95, "cod": 523, "humidity": 68.29, "datetime": "2025-05-06 15:23:27", "atmospheric_pressure": 991.68, "luminosity": 644.17}

```

FIGURA 4.16. Pruebas de sensor ambiental.

### Prueba de sensor de solución nutritiva

Se probaron sensores que permiten medir el nivel de la solución, la temperatura, el pH, la CE y TDS de la solución nutritiva. Se utilizaron los sensores DS18B20, PH-4502C, sensor de CE, sensor TDS y sensor ultrasónico HC-SR04.

Para validar su funcionamiento, se realizaron dos pruebas:

- Solución con agua tibia y sal: se colocaron los sensores en un recipiente con agua tibia y sal, con el fin de evaluar las respuestas de pH, CE y TDS ante una solución más concentrada.
- Agua potable natural: se repitió el procedimiento en un recipiente con agua potable natural, para comparar los resultados frente a una solución de menor concentración.

La figura 4.17 presenta los resultados obtenidos en estas pruebas.

```

PROBLEMAS SALIDA CONSOLA DE DEPURACIÓN TERMINAL PUERTOS MONITOR SERIE ESP-IDF POSTMAN CONSOLE
Mensaje publicado: {"ec081": 12.97, "level": 2.92, "ph": 9.08, "datetime": "2025-05-06 15:25:11", "temperature": 39.25, "sensor_code": "SSN001", "cod": 1.12, "tds": 558, "ec_us": 12667}
Mensaje publicado: {"ec081": 13.0, "level": 2.94, "ph": 9.03, "datetime": "2025-05-06 15:25:16", "temperature": 39.19, "sensor_code": "SSN001", "cod": 1.12, "tds": 558, "ec_us": 12661}
Mensaje publicado: {"ec081": 12.92, "level": 2.96, "ph": 9.01, "datetime": "2025-05-06 15:25:31", "temperature": 39.12, "sensor_code": "SSN001", "cod": 1.12, "tds": 559, "ec_us": 12860}
Mensaje publicado: {"ec081": 12.94, "level": 2.9, "ph": 9.05, "datetime": "2025-05-06 15:25:50", "temperature": 39.12, "sensor_code": "SSN001", "cod": 1.12, "tds": 560, "ec_us": 12782}
Mensaje publicado: {"ec081": 12.79, "level": 2.9, "ph": 9.02, "datetime": "2025-05-06 15:26:01", "temperature": 39.12, "sensor_code": "SSN001", "cod": 1.12, "tds": 559, "ec_us": 12978}
Mensaje publicado: {"ec081": 12.84, "level": 2.94, "ph": 9.09, "datetime": "2025-05-06 15:26:06", "temperature": 39.06, "sensor_code": "SSN001", "cod": 1.12, "tds": 560, "ec_us": 12946}
Mensaje publicado: {"ec081": 12.94, "level": 2.94, "ph": 9.04, "datetime": "2025-05-06 15:26:11", "temperature": 39.0, "sensor_code": "SSN001", "cod": 1.12, "tds": 560, "ec_us": 13022}
Mensaje publicado: {"ec081": 12.94, "level": 2.94, "ph": 9.04, "datetime": "2025-05-06 15:26:16", "temperature": 39.0, "sensor_code": "SSN001", "cod": 1.12, "tds": 560, "ec_us": 13020}
Mensaje publicado: {"ec081": 12.93, "level": 2.93, "ph": 9.03, "datetime": "2025-05-06 15:26:20", "temperature": 39.0, "sensor_code": "SSN001", "cod": 1.12, "tds": 560, "ec_us": 13022}
Mensaje publicado: {"ec081": 12.93, "level": 2.98, "ph": 9.03, "datetime": "2025-05-06 15:26:24", "temperature": 39.0, "sensor_code": "SSN001", "cod": 1.12, "tds": 560, "ec_us": 13020}
Mensaje publicado: {"ec081": 12.93, "level": 3.08, "ph": 9.05, "datetime": "2025-05-06 15:26:21", "temperature": 40.31, "sensor_code": "SSN001", "cod": 0.7, "tds": 551, "ec_us": 12703}
Mensaje publicado: {"ec081": 0.0, "level": 9.91, "ph": 9.02, "datetime": "2025-05-06 15:26:20", "temperature": 31.81, "sensor_code": "SSN001", "cod": 0.18, "tds": 92, "ec_us": 0}
Mensaje publicado: {"ec081": 0.0, "level": 4.07, "ph": 9.04, "datetime": "2025-05-06 15:26:31", "temperature": 29.19, "sensor_code": "SSN001", "cod": 0.19, "tds": 92, "ec_us": 0}
Mensaje publicado: {"ec081": 0.0, "level": 4.07, "ph": 9.02, "datetime": "2025-05-06 15:26:30", "temperature": 27.88, "sensor_code": "SSN001", "cod": 0.19, "tds": 93, "ec_us": 0}
Mensaje publicado: {"ec081": 0.0, "level": 4.07, "ph": 9.03, "datetime": "2025-05-06 15:26:31", "temperature": 27.88, "sensor_code": "SSN001", "cod": 0.19, "tds": 93, "ec_us": 0}
Mensaje publicado: {"ec081": 0.0, "level": 5.07, "ph": 9.07, "datetime": "2025-05-06 15:26:40", "temperature": 26.02, "sensor_code": "SSN001", "cod": 0.18, "tds": 91, "ec_us": 0}
Mensaje publicado: {"ec081": 0.0, "level": 4.07, "ph": 9.03, "datetime": "2025-05-06 15:26:51", "temperature": 26.25, "sensor_code": "SSN001", "cod": 0.18, "tds": 89, "ec_us": 0}
Mensaje publicado: {"ec081": 0.0, "level": 4.66, "ph": 9.02, "datetime": "2025-05-06 15:26:50", "temperature": 25.94, "sensor_code": "SSN001", "cod": 0.18, "tds": 90, "ec_us": 0}
Mensaje publicado: {"ec081": 0.0, "level": 4.66, "ph": 9.04, "datetime": "2025-05-06 15:27:01", "temperature": 25.81, "sensor_code": "SSN001", "cod": 0.18, "tds": 91, "ec_us": 0}

```

FIGURA 4.17. Pruebas de sensor de solución nutritiva.

### Prueba de sensor de consumos

Se verificó el funcionamiento de los sensores destinados al monitoreo de consumos eléctricos y del nivel en los depósitos de nutrientes. Para ello, se utilizaron los módulos PZEM-004T y sensores ultrasónicos HC-SR04.

La figura 4.18 muestra un ejemplo de los datos registrados durante las pruebas.

```

PROBLEMAS SALIDA CONSOLA DE DEPURACIÓN TERMINAL PUERTOS MONITOR SERIE ESP-IDF POSTMAN CONSOLE
Mensaje publicado: {"power_factor": 0.36, "nutrient_1_level": -0.02, "nutrient_2_level": -0.02, "current": 0.09, "nutrient_5_level": -0.03, "nutrient_4_level": -0.02, "sensor_code": "SC081", "energy": "924", "datetime": "2025-05-06 15:29:27", "nutrient_3_level": 0.74, "power": 7.6, "voltage": 234.5, "frequency": 50.0}
Mensaje publicado: {"power_factor": 0.35, "nutrient_1_level": -0.02, "nutrient_2_level": -0.02, "current": 0.09, "nutrient_5_level": -0.03, "nutrient_4_level": -0.02, "sensor_code": "SC081", "energy": "924", "datetime": "2025-05-06 15:29:32", "nutrient_3_level": 0.78, "power": 7.8, "voltage": 234.5, "frequency": 50.0}
Mensaje publicado: {"power_factor": 0.35, "nutrient_1_level": -0.02, "nutrient_2_level": -0.02, "current": 0.09, "nutrient_5_level": -0.03, "nutrient_4_level": -0.02, "sensor_code": "SC081", "energy": "924", "datetime": "2025-05-06 15:29:37", "nutrient_3_level": 0.78, "power": 7.8, "voltage": 234.5, "frequency": 50.0}
Mensaje publicado: {"power_factor": 0.24, "nutrient_1_level": -0.02, "nutrient_2_level": -0.02, "current": 0.08, "nutrient_5_level": -0.03, "nutrient_4_level": -0.02, "sensor_code": "SC081", "energy": "924", "datetime": "2025-05-06 15:29:42", "nutrient_3_level": 0.74, "power": 7.4, "voltage": 234.5, "frequency": 50.0}
Mensaje publicado: {"power_factor": 0.22, "nutrient_1_level": -0.02, "nutrient_2_level": -0.02, "current": 0.08, "nutrient_5_level": -0.03, "nutrient_4_level": -0.02, "sensor_code": "SC081", "energy": "924", "datetime": "2025-05-06 15:29:47", "nutrient_3_level": 0.74, "power": 7.4, "voltage": 234.5, "frequency": 50.0}
Mensaje publicado: {"power_factor": 0.21, "nutrient_1_level": -0.02, "nutrient_2_level": -0.02, "current": 0.08, "nutrient_5_level": -0.03, "nutrient_4_level": -0.02, "sensor_code": "SC081", "energy": "924", "datetime": "2025-05-06 15:30:02", "nutrient_3_level": 0.74, "power": 7.4, "voltage": 234.5, "frequency": 50.0}
Mensaje publicado: {"power_factor": 0.21, "nutrient_1_level": -0.02, "nutrient_2_level": -0.02, "current": 0.08, "nutrient_5_level": -0.03, "nutrient_4_level": -0.02, "sensor_code": "SC081", "energy": "924", "datetime": "2025-05-06 15:30:07", "nutrient_3_level": 0.74, "power": 7.4, "voltage": 234.5, "frequency": 50.0}
Mensaje publicado: {"power_factor": 0.21, "nutrient_1_level": -0.02, "nutrient_2_level": -0.02, "current": 0.08, "nutrient_5_level": -0.03, "nutrient_4_level": -0.02, "sensor_code": "SC081", "energy": "924", "datetime": "2025-05-06 15:30:12", "nutrient_3_level": 0.74, "power": 7.4, "voltage": 234.5, "frequency": 50.0}

```

FIGURA 4.18. Pruebas de sensor de consumos.

### 4.5.2. Pruebas de actuadores

Se realizaron pruebas de los módulos de relés, que permiten activar y desactivar dispositivos eléctricos. Se verificó su correcto funcionamiento al activar y desactivar los relés mediante comandos enviados.

La figura 4.19 muestra un ejemplo de la prueba realizada con el módulo de relé.



```

PROBLEMAS SALIDA CONSOLA DE DEPURACIÓN TERMINAL PUERTOS MONITOR SERIE ESP-IDF POSTMAN CONSOLE

Mensaje publicado: {"relay_ph_plus": 0, "relay_ph_minus": 0, "relay_nutri_1_3": 0, "relay_vent": 0, "relay_aerator": 0, "relay_nutri_4": 0, "relay_nutri_1": 0, "actuator_c
ode": "AC001", "relay_water": 0, "datetime": "2025-05-06 15:32:44", "relay_light": 1}
Mensaje publicado: {"relay_ph_plus": 0, "relay_nutri_2": 0, "relay_ph_minus": 0, "relay_nutri_3": 0, "relay_vent": 0, "relay_aerator": 0, "relay_nutri_4": 0, "relay_nutri_1": 0, "actuator_c
ode": "AC001", "relay_water": 1, "datetime": "2025-05-06 15:32:44", "relay_light": 1}
Mensaje publicado: {"relay_ph_plus": 0, "relay_nutri_2": 0, "relay_ph_minus": 0, "relay_nutri_3": 0, "relay_vent": 0, "relay_aerator": 0, "relay_nutri_4": 0, "relay_nutri_1": 0, "actuator_c
ode": "AC001", "relay_water": 1, "datetime": "2025-05-06 15:32:49", "relay_light": 1}
Mensaje publicado: {"relay_ph_plus": 0, "relay_nutri_2": 0, "relay_ph_minus": 0, "relay_nutri_3": 0, "relay_vent": 0, "relay_aerator": 0, "relay_nutri_4": 0, "relay_nutri_1": 0, "actuator_c
ode": "AC001", "relay_water": 1, "datetime": "2025-05-06 15:32:54", "relay_light": 1}
Mensaje publicado: {"relay_ph_plus": 0, "relay_nutri_2": 0, "relay_ph_minus": 0, "relay_nutri_3": 0, "relay_vent": 0, "relay_aerator": 0, "relay_nutri_4": 0, "relay_nutri_1": 0, "actuator_c
ode": "AC001", "relay_water": 1, "datetime": "2025-05-06 15:32:59", "relay_light": 1}
Mensaje publicado: {"relay_ph_plus": 0, "relay_nutri_2": 0, "relay_ph_minus": 0, "relay_nutri_3": 0, "relay_vent": 0, "relay_aerator": 0, "relay_nutri_4": 0, "relay_nutri_1": 0, "actuator_c
ode": "AC001", "relay_water": 1, "datetime": "2025-05-06 15:33:04", "relay_light": 1}
Mensaje publicado: {"relay_ph_plus": 0, "relay_nutri_2": 0, "relay_ph_minus": 0, "relay_nutri_3": 0, "relay_vent": 0, "relay_aerator": 0, "relay_nutri_4": 0, "relay_nutri_1": 0, "actuator_c
ode": "AC001", "relay_water": 1, "datetime": "2025-05-06 15:33:09", "relay_light": 1}
Mensaje publicado: {"relay_ph_plus": 0, "relay_nutri_2": 0, "relay_ph_minus": 0, "relay_nutri_3": 0, "relay_vent": 0, "relay_aerator": 0, "relay_nutri_4": 0, "relay_nutri_1": 0, "actuator_c
ode": "AC001", "relay_water": 1, "datetime": "2025-05-06 15:33:14", "relay_light": 1}

```

FIGURA 4.19. Pruebas de actuadores.

La figura 4.20 muestra un ejemplo de la prueba realizada con el módulo de relé. Se verifica el encendido y apagado de los relés mediante comandos enviados desde el microcontrolador.



```

PROBLEMAS SALIDA CONSOLA DE DEPURACIÓN TERMINAL PUERTOS MONITOR SERIE ESP-IDF POSTMAN CONSOLE

Mensaje recibido:
Tópico: actuators/sub
Mensaje: {"timestamp": 316370, "actuator_code": "AC001", "status": "COMPLETED", "relay": "relay_aerator", "command": "0FF"}
Mensaje publicado: {"relay_ph_plus": 1, "relay_nutri_2": 0, "relay_ph_minus": 0, "relay_nutri_3": 0, "relay_vent": 1, "relay_aerator": 0, "relay_nutri_4": 0, "relay_nutri_1": 0, "actuator_c
ode": "AC001", "relay_water": 0, "datetime": "2025-05-06 15:35:59", "relay_light": 0}
Mensaje publicado: {"relay_ph_plus": 0, "relay_nutri_2": 0, "relay_ph_minus": 0, "relay_nutri_3": 0, "relay_vent": 1, "relay_aerator": 0, "relay_nutri_4": 0, "relay_nutri_1": 0, "actuator_c
ode": "AC001", "relay_water": 0, "datetime": "2025-05-06 15:35:59", "relay_light": 0}
Mensaje publicado: {"relay_ph_plus": 0, "relay_nutri_2": 0, "relay_ph_minus": 0, "relay_nutri_3": 0, "relay_vent": 1, "relay_aerator": 0, "relay_nutri_4": 0, "relay_nutri_1": 0, "actuator_c
ode": "AC001", "relay_water": 0, "datetime": "2025-05-06 15:36:00", "relay_light": 0}
Mensaje recibido:
Tópico: actuators/sub
Mensaje: {"timestamp": 316563, "actuator_code": "AC001", "status": "COMPLETED", "relay": "relay_ph_plus", "command": "0FF"}
Mensaje publicado: {"relay_ph_plus": 0, "relay_nutri_2": 0, "relay_ph_minus": 0, "relay_nutri_3": 0, "relay_vent": 1, "relay_aerator": 0, "relay_nutri_4": 0, "relay_nutri_1": 0, "actuator_c
ode": "AC001", "relay_water": 0, "datetime": "2025-05-06 15:36:00", "relay_light": 0}

```

FIGURA 4.20. Pruebas de encendido de relés.

## 4.6. Pruebas de comunicación

Las pruebas de comunicación tuvieron como objetivo validar el correcto funcionamiento de los canales de comunicación del sistema. Se verificaron los mensajes entre los microcontroladores y el servidor backend mediante el protocolo MQTT, para comprobar que los mensajes enviados fueron recibidos sin errores ni pérdidas.

Además, se evaluó la comunicación entre el backend y el frontend. Se confirmó el procesamiento adecuado de las solicitudes de la interfaz de usuario por el backend y la correcta presentación de las respuestas en el frontend.

Estas pruebas garantizaron la integridad del flujo de datos en toda la arquitectura del sistema, tanto en el envío como en la recepción de información.

### 4.6.1. Pruebas en sensor ambiental

La figura 4.21 muestra una prueba en la que se envió un mensaje MQTT al sensor ambiental para modificar el intervalo de envío de datos a 45 segundos.

```

PROBLEMAS SALIDA CONSOLA DE DEPURACIÓN TERMINAL PUERTOS MONITOR SERIE ESP-IDF POSTMAN CONSOLE

Mensaje publicado: {"sensor_code": "SE001", "temperature": 24.9, "co2": 428, "humidity": 70.51, "date_time": "2023-05-06 16:24:37", "atmospheric_pressure": 991.1, "luminosity": 149.19}
Mensaje recibido:
Tópico: environmental/sensor/sub
Mensaje: {"sensor_code": "SE001", "interval": 45}
Intervalo guardado: 45 segundos
Intervalo actualizado: 45
Confirmación enviada al servidor

Mensaje recibido:
Tópico: environmental/sensor/sub
Mensaje: {"seconds_to_report": 45, "interval": "OK", "sensor_code": "SE001"}  

  
```

FIGURA 4.21. Pruebas de comunicación con sensor ambiental.

En la figura 4.22 se observa una prueba en la que se solicitó al sensor enviar sus datos al backend. El dispositivo procesó la solicitud y respondió con los valores capturados, los cuales fueron recibidos correctamente y almacenados en la base de datos.

```

PROBLEMAS SALIDA CONSOLA DE DEPURACIÓN TERMINAL PUERTOS MONITOR SERIE ESP-IDF POSTMAN CONSOLE

Mensaje publicado: {"sensor_code": "SE001", "temperature": 24.86, "co2": 404, "humidity": 70.85, "date_time": "2023-05-06 16:20:13", "atmospheric_pressure": 991.12, "luminosity": 150.0}
Mensaje recibido:
Tópico: environmental/sensor/sub
Mensaje: {"sensor_code": "SE001", "command": "read_now"}
Comando de lectura inmediata recibido
Confirmación de lectura enviada al servidor
Mensaje publicado: {"sensor_code": "SE001", "temperature": 24.86, "co2": 401, "humidity": 70.85, "date_time": "2023-05-06 16:20:30", "atmospheric_pressure": 991.15, "luminosity": 150.0}
Mensaje recibido:
Tópico: environmental/sensor/sub
Mensaje: {"status": "received", "command": "read_now_ack", "sensor_code": "SE001"}  

  
```

FIGURA 4.22. Pruebas de comunicación con sensor ambiental.

#### 4.6.2. Pruebas en sensor de consumos

La figura 4.23 presenta una prueba en la que se envió un mensaje MQTT al sensor de consumos para establecer un nuevo intervalo de transmisión de datos de 45 segundos.

```

PROBLEMAS SALIDA CONSOLA DE DEPURACIÓN TERMINAL PUERTOS MONITOR SERIE ESP-IDF POSTMAN CONSOLE

Tópico: consumption/sensor/sub
Mensaje: {"seconds_to_report": 50, "interval": "OK", "sensor_code": "SC001"}  

  
```

FIGURA 4.23. Pruebas de comunicación con sensor de consumos.

La figura 4.24 ilustra una prueba en la que se solicitó al sensor de consumos transmitir sus mediciones al backend. El sensor respondió con los datos requeridos, que fueron correctamente registrados en la base de datos.

```

PROBLEMAS SALIDA CONSOLA DE DEPURACIÓN TERMINAL PUERTOS MONITOR SERIE ESP-IDF POSTMAN CONSOLE

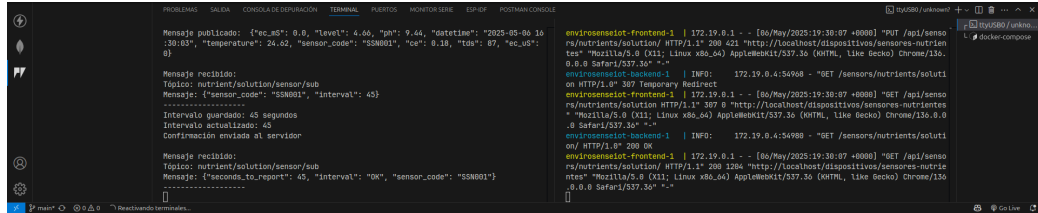
Mensaje recibido:
Tópico: consumption/sensor/sub
Mensaje: {"sensor_code": "SC001", "command": "read_now"}  

  
```

FIGURA 4.24. Pruebas de comunicación con sensor de consumos.

### 4.6.3. Pruebas en sensor de solución nutritiva

La figura 4.25 presenta una prueba en la que se envió un mensaje MQTT al sensor de solución nutritiva para fijar un nuevo intervalo de transmisión de datos en 45 segundos.



```

PROBLEMAS SALIDA CONSOLA DE DEPURACIÓN TERMINAL PUERTOS MONITOR SERIE ESPIDE POSTMAN CONSOLE

Mensaje publicado: {"ec_m5": 0.0, "level": 4.44, "ph": 9.44, "datetime": "2025-05-06 16:38:03", "temperature": 24.62, "sensor_code": "SSN001", "ce": 0.18, "tob": 67, "ec_us": 0}
Mensaje recibido:
Tópico: nutrient/solution/sensor/sub
Mensaje: {"sensor_code": "SSN001", "interval": 45}

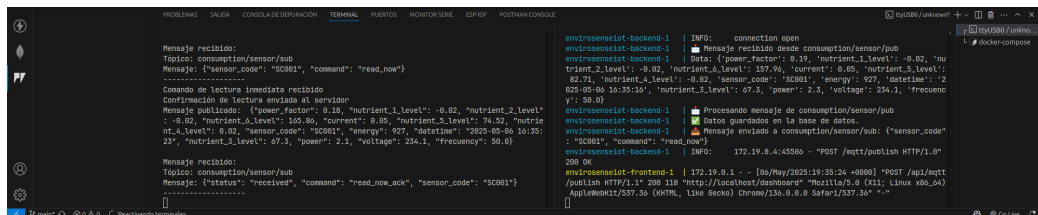
Intervalo guardado: 45 segundos
Intervalo actualizado: 45
Confirmación enviada al servidor

Mensaje recibido:
Tópico: nutrient/solution/sensor/sub
Mensaje: {"seconds_to_report": 45, "interval": "OK", "sensor_code": "SSN001"}[{"id": 1, "label": "envirosenselist-Frontend-1", "x": 100, "y": 100}, {"id": 2, "label": "envirosenselist-backend-1", "x": 200, "y": 100}, {"id": 3, "label": "envirosenselist-Frontend-1", "x": 100, "y": 200}, {"id": 4, "label": "envirosenselist-backend-1", "x": 200, "y": 200}, {"id": 5, "label": "envirosenselist-Frontend-1", "x": 100, "y": 300}, {"id": 6, "label": "envirosenselist-backend-1", "x": 200, "y": 300}], [{"x": 150, "y": 150, "x2": 250, "y2": 150}, {"x": 150, "y": 250, "x2": 250, "y2": 250}, {"x": 150, "y": 350, "x2": 250, "y2": 350}, {"x": 250, "y": 150, "x2": 250, "y2": 250}, {"x": 250, "y": 250, "x2": 250, "y2": 350}], [{"x": 150, "y": 150, "text": "HTTP/1.0 200 OK"}, {"x": 150, "y": 250, "text": "HTTP/1.0 200 OK"}, {"x": 150, "y": 350, "text": "HTTP/1.0 200 OK"}]

```

FIGURA 4.25. Pruebas de comunicación con sensor de solución nutritiva.

La figura 4.26 evidencia una prueba en la que se solicitó al sensor de solución nutritiva la transmisión de los valores de nivel, temperatura, pH, CE y TDS al backend. El sensor respondió con los datos requeridos, los cuales se registraron correctamente en la base de datos.



```

PROBLEMAS SALIDA CONSOLA DE DEPURACIÓN TERMINAL PUERTOS MONITOR SERIE ESPIDE POSTMAN CONSOLE

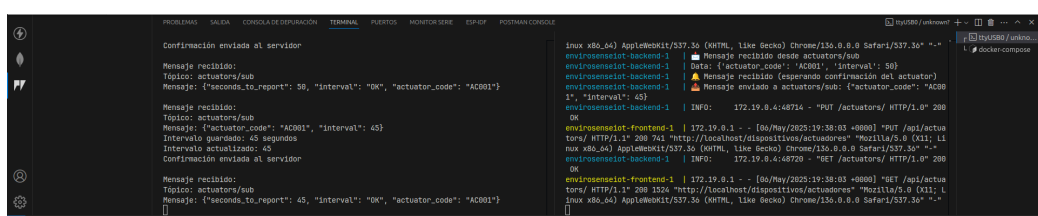
Mensaje recibido:
Tópico: consumption/consumption/sub
Mensaje: {"sensor_code": "SC001", "command": "read_now"}[{"id": 1, "label": "envirosenselist-Frontend-1", "x": 100, "y": 100}, {"id": 2, "label": "envirosenselist-backend-1", "x": 200, "y": 100}, {"id": 3, "label": "envirosenselist-Frontend-1", "x": 100, "y": 200}, {"id": 4, "label": "envirosenselist-backend-1", "x": 200, "y": 200}, {"id": 5, "label": "envirosenselist-Frontend-1", "x": 100, "y": 300}, {"id": 6, "label": "envirosenselist-backend-1", "x": 200, "y": 300}], [{"x": 150, "y": 150, "x2": 250, "y2": 150}, {"x": 150, "y": 250, "x2": 250, "y2": 250}, {"x": 150, "y": 350, "x2": 250, "y2": 350}, {"x": 250, "y": 150, "x2": 250, "y2": 250}, {"x": 250, "y": 250, "x2": 250, "y2": 350}], [{"x": 150, "y": 150, "text": "HTTP/1.0 200 OK"}, {"x": 150, "y": 250, "text": "HTTP/1.0 200 OK"}, {"x": 150, "y": 350, "text": "HTTP/1.0 200 OK"}]

```

FIGURA 4.26. Pruebas de comunicación con sensor de solución nutritiva.

### 4.6.4. Pruebas de comunicación en el actuador

La figura 4.27 muestra una prueba en la que se envió un mensaje MQTT al actuador para establecer un nuevo intervalo de transmisión de datos de 45 segundos.



```

PROBLEMAS SALIDA CONSOLA DE DEPURACIÓN TERMINAL PUERTOS MONITOR SERIE ESPIDE POSTMAN CONSOLE

Confirmación enviada al servidor

Mensaje recibido:
Tópico: actuators/sub
Mensaje: {"seconds_to_report": 50, "interval": "OK", "actuator_code": "AC001"}[{"id": 1, "label": "envirosenselist-Frontend-1", "x": 100, "y": 100}, {"id": 2, "label": "envirosenselist-backend-1", "x": 200, "y": 100}, {"id": 3, "label": "envirosenselist-Frontend-1", "x": 100, "y": 200}, {"id": 4, "label": "envirosenselist-backend-1", "x": 200, "y": 200}, {"id": 5, "label": "envirosenselist-Frontend-1", "x": 100, "y": 300}, {"id": 6, "label": "envirosenselist-backend-1", "x": 200, "y": 300}], [{"x": 150, "y": 150, "x2": 250, "y2": 150}, {"x": 150, "y": 250, "x2": 250, "y2": 250}, {"x": 150, "y": 350, "x2": 250, "y2": 350}, {"x": 250, "y": 150, "x2": 250, "y2": 250}, {"x": 250, "y": 250, "x2": 250, "y2": 350}], [{"x": 150, "y": 150, "text": "HTTP/1.0 200 OK"}, {"x": 150, "y": 250, "text": "HTTP/1.0 200 OK"}, {"x": 150, "y": 350, "text": "HTTP/1.0 200 OK"}]

```

FIGURA 4.27. Pruebas de comunicación con actuador.

La figura 4.28 ilustra una prueba en la que se solicitó al actuador que transmitiera el estado de los relés al backend. El actuador respondió con los valores de cada relé, que fueron correctamente registrados en la base de datos.

FIGURA 4.28. Pruebas de comunicación con actuador.

La figura 4.29 permite visualizar una prueba en la que se envió un mensaje MQTT al actuador para activar el relé correspondiente a la bomba de agua durante cinco segundos. Al recibir el comando, el actuador ejecutó la acción y envió un mensaje con el estado de los relés. Finalizado el tiempo, transmitió un nuevo mensaje con el estado actualizado, y la confirmación de que la operación ha sido completada correctamente.

FIGURA 4.29. Pruebas de comunicación con actuador.

#### 4.7. Prueba integral del sistema

Esta prueba tuvo como objetivo validar el funcionamiento completo del sistema, para asegurar la correcta interacción entre todos los componentes: frontend, backend y dispositivos conectados. Se buscó verificar la secuencia de comunicación entre las distintas partes sin interrupciones ni errores.

La prueba comenzó en el frontend, donde se seleccionó un actuador y se accedió a su detalle. A continuación, se activó el relé correspondiente a la bomba de agua por un período de 30 segundos.

La figura 4.30 muestra la interfaz del frontend al momento de ejecutar la orden de activación del relé.

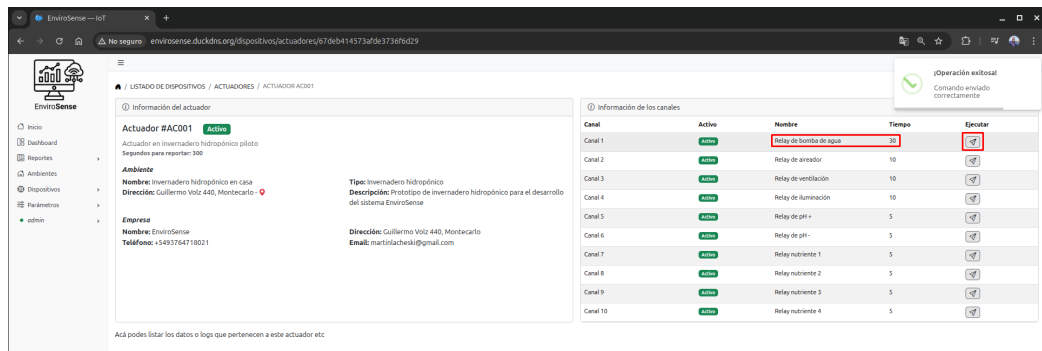
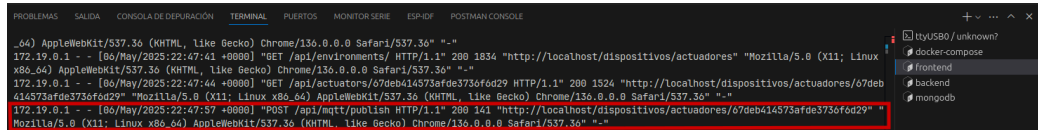


FIGURA 4.30. Envío de comando de activación al microcontrolador.

Al hacer clic en la interfaz, el frontend envió una petición HTTP tipo POST al backend. La figura 4.31 muestra la salida por consola del frontend, donde se visualiza el envío de dicha solicitud.



```

PROBLEMAS SALIDA CONSOLA DE DEPURACIÓN TERMINAL PUERTOS MONITOR SERIE ESP-IDF POSTMAN CONSOLE

... - [06/May/2025:22:47:41 +0000] "GET /api/environments/ HTTP/1.1" 200 1834 "http://localhost/dispositivos/actuadores" "Mozilla/5.0 (X11; Linux x86_64) AppleWebKit/537.36 (KHTML, like Gecko) Chrome/136.0.0.0 Safari/537.36"
172.19.0.1 - [06/May/2025:22:47:44 +0000] "GET /api/actuators/ HTTP/1.1" 200 1524 "http://localhost/dispositivos/actuadores" "Mozilla/5.0 (X11; Linux x86_64) AppleWebKit/537.36 (KHTML, like Gecko) Chrome/136.0.0.0 Safari/537.36"
172.19.0.1 - [06/May/2025:22:47:44 +0000] "POST /api/mqtt/publish HTTP/1.1" 200 141 "http://localhost/dispositivos/actuadores/e7deb414573afde3735fd0d29" "Mozilla/5.0 (X11; Linux x86_64) AppleWebKit/537.36 (KHTML, like Gecko) Chrome/136.0.0.0 Safari/537.36"

```

FIGURA 4.31. Salida por consola del frontend.

El backend recibió esta solicitud, la procesó y publicó un mensaje MQTT en el tópico correspondiente al microcontrolador. Luego respondió al frontend con un estado 200 OK, para indicar que la acción fue ejecutada correctamente.

En la figura 4.32 se observa la salida por consola del backend, el registro de la recepción de la solicitud, el envío del mensaje MQTT y la respuesta al frontend.



```

PROBLEMAS SALIDA CONSOLA DE DEPURACIÓN TERMINAL PUERTOS MONITOR SERIE ESP-IDF POSTMAN CONSOLE

INFO: 172.19.0.4:539930 - "POST /login HTTP/1.0" 200 OK
INFO: 172.19.0.4:52316 - "GET /actuators/ HTTP/1.0" 200 OK
INFO: 172.19.0.4:52304 - "GET /environments/ HTTP/1.0" 200 OK
INFO: 172.19.0.4:52324 - "GET /actuators/e7deb414573afde3735fd0d29" "HTTP/1.0" 200 OK
INFO: Mensaje enviado a actuators/sub: {"actuator_code": "AC001", "relay": "relay_water", "command": "ON", "duration": 30}
INFO: 172.19.0.4:54488 - "POST /mqtt/publish HTTP/1.0" 200 OK

```

FIGURA 4.32. Salida por consola del backend.

El microcontrolador, suscripto al tópico correspondiente, recibió el mensaje, con el comando, el canal correspondiente y el tiempo de activación. Procesó la información y activó el relé de la bomba de agua.

Luego, envió una respuesta al backend con el estado actualizado de los relés. Una vez transcurrido el tiempo programado, volvió a enviar un nuevo mensaje para indicar que la operación fue completada con éxito.

La figura 4.33 muestra la consola del microcontrolador, donde se registra la recepción del mensaje, la activación del relé y la respuesta enviada.



```

PROBLEMAS SALIDA CONSOLA DE DEPURACIÓN TERMINAL PUERTOS MONITOR SERIE ESP-IDF POSTMAN CONSOLE

Mensaje recibido:
Tópico: actuators/sub
Mensaje: {"actuator_code": "AC001", "relay": "relay_water", "command": "ON", "duration": 30}
Mensaje publicado: {"relay_ph_plus": 0, "relay_nutri_2": 0, "relay_ph_minus": 0, "relay_nutri_3": 0, "relay_vent": 0, "relay_aerator": 0, "relay_nutri_4": 0, "relay_nutri_1": 0, "actuator_code": "AC001", "relay_water": 1, "datetime": "2025-05-06 19:48:40", "relay_light": 0}
Mensaje publicado: {"relay_ph_plus": 0, "relay_nutri_2": 0, "relay_ph_minus": 0, "relay_nutri_3": 0, "relay_vent": 0, "relay_aerator": 0, "relay_nutri_4": 0, "relay_nutri_1": 0, "actuator_code": "AC001", "relay_water": 0, "datetime": "2025-05-06 19:49:10", "relay_light": 0}

Mensaje recibido:
Tópico: actuators/sub
Mensaje: {"timestamp": 49502, "actuator_code": "AC001", "status": "COMPLETED", "relay": "relay_water", "command": "OFF"}

```

FIGURA 4.33. Salida por consola del microcontrolador.

Posteriormente, el backend recibió el mensaje del microcontrolador y lo almacenó en la base de datos.

La figura 4.34 muestra la salida por consola del backend, donde se observa la recepción del mensaje del microcontrolador y el almacenamiento en la base de datos.

```

PROBLEMAS SALIDA CONSOLA DE DEPURACIÓN TERMINAL PUERTOS MONITOR SERIE ESP-IDF POSTMAN CONSOLE
+ v ... x
Mensaje recibido desde actuators/sub
Data: {'actuator_code': 'AC001', 'relay': 'relay_water', 'command': 'ON', 'duration': 30}
Mensaje recibido (esperando confirmación del actuador)
Mensaje recibido desde actuators/pub
Data: {'relay_ph_plus': 0, 'relay_nutri_2': 0, 'relay_ph_minus': 0, 'relay_nutri_3': 0, 'relay_vent': 0, 'relay_senator': 0, 'relay_nutri_4': 0, 'relay_nutri_1': 0, 'actuator_code': 'AC001', 'relay_water': 1, 'datetime': '2025-05-06 19:48:00', 'relay_light': 0}
Procesando mensaje de actuators/pub
Datos guardados en la base de datos.
Mensaje recibido desde actuators/pub
Data: {'relay_ph_plus': 0, 'relay_nutri_2': 0, 'relay_ph_minus': 0, 'relay_nutri_3': 0, 'relay_vent': 0, 'relay_senator': 0, 'relay_nutri_4': 0, 'relay_nutri_1': 0, 'actuator_code': 'AC001', 'relay_water': 0, 'datetime': '2025-05-06 19:49:00', 'relay_light': 0}
Procesando mensaje de actuators/pub
Mensaje recibido desde actuators/sub
Data: {'times': 49592, 'actuator_code': 'AC001', 'status': 'COMPLETED', 'relay': 'relay_water', 'command': 'OFF'}
Mensaje recibido (esperando confirmación del actuador)
Datos guardados en la base de datos.

```

FIGURA 4.34. Salida por consola del backend.

Para validar el almacenamiento, se utilizó MongoDB Compass. En la figura 4.35 se muestra la colección `ActuatorData`, donde se evidencia el registro del estado de los relés y la marca temporal de la operación, para reflejar el encendido y apagado de la bomba de agua.

_id	datetime	actuator_code	relay_water	relay_senator	relay_vent	relay_light	relay
1: ObjectID("681a9e1c02a0552c")	2025-05-06T19:49:10.000Z	"AC001"	false	false	false	false	false
2: ObjectID("681a9e1c02a0552c")	2025-05-06T19:49:40.000Z	"AC001"	true	false	false	false	false
3: ObjectID("681a9e0711e4632")	2025-05-06T19:21:37.000Z	"AC002"	false	false	false	false	false
4: ObjectID("681a9e0711e4632")	2025-05-06T19:21:37.000Z	"AC001"	false	false	false	false	false

FIGURA 4.35. Verificación de persistencia en MongoDB Compass.

Finalmente, el backend, envía un mensaje a todos los clientes conectados mediante WebSocket, para notificar la actualización del estado de los relés. El cliente recibe el mensaje y actualiza la interfaz, para reflejar el nuevo estado de los relés.

La figura 4.36 muestra el dashboard del frontend, donde se visualiza el estado actualizado de los relés, junto con la hora del sistema como referencia.

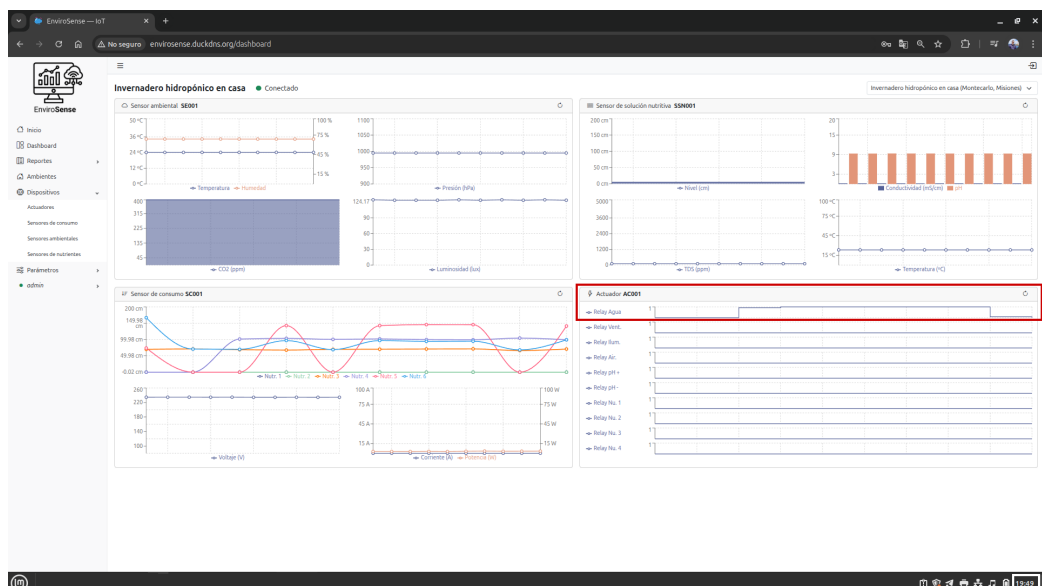


FIGURA 4.36. Actualización del estado de los relés en el frontend.

## Apéndice A

### Modelo de datos implementado en el trabajo

La figura [A.1](#) muestra el modelo de datos implementado en el trabajo.

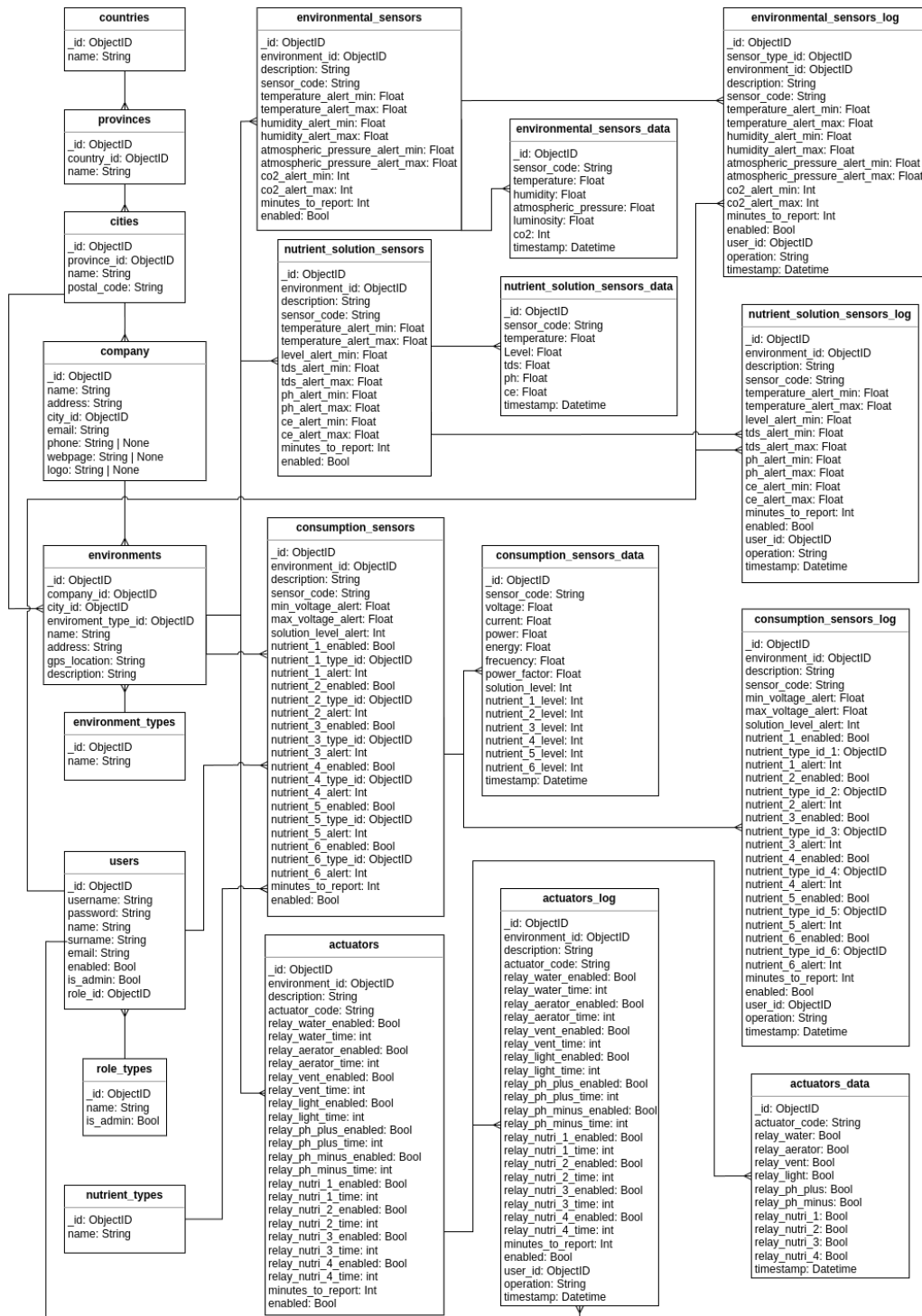


FIGURA A.1. Modelo de datos implementado en el trabajo.

## Apéndice B

# Resumen de endpoints de la API

Las siguientes tablas presentan un resumen de los endpoints implementados en la API, junto con una breve descripción de la acción y el método HTTP utilizado.

TABLA B.1. Resumen de principales endpoints de la API

Método	Endpoint	Acción
GET	/api/	Ruta por defecto
GET	/mqtt/test	Test conexión cliente MQTT
POST	/mqtt/publish	Publicar en tópico MQTT
POST	/login	Login de usuarios
GET	/renew-token	Renovar token
GET	/roles/	Obtener roles
POST	/roles/	Crear rol
GET	/roles/{id}	Obtener un rol
PUT	/roles/{id}	Actualizar rol
DELETE	/roles/{id}	Eliminar rol
GET	/users/	Obtener usuarios
POST	/users/	Crear usuario
PUT	/users/	Actualizar usuario
GET	/users/{id}	Obtener un usuario
DELETE	/users/{id}	Eliminar usuario
PATCH	/users/	Actualizar <b>username</b>
PATCH	/users/password	Actualizar <b>password</b>
GET	/users/me	Obtener un usuario
PATCH	/users/change/password	Actualizar 'username'
GET	/countries/	Obtener países
POST	/countries/	Crear país
GET	/countries/{id}	Obtener un país
PUT	/countries/{id}	Actualizar país
DELETE	/countries/{id}	Eliminar país
GET	/provinces/	Obtener provincias
POST	/provinces/	Crear provincia
GET	/provinces/{id}	Obtener una provincia
PUT	/provinces/{id}	Actualizar provincia
DELETE	/provinces/{id}	Eliminar provincia

TABLA B.2. Resumen de principales endpoints de la API

Método	Endpoint	Acción
GET	/cities/	Obtener ciudades
POST	/cities/	Crear ciudad
GET	/cities/{id}	Obtener una ciudad
PUT	/cities/{id}	Actualizar ciudad
DELETE	/cities/{id}	Eliminar ciudad
GET	/company/	Obtener empresas
POST	/company/	Crear empresa
GET	/company/{id}	Obtener una empresa
PUT	/company/{id}	Actualizar empresa
DELETE	/company/{id}	Eliminar empresa
POST	/company/uploadLogo	subir logo empresa
GET	/environments/types/	Obtener tipos de ambientes
POST	/environments/types/	Crear tipo de ambiente
GET	/environments/types/{id}	Obtener un tipo de ambiente
PUT	/environments/types/{id}	Actualizar tipo de ambiente
DELETE	/environments/types/{id}	Eliminar tipo de ambiente
GET	/environments/	Obtener ambientes
POST	/environments/	Crear ambiente
GET	/environments/{id}	Obtener un ambiente
PUT	/environments/{id}	Actualizar ambiente
DELETE	/environments/{id}	Eliminar ambiente
GET	/actuators/	Obtener actuadores
POST	/actuators/	Crear actuador
GET	/actuators/{id}	Obtener un actuador
PUT	/actuators/{id}	Actualizar actuador
DELETE	/actuators/{id}	Eliminar actuador
GET	/actuators/log/	Obtener logs de actuadores
POST	/actuators/log/	Crear log de actuador
GET	/actuators/data/	Obtener datos históricos
POST	/actuators/data/	Crear dato histórico
GET	/actuators/data/{id}	obtener un dato histórico
GET	/nutrients/types/	Obtener tipos de nutrientes
POST	/nutrients/types/	Crear tipo de nutriente
GET	/nutrients/types/{id}	Obtener un tipo de nutriente
PUT	/nutrients/types/{id}	Actualizar tipo de nutriente
DELETE	/nutrients/types/{id}	Eliminar tipo de nutriente
GET	/sensors/consumption/	Obtener sensores
POST	/sensors/consumption/	Crear sensor
GET	/sensors/consumption/{id}	Obtener un sensor
PUT	/sensors/consumption/{id}	Actualizar sensor
DELETE	/sensors/consumption/{id}	Eliminar sensor
GET	/sensors/consumption/log/	Obtener logs de sensor
POST	/sensors/consumption/log/	Crear log de sensor
GET	/sensors/consumption/data/	Obtener datos históricos
POST	/sensors/consumption/data/	Crear dato histórico
GET	/sensors/consumption/data/{id}	Obtener un dato histórico

TABLA B.3. Resumen de principales endpoints de la API.

Método	Endpoint	Acción
GET	/sensors/environmental/	Obtener sensores
POST	/sensors/environmental/	Crear sensor ambiental
GET	/sensors/environmental/{id}	Obtener un sensor
PUT	/sensors/environmental/{id}	Actualizar sensor
DELETE	/sensors/environmental/{id}	Eliminar sensor
GET	/sensors/environmental/log/	Obtener logs de sensor
POST	/sensors/environmental/log/	Crear log de sensor
GET	/sensors/environmental/data/	Obtener datos históricos
POST	/sensors/environmental/data/	Crear dato histórico
GET	/sensors/environmental/data/{id}	Obtener un dato histórico
GET	/sensors/nutrients/solution/	Obtener sensores
POST	/sensors/nutrients/solution/	Crear sensor
GET	/sensors/nutrients/solution/{id}	Obtener un sensor
PUT	/sensors/nutrients/solution/{id}	Actualizar sensor
DELETE	/sensors/nutrients/solution/{id}	Eliminar sensor
GET	/sensors/nutrients/solution/log/	Obtener logs de sensor
POST	/sensors/nutrients/solution/log/	Crear log de sensor
GET	/sensors/nutrients/solution/data/	Obtener datos históricos
POST	/sensors/nutrients/solution/data/	Crear dato histórico
GET	/sensors/nutrients/solution/data/{id}	Obtener un dato histórico



## Apéndice C

# Autenticación con JWT

El control de acceso se realiza mediante la verificación de un token JWT que se envía en las solicitudes. Si el token es válido, se permite el acceso a los recursos protegidos; de lo contrario, se devuelve un error de autenticación.

El código utiliza la librería `passlib` para el manejo de contraseñas y `bcrypt` para el cifrado. Además, se utiliza `fastapi.security` para manejar la autenticación y autorización.

El siguiente código es un ejemplo de cómo implementar el control de acceso en una API REST con FastAPI y JWT.

```

1 from fastapi import APIRouter, Depends, HTTPException, status
2 from fastapi.security import OAuth2PasswordBearer
3 from passlib.context import CryptContext
4 import jwt
5 import bcrypt
6 from models.user import User
7 KEY = "colocar_clave_secreta_aquí"
8 ALG = "HS256"
9 ACCESS_TOKEN_EXPIRE_MINUTES = 30
10 oauth2 = OAuth2PasswordBearer(tokenUrl="login")
11 crypt = CryptContext(schemes=[ "bcrypt" ], deprecated="auto")
12 async def auth_user(token: str = Depends(oauth2)):
13     exception = HTTPException(
14         status_code=status.HTTP_401_UNAUTHORIZED,
15         detail="Credenciales de autenticacion inválidas",
16         headers={"WWW-Authenticate": "Bearer"},
17     )
18     try:
19         user = jwt.decode(token, KEY, algorithms=[ALG]).get("username")
20         if user is None:
21             raise exception
22     except:
23         raise exception
24     user = await User.find_one({ "username": username })
25     if not user:
26         raise exception
27     return user
28     async def current_user(user: User = Depends(auth_user)):
29         if not user.enabled:
30             raise HTTPException(
31                 status_code=status.HTTP_400_BAD_REQUEST, detail="Usuario
32 deshabilitado"
33         )
34         return user

```

CÓDIGO C.1. Pseudocódigo del control de acceso.



## Apéndice D

# Conexión de la aplicación FastAPI con la base de datos MongoDB

La aplicación FastAPI se conecta con la base de datos MongoDB a través de la biblioteca Motor y el ODM Beanie. La conexión a la base de datos MongoDB se establece con la URL de conexión, que incluye el nombre de usuario, la contraseña y la dirección del servidor MongoDB. La URL de conexión se define en la configuración de la aplicación FastAPI y se utiliza para crear una instancia de Motor y Beanie.

El código D.1 ilustra la conexión a la base de datos MongoDB con Motor y Beanie.

```

1   from fastapi import FastAPI
2   from pymongo import MongoClient
3   from beanie import init_beanie
4   from motor.motor_asyncio import AsyncIOMotorClient
5
6   # Método asíncrono para inicializar la conexión a la base de datos
7   async def init_db():
8       client = AsyncIOMotorClient("mongodb://USER:PASSWORD@URL:PORT/?"
9                                   authSource=admin")
10      db = client.get_database("envirosense")
11      await init_beanie(database=db, document_models=[User, Role, Country, Province, City, Company, EnvironmentType, Environment, NutrientType, ConsumptionSensor, ConsumptionSensorData, ConsumptionSensorLog, EnvironmentalSensor, EnvironmentalSensorData, EnvironmentalSensorLog, NutrientSolutionSensor, NutrientSolutionSensorData, NutrientSolutionSensorLog, Actuator, ActuatorData, ActuatorLog])
12
13
14
15
16
17
18
19
20   # Iniciar FastAPI
21   app = FastAPI()
22
23   # Al inicializar la aplicación FastAPI, se ejecuta la función
24   # startup
25   @app.on_event("startup")
26
27   # Método asíncrono que se ejecuta al iniciar la aplicación
28   # Se utiliza el método await para esperar a que la conexión se
29   # establezca antes de continuar con la ejecución de la aplicación.
30   await init_db()
```

CÓDIGO D.1. Cliente MQTT.



## Apéndice E

# Conexión al broker MQTT con FastAPI y AWS IoT SDK para Python

La conexión al broker MQTT se realiza para permitir la comunicación entre el servidor IoT y el broker MQTT.

El código [E.1](#) muestra una política de acceso en AWS IoT Core que habilita al cliente a conectarse, publicar, suscribirse y recibir mensajes en cualquier tópico.

```

1  {
2      "Version": "2012-10-17",
3      "Statement": [
4          {
5              "Effect": "Allow",
6              "Action": [
7                  "iot:Connect",
8                  "iot:Publish",
9                  "iot:Subscribe",
10                 "iot:Receive"
11             ],
12             "Resource":
13                 "arn:aws:iot:*:*::*"
14         }
15     ]
16 }
```

CÓDIGO E.1. Ejemplo de política de acceso en AWS IoT Core.

El código [E.2](#) muestra el proceso de conexión a AWS IoT Core y la implementación de la lógica de publicación y suscripción a los tópicos.

En este código, se definen los métodos para conectar al broker, publicar y suscribirse a tópicos, y manejar los mensajes recibidos. Se implementó un cliente MQTT que interactúa con AWS IoT Core y se encarga de la comunicación con los nodos sensores y actuadores. Además, se incorporaron métodos para recibir datos de estos dispositivos, enviarles comandos y almacenar la información en la base de datos MongoDB.

```

1  import asyncio
2  import json
3  import os
```

```

4 # Importamos el cliente MQTT de AWS
5 from AWSIoTPythonSDK.MQTTLib import AWSIoTMQTTClient
6 # Importamos los modelos de datos
7 from models.actuator import Actuator
8 from models.actuator_data import ActuatorData
9 from models.sensor_consumption import ConsumptionSensor
10 from models.sensor_consumption_data import ConsumptionSensorData
11 from models.sensor_environmental import EnvironmentalSensor
12 from models.sensor_environmental_data import EnvironmentalSensorData
13 from models.sensor_nutrient_solution import NutrientSolutionSensor
14 from models.sensor_nutrient_solution_data import
NutrientSolutionSensorData
15 # Importamos la configuración de AWS
16 from mqtt.aws_config import AWS_ENDPOINT, MQTT_CLIENT_ID
17 # Importamos el cliente WebSocket
18 from websocket_manager import websocket_manager
19 import datetime
20
21 TOPIC_PUB_MODEL_MAP = {
22     "environmental/sensor/pub": EnvironmentalSensorData ,
23     "nutrient/solution/sensor/pub": NutrientSolutionSensorData ,
24     "consumption/sensor/pub": ConsumptionSensorData ,
25     "actuators/pub": ActuatorData ,
26 }
27
28 TOPIC_SUB_MODEL_MAP = {
29     "environmental/sensor/sub": EnvironmentalSensor ,
30     "nutrient/solution/sensor/sub": NutrientSolutionSensor ,
31     "consumption/sensor/sub": ConsumptionSensor ,
32     "actuators/sub": Actuator ,
33 }
34
35 # Método asíncrono para insertar datos en la base de datos
36 async def insert_sensor_data(payload, model_class):
37     try:
38         sensor_data = model_class(**payload)
39         await sensor_data.insert()
40         print("Datos guardados en la base de datos.")
41     except Exception as e:
42         print(f"Error al guardar datos en la base de datos: {e}")
43
44 # Método asíncrono para actualizar el intervalo de reporte
45 async def update_device_interval(device_code, new_interval,
model_class, device_type="sensor"):
46     try:
47         print(f"Se actualiza {device_type} {device_code} a {
new_interval}s en BD...")
48
49         # Convertir a entero explícitamente
50         interval_value = int(new_interval)
51         # Buscar el dispositivo con Beanie
52         query_field = "sensor_code" if device_type == "sensor" else
"actuator_code"
53         device = await model_class.find_one({query_field:
device_code})
54
55         if device:
56             # Actualizar con el método set de Beanie
57             await device.set({"seconds_to_report": interval_value})
58             print(f"Intervalo actualizado para {device_type} {
device_code}")
59             return True
60         else:

```

```
61         print(f"{device_type.capitalize()} {device_code} no")
62         encontrado en BD")
63         return False
64     except ValueError as e:
65         print(f"Error de validación: {e}")
66     except Exception as e:
67         print(f"Error al actualizar BD: {str(e)}")
68     return False
69
70 # Método para procesar mensajes entrantes de sensores y actuadores
71 async def process_sensor_message_pub(topic, payload):
72     try:
73         print(f"Mensaje recibido desde {topic}")
74         print(f"Data: {payload}")
75
76         model_class = TOPIC_PUB_MODEL_MAP.get(topic)
77         if model_class:
78             print(f"Se procesa mensaje de {topic}")
79             await insert_sensor_data(payload, model_class)
80
81             # Determinar el tipo de sensor para WebSocket
82             sensor_type = None
83             if "environmental/sensor/pub" in topic:
84                 sensor_type = "environmental"
85             elif "nutrient/solution/sensor/pub" in topic:
86                 sensor_type = "nutrient_solution"
87             elif "consumption/sensor/pub" in topic:
88                 sensor_type = "consumption"
89             elif "actuators/pub" in topic:
90                 sensor_type = "actuators"
91
92             # Verificar si el tipo de sensor es válido
93             if sensor_type:
94                 # Actualizar cache y enviar a WebSocket
95                 websocket_manager.update_cache(sensor_type, payload)
96                 await websocket_manager.broadcast({
97                     "type": sensor_type,
98                     "data": payload,
99                     "timestamp": datetime.datetime.now().isoformat()
100                })
101            else:
102                print(f"Tópico no reconocido: {topic}")
103        except Exception as e:
104            print(f"Error inesperado: {e}")
105
106    # Método para procesar mensajes de control de sensores y actuadores
107    async def process_sensor_message_sub(topic, payload):
108        try:
109            print(f"Mensaje recibido desde {topic}")
110            print(f"Data: {payload}")
111
112            model_class = TOPIC_SUB_MODEL_MAP.get(topic)
113            if not model_class:
114                print(f"Tópico no reconocido: {topic}")
115                return
116
117            # Determinar si es un sensor o actuador
118            is_actuator = "actuators/sub" in topic
119            device_type = "actuator" if is_actuator else "sensor"
120            code_field = "actuator_code" if is_actuator else "
121            sensor_code"
```

```

122     # Verificar que el campo de código exista en el payload
123     if code_field not in payload:
124         print(f"Falló campo {code_field} en el mensaje de {
device_type}")
125         return
126
127     # Solo procesamos si es una confirmación del dispositivo
128     if payload.get("interval") == "OK" and payload.get(
seconds_to_report):
129         print(f"Confirmación válida recibida del {device_type}")
130         await update_device_interval(
131             device_code=payload[code_field],
132             new_interval=payload["seconds_to_report"],
133             model_class=model_class,
134             device_type=device_type
135         )
136     else:
137         print(f"Mensaje recibido (se espera confirmación del {
device_type})")
138     except Exception as e:
139         print(f"Error al procesar mensaje: {e}")
140
141 # Clase para manejar la conexión y comunicación con AWS IoT Core
142 class AWSMQTTClient:
143     def __init__(self):
144         CERTS_DIR = os.getenv("CERTS_DIR", "certificates")
145         self.ROOT_CRT = os.path.join(CERTS_DIR, "root.crt")
146         self.CLIENT_CRT = os.path.join(CERTS_DIR, "client.crt")
147         self.CLIENT_KEY = os.path.join(CERTS_DIR, "client.key")
148
149     # Verificar existencia de certificados
150     for cert in [self.ROOT_CRT, self.CLIENT_CRT, self.CLIENT_KEY]:
151         if not os.path.exists(cert):
152             raise FileNotFoundError(f"El archivo {cert} no fue
encontrado.")
153
154     # Configurar cliente MQTT
155     self.client = AWSIoTMQTTClient(MQTT_CLIENT_ID)
156     self.client.configureEndpoint(AWS_ENDPOINT, 8883)
157     self.client.configureCredentials(self.ROOT_CRT, self.
CLIENT_KEY, self.CLIENT_CRT)
158     self.client.configureConnectDisconnectTimeout(10)
159     self.loop = asyncio.get_event_loop()
160
161     def connect(self):
162         print("Estableciendo conexión con AWS IoT Core.")
163         self.client.connect()
164         print("Cliente MQTT Conectado.")
165
166     def disconnect(self):
167         self.client.disconnect()
168         print("Cliente Desconectado")
169
170     def publish(self, topic, message):
171         payload = json.dumps(message) if isinstance(message, dict)
172         else str(message)
173         self.client.publish(topic, payload, 0)
174         print(f"Mensaje enviado a {topic}: {payload}")
175
176     def subscribe(self, topic, callback):
177         def wrapper(client, userdata, message):
178             try:

```

```
178     payload_str = message.payload.decode()
179     payload = json.loads(payload_str)
180     if topic in [ "environmental/sensor/sub", "nutrient/
181 solution/sensor/sub", "consumption/sensor/sub", "actuators/sub"]:
182         # process_sensor_message_sub(topic, payload)
183         self.loop.create_task(process_sensor_message_sub(
184             (topic, payload)))
185     else:
186         self.loop.create_task(process_sensor_message_pub(
187             (message.topic, payload)))
188     except json.JSONDecodeError:
189         print("Error al decodificar el mensaje JSON.")
190     except Exception as e:
191         print(f"Error inesperado en wrapper: {e}")
192
193     self.client.subscribe(topic, 1, wrapper)
194     print(f"Suscripto a {topic}")
195
196     def unsubscribe(self, topic):
197         self.client.unsubscribe(topic)
198         print(f"Desuscripto de {topic})
```

CÓDIGO E.2. Definición de Clase para cliente MQTT.

El código F.3 muestra la integración del cliente MQTT con la aplicación en FastAPI. Se define un cliente MQTT y se suscribe a los tópicos de publicación de datos de sensores y actuadores y tópicos de envío de parámetros a sensores y actuadores. Además, se definen los endpoints para probar la conexión MQTT y publicar mensajes desde la aplicación FastAPI.

```
1
2 # Fragmento de código para la integración del cliente MQTT con FastAPI
3
4 # Inicializar cliente MQTT
5 mqtt_client = AWSMQTTClient()
6
7 @app.on_event("startup")
8 async def startup():
9     await init_db()
10    mqtt_client.connect()
11
12    # Suscripción a tópicos de publicación de sensores y actuadores
13    mqtt_client.subscribe("environmental/sensor/pub",
14                          process_sensor_message_pub)
14    mqtt_client.subscribe("nutrient_solution/sensor/pub",
15                          process_sensor_message_pub)
15    mqtt_client.subscribe("consumption/sensor/pub",
16                          process_sensor_message_pub)
16    mqtt_client.subscribe("actuators/pub", process_sensor_message_pub)
17
18    # Suscripción a tópicos de envío de parámetros a sensores y
19    # actuadores
20    mqtt_client.subscribe("environmental/sensor/sub",
21                          process_sensor_message_sub)
21    mqtt_client.subscribe("nutrient_solution/sensor/sub",
22                          process_sensor_message_sub)
22    mqtt_client.subscribe("consumption/sensor/sub",
23                          process_sensor_message_sub)
23    mqtt_client.subscribe("actuators/sub", process_sensor_message_sub)
24
24 @app.on_event("shutdown")
25 async def shutdown():
```

```
26     mqtt_client.disconnect()
27
28 # Clase para manejar la publicación de mensajes MQTT
29 class PublishRequest(BaseModel):
30     topic: str
31     message: dict
32
33 # Endpoint para publicar mensajes MQTT
34 @app.post("/mqtt/publish")
35 def publish_message(request: PublishRequest, user: dict = Depends(
36     current_user)):
37     mqtt_client.publish(request.topic, request.message)
38     return {"status": "Mensaje publicado", "topic": request.topic, "message": request.message}
39
40 # Endpoint para probar la conexión MQTT
41 @app.get("/mqtt/test")
42 def test_mqtt_connection(user: dict = Depends(current_user)):
43     try:
44         mqtt_client.connect()
45         return {"status": "Conexión exitosa"}
46     except Exception as e:
47         return {"status": "Error de conexión", "error": str(e)}
```

CÓDIGO E.3. Cliente MQTT en FastAPI.

## Apéndice F

# Conexión por WebSocket en FastAPI

### F.1. Introducción

Para establecer una conexión WebSocket se emplea el módulo `websockets` de FastAPI, el cual permite crear un servidor que gestiona conexiones en tiempo real con múltiples clientes. En este caso, el cliente WebSocket se conecta a la ruta `/ws/sensor-data` para recibir información de sensores y actuadores. La conexión permanece activa mientras se intercambian datos, y se cierra automáticamente si ocurre un error o si el usuario no está autorizado.

### F.2. Autorización para WebSocket

El código F.1 muestra la función encargada de gestionar la autenticación del usuario a través del WebSocket. El token de acceso puede enviarse en el encabezado `Authorization` o como `Query Params`. Si el token es válido, se autentica al usuario; en caso contrario, se cierra la conexión.

```

1 from fastapi import WebSocket, status
2 from utils.authentication import auth_user, current_user
3
4 async def websocket_current_user(websocket: WebSocket):
5     try:
6         # Obtener el token del header o query parameter
7         token = websocket.headers.get("authorization") or websocket.
8         query_params.get("token")
9         if not token:
10             await websocket.close(code=status.WS_1008_POLICY_VIOLATION)
11             return None
12
13         # Limpiar el token (eliminar 'Bearer ' si existe)
14         if token.startswith("Bearer "):
15             token = token[7:]
16
17         user = await auth_user(token)
18         return await current_user(user)
19
20     except Exception as e:
21         print(f"Error en la autenticación del WebSocket: {e}")
22         await websocket.send_text( f"Error en la autenticación del
23         WebSocket: {str(e)}")
24         await websocket.close(code=status.WS_1008_POLICY_VIOLATION)

```

23

```
    return None
```

CÓDIGO F.1. Autorización para WebSocket.

### F.3. Gestión de conexiones WebSocket

En el código F.2 se presenta la clase `WebSocketManager`, encargada de gestionar las conexiones WebSocket. Esta clase sigue el patrón Singleton y mantiene una lista de conexiones activas, además de un caché con los últimos datos enviados por tipo de sensor. También gestiona la conexión y desconexión de los clientes, el envío de datos en tiempo real, y la actualización del caché con cada nuevo mensaje recibido.

```

1 import datetime
2 from typing import List, Dict, Optional
3 from fastapi import WebSocket
4
5 class WebSocketManager:
6     _instance: Optional['WebSocketManager'] = None
7
8     # Método de clase para obtener la instancia única (Singleton)
9     def __new__(cls):
10         if cls._instance is None:
11             cls._instance = super().__new__(cls)
12             cls._instance.active_connections: List[Dict] = []
13             cls._instance.sensor_data_cache: Dict[str, dict] = {
14                 "environmental": {},
15                 "nutrient_solution": {},
16                 "consumption": {},
17                 "actuators": {}
18             }
19         return cls._instance
20
21     # Método para manejar la conexión de un nuevo cliente WebSocket
22     async def connect(self, websocket: WebSocket, user: dict):
23         self.active_connections.append({
24             "websocket": websocket,
25             "user": user
26         })
27         # Enviar datos almacenados al nuevo cliente
28         for sensor_type, data in self.sensor_data_cache.items():
29             if data:
30                 await websocket.send_json({
31                     "type": sensor_type,
32                     "data": data["data"],
33                     "timestamp": data["timestamp"]
34                 })
35
36     # Método para manejar la desconexión de un cliente WebSocket
37     def disconnect(self, websocket: WebSocket):
38         self.active_connections = [
39             conn for conn in self.active_connections
40             if conn["websocket"] != websocket
41         ]
42
43     # Método para enviar un mensaje a un cliente WebSocket específico
44     async def broadcast(self, message: dict):
45         for connection in self.active_connections[:]:
46             try:
47                 await connection["websocket"].send_json(message)

```

```

48         except Exception as e:
49             print(f"Error broadcasting to WebSocket: {e}")
50             self.disconnect(connection)
51
52     # Método para enviar un mensaje a todos los clientes WebSocket
53     def update_cache(self, sensor_type: str, data: dict):
54         self.sensor_data_cache[sensor_type] = {
55             "data": data,
56             "timestamp": datetime.datetime.now().isoformat()
57         }
58
59     # Método para obtener datos almacenados en caché
60     def get_cached_data(self, sensor_type: str) -> dict:
61         return self.sensor_data_cache.get(sensor_type, {})
62
63     # Método para obtener la cantidad de clientes conectados
64     @property
65     def connected_clients(self) -> int:
66         return len(self.active_connections)
67
68     # Instancia del WebSocketManager
69     websocket_manager = WebSocketManager()

```

CÓDIGO F.2. Definición de clase WebSocket.

## F4. Integración con FastAPI

Finalmente, el fragmento F.3 muestra cómo se integra WebSocket en FastAPI. Cuando un cliente intenta conectarse a /ws/sensor-data, se autentica al usuario, se acepta la conexión y se agrega al gestor. La conexión se mantiene abierta mientras no se produzca un error o una desconexión por parte del cliente. En ambos casos, el gestor elimina al cliente de la lista de conexiones activas.

```

1  # Fragmento de código para la integración del cliente MQTT con FastAPI
2
3
4  # Importamos el cliente WebSocket
5  from utils.websocket import websocket_manager
6  # Importamos el cliente WebSocket para autenticación
7  from utils.websocket_auth import websocket_current_user
8
9  # WebSocket para recibir datos de sensores y actuadores
10 @app.websocket("/ws/sensor-data")
11 async def websocket_endpoint(websocket: WebSocket):
12     # Aceptar la conexión WebSocket
13     await websocket.accept()
14     # Obtener el usuario actual
15     user = await websocket_current_user(websocket)
16     # Verificar si el usuario está autenticado
17     if not user:
18         # Cerrar la conexión si no está autenticado
19         return
20
21     # Conectar el WebSocket al gestor
22     await websocket_manager.connect(websocket, user)
23
24     # Mantener la conexión abierta
25     try:
26         while True:
27             await websocket.receive_text()
28     except WebSocketDisconnect:

```

```
29     websocket_manager.disconnect(websocket)
30 except Exception as e:
31     print(f"Error en WebSocket: {e}")
32     websocket_manager.disconnect(websocket)
```

CÓDIGO F.3. Cliente WebSocket en FastAPI.

## Apéndice G

# Despliegue del sistema en instancia EC2

### G.1. Introducción

El presente anexo documenta el procedimiento realizado para la instalación, configuración y puesta en funcionamiento del entorno de servidor utilizado para alojar la solución EnviroSenseIoT. Esta solución se desplegó sobre una instancia virtual en Amazon EC2, se utilizaron servicios de infraestructura en la nube para garantizar la disponibilidad, escalabilidad y acceso remoto seguro al sistema.

Se detallan paso a paso las acciones ejecutadas para:

- Crear una instancia EC2 en Amazon Web Services (AWS) con Ubuntu 24.04 con sus respectivas claves de acceso.
- Configurar los puertos de red para permitir el acceso a los servicios necesarios.
- Acceder a la instancia EC2 mediante una conexión SSH segura.
- Instalar y configurar Docker como entorno de ejecución para contenedores.
- Incorporar Docker Compose para la orquestación de servicios.
- Configurar un cliente de actualización dinámica de DNS (DuckDNS) que permita asociar un nombre de dominio estático a la IP dinámica de la instancia.
- Descargar el repositorio del proyecto, crear archivos de configuración necesarios y establecer los certificados de seguridad requeridos para el funcionamiento del backend.
- Configurar la ejecución del sistema como servicio para garantizar su disponibilidad y facilitar su gestión.

### G.2. Creación de la instancia EC2

Para crear la instancia EC2, se siguieron los pasos detallados a continuación.

1. Ingresar a la consola de AWS y seleccionar EC2.
2. Hacer clic en "Lanzar una instancia".
3. Elegir la imagen de Ubuntu Server 24.04 LTS (HVM), SSD Volume Type.

4. Elegir el tipo de instancia: t2.micro.
5. Configurar los detalles de la instancia:
  - Número de instancias: 1
  - Configuración de red: VPC predeterminada.
  - Subred: subred predeterminada.
  - Asignar IP pública: sí.
6. Configurar almacenamiento:
  - Tamaño y tipo de disco: 8 GB gp3.
7. Crear un nuevo grupo de seguridad con las siguientes reglas:
  - a) SSH, TCP/22, Origen: 0.0.0.0/0.
  - b) HTTP, TCP/80, Origen: 0.0.0.0/0.
  - c) HTTPS, TCP/443, Origen: 0.0.0.0/0.
  - d) WebSocket, TCP/8000, Origen: 0.0.0.0/0.
  - e) MongoDB, TCP/27017, Origen: 0.0.0.0/0.
8. Generar una nueva clave de acceso:
  - Nombre de la clave: envirosense-app-key.
  - Formato de clave: PEM.
  - Descargar la clave privada (`envirosense-app-key.pem`) y resguardarla en un lugar seguro.

La figura G.1 muestra el resumen de la instancia creada.

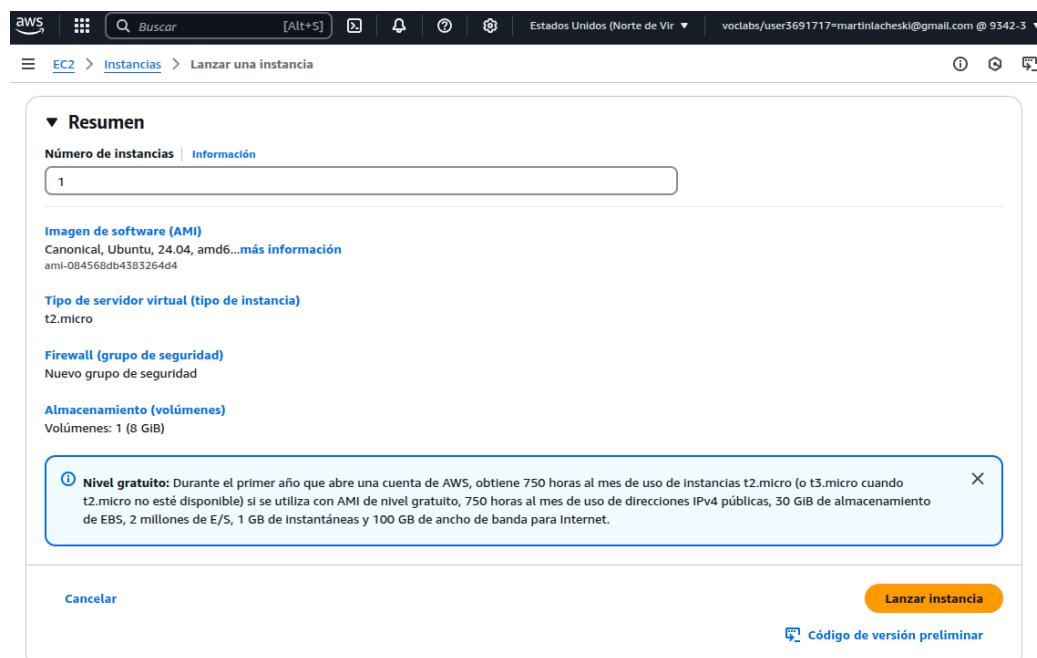


FIGURA G.1. Resumen de la instancia EC2 creada.

## G.3. Instalación y configuración del servidor EC2

Una vez creada la instancia EC2, se procedió a su configuración e instalación de los servicios necesarios para el funcionamiento del sistema EnviroSenseIoT. Para ello, se siguieron los siguientes pasos:

### G.3.1. Conectarse a la instancia EC2

Para establecer una conexión con una instancia EC2 mediante SSH, primero se debe abrir una terminal y ubicar la clave privada `envirosense-app-key.pem`, que será utilizada para la autenticación. Es fundamental restringir los permisos del archivo para que solo el propietario tenga acceso de lectura, de modo que el sistema SSH lo acepte como válido. Esto se logra al ejecutar el siguiente comando:

```
chmod 400 envirosense-app-key.pem
```

Una vez configurados los permisos, se puede establecer la conexión al utilizar el DNS público de la instancia. Por ejemplo:

```
ssh -i "key.pem" ubuntu@ec2-X.compute-1.amazonaws.com
```

La figura G.2 muestra la conexión SSH a la instancia EC2.

```
(.venv) martin@martin-mint-PC:~/Code/EnviroSenseIoT$ ssh -i "envirosense-app-key.pem" ubuntu@ec2-13-218-243-84.compute-1.amazonaws.com
The authenticity of host 'ec2-13-218-243-84.compute-1.amazonaws.com (13.218.243.84)' can't be established.
ED25519 key fingerprint is SHA256:2znIlnDtxVSpFo1uTk0lf+ipu8snsR0BFQqn36jgD08.
This key is not known by any other names.
Are you sure you want to continue connecting (yes/no/[fingerprint])? yes
Warning: Permanently added 'ec2-13-218-243-84.compute-1.amazonaws.com' (ED25519) to the list of known hosts.
Welcome to Ubuntu 24.04.2 LTS (GNU/Linux 6.8.0-1024-aws x86_64)

 * Documentation: https://help.ubuntu.com
 * Management: https://landscape.canonical.com
 * Support: https://ubuntu.com/pro

System information as of Sat May 3 01:35:47 UTC 2025

 System load: 0.0          Processes:      106
 Usage of /: 25.0% of 6.71GB   Users logged in:     0
 Memory usage: 20%           IPv4 address for enx0: 172.31.89.229
 Swap usage:  0%
 
Expanded Security Maintenance for Applications is not enabled.

0 updates can be applied immediately.

Enable ESM Apps to receive additional future security updates.
See https://ubuntu.com/esm or run: sudo pro status

The list of available updates is more than a week old.
To check for new updates run: sudo apt update

The programs included with the Ubuntu system are free software;
the exact distribution terms for each program are described in the
individual files in /usr/share/doc/*copyright.

Ubuntu comes with ABSOLUTELY NO WARRANTY, to the extent permitted by
applicable law.

To run a command as administrator (user "root"), use "sudo <command>".
See "man sudo_root" for details.

ubuntu@ip-172-31-89-229:~$
```

FIGURA G.2. Conexión SSH a la instancia EC2.

Una vez que se ingresó a la instancia EC2, se actualizaron los paquetes del sistema con los comandos:

```
sudo apt update
sudo apt upgrade
```

### G.3.2. Instalación de Docker

Para instalar Docker en Ubuntu, se siguió el tutorial oficial disponible en <https://docs.docker.com/engine/install/ubuntu/>. A continuación, se detallan los pasos realizados:

En primer lugar, se actualizó el sistema y se instalaron las dependencias necesarias:

```
sudo apt-get update
sudo apt-get install ca-certificates curl
sudo install -m 0755 -d /etc/apt/keyrings
sudo curl -fsSL https://download.docker.com/linux/ubuntu/gpg
-o /etc/apt/keyrings/docker.asc
sudo chmod a+r /etc/apt/keyrings/docker.asc
```

Luego, se agregó el repositorio de Docker a las fuentes de APT y se actualizó nuevamente el sistema:

```
echo \
"deb [arch=$(dpkg --print-architecture) signed-by=/etc/apt
/keyrings/docker.asc] \
https://download.docker.com/linux/ubuntu \
$(. /etc/os-release &&
echo "${UBUNTU_CODENAME:-$VERSION_CODENAME}") stable" | \
sudo tee /etc/apt/sources.list.d/docker.list > /dev/null
sudo apt-get update
```

A continuación, se procedió a instalar Docker y sus componentes esenciales, y se verificó la instalación mediante los siguientes comandos:

```
sudo apt-get install docker-ce docker-ce-cli containerd.io
docker-buildx-plugin docker-compose-plugin
sudo docker run hello-world
```

Para permitir el uso de Docker sin la necesidad de utilizar `sudo`, se agregó el usuario al grupo `docker` con los siguientes comandos:

```
sudo groupadd docker
sudo usermod -aG docker $USER
newgrp docker
docker run hello-world
```

Por último, se configuraron los servicios de Docker y `containerd` para que se inicien automáticamente al arrancar el sistema, mediante los siguientes comandos:

```
sudo systemctl enable docker.service
sudo systemctl enable containerd.service
```

### G.3.3. Instalación de Docker Compose

Para instalar Docker Compose, se siguieron los siguientes pasos: Se descargó la versión más reciente de Docker Compose desde el repositorio oficial de GitHub. En este caso, se utilizó la versión 2.17.2, que es la última versión estable al momento de la instalación. Se utilizó el siguiente comando para descargar el binario de Docker Compose y guardarlo en la ruta `/usr/local/bin/docker-compose`:

```
sudo curl -SL
https://github.com/docker/compose/releases/download/
v2.17.2/docker-compose-linux-x86_64
-o /usr/local/bin/docker-compose
```

Luego, se asignaron permisos de ejecución al binario de Docker Compose para que pueda ser ejecutado con el siguiente comando:

```
sudo chmod +x /usr/local/bin/docker-compose
```

A continuación, se verificó que la instalación fuera exitosa mediante:

```
docker-compose --version
```

Finalmente, se creó un enlace simbólico para facilitar su ejecución desde cualquier ruta del sistema:

```
sudo ln -s /usr/local/bin/docker-compose
/usr/bin/docker-compose
```

#### G.3.4. Instalación del cliente DuckDNS

Para comenzar con la instalación del cliente DuckDNS en la instancia EC2, se instalaron los paquetes necesarios mediante los siguientes comandos:

```
sudo apt-get update && sudo apt-get install cloud-utils -y
sudo apt install amazon-ec2-utils
```

A continuación, se siguieron las instrucciones proporcionadas por el sitio oficial de DuckDNS, específicamente en la sección para instancias EC2.

Luego, se creó un archivo llamado duck.sh en el directorio raíz del servidor. Este script se encarga de verificar si la dirección IP pública ha cambiado y, en caso afirmativo, actualizar el registro correspondiente en DuckDNS. El contenido del archivo es el siguiente:

```
#!/bin/bash
current_ip=""
while true; do
latest_ip=$(ec2-metadata --public-ipv4 | cut -d " " -f 2)
[ -z "$latest_ip" ] && latest_ip=$(curl -s ifconfig.me)
echo "Current IP: $current_ip | Latest IP: $latest_ip"
if [ "$current_ip" == "$latest_ip" ]; then
echo "IP no ha cambiado."
else
echo "IP ha cambiado. Se actualiza DuckDNS..."
current_ip="$latest_ip"
response=$(curl -s -k "https://www.duckdns.org/update?
domains=envirosense&token=TOKEN&ip=$latest_ip")
echo "DuckDNS response: $response" >> ~/duckdns/duck.log
fi
sleep 5m
done
```

Este script se ejecuta de forma continua, verifica cada cinco minutos si se produjo un cambio en la IP pública de la instancia.

### G.3.5. Descarga y configuración del repositorio EnviroSense

Para poner en marcha el sistema, primero se clonó el repositorio del código fuente desde GitHub y se accedió al directorio correspondiente con los siguientes comandos:

```
git clone
https://github.com/martinlacheski/EnviroSenseIoT.git
cd EnviroSenseIoT
```

A continuación, se ingresó al directorio EnviroSenseIoT y se creó el archivo `.env`, donde se definieron las variables de entorno necesarias para el correcto funcionamiento del sistema. Para ello, se utilizó el siguiente comando:

```
nano .env
```

En este archivo se incluyó la configuración vinculada a la conexión con la base de datos MongoDB, claves JWT para autenticación, y parámetros específicos tanto del backend como del frontend.

El contenido del archivo `.env` tiene los siguientes parámetros:

```
# Conexión MongoDB
MONGO_HOST=host # Dirección IP o nombre de host de MongoDB
MONGO_USER=user # Nombre de usuario para la conexión
MONGO_PASSWORD=password # Contraseña para la conexión
MONGO_DB=database # Nombre de la base de datos

# Conexión Backend
BACKEND_HOST=0.0.0.0 # Permitir conexión desde cualquier IP
BACKEND_CORS_ORIGINS=origins # Orígenes permitidos

# Configuración de JWT
# Generar una clave secreta con el comando:
# openssl rand -hex 32
BACKEND_SECRET_KEY=clave # Clave secreta generada
BACKEND_ALGORITHM="HS256" # Algoritmo de firma
BACKEND_ACCESS_TOKEN_EXPIRE_MINUTES=120 # Expiración token

# Configuración de Frontend
VITE_PWD_SIGNUP_ENABLED=true
VITE_BACKEND_API_URL=url # URL del backend
VITE_BACKEND_SOCKET_URL=url # URL del socket
```

Luego, se accedió al directorio `backend` del proyecto y se creó una carpeta llamada `certificates`, destinada a almacenar los certificados necesarios para las conexiones seguras:

```
cd backend
mkdir certificates
```

Dentro de esta carpeta, se generaron los archivos `client.crt`, `client.key` y `root.crt`, que contienen los certificados y la clave privada requeridos por AWS IoT Core para establecer comunicaciones seguras vía MQTT con TLS.

### G.3.6. Configuración del sistema como servicio

Para garantizar que la aplicación se inicie automáticamente con el sistema, se creó un servicio a través de systemd. En primer lugar, se generó el archivo de configuración del servicio con el siguiente comando:

```
sudo nano /etc/systemd/system/envirosense-iot.service
```

Dentro del archivo, se definió el siguiente contenido:

```
[Unit]
Description=EnviroSenseIoT Docker Compose
After=docker.service
Requires=docker.service

[Service]
Type=oneshot
RemainAfterExit=yes
WorkingDirectory=/home/ubuntu/EnviroSenseIoT
ExecStart=/usr/bin/docker-compose up --build -d
ExecStop=/usr/bin/docker-compose down
TimeoutStartSec=0

[Install]
WantedBy=multi-user.target
```

Este servicio está diseñado para levantar y detener los contenedores Docker definidos en el archivo docker-compose.yml, ubicado en el directorio del sistema.

Luego se recargó la configuración de systemd con el siguiente comando:

```
sudo systemctl daemon-reload
```

Luego, se habilitó el servicio para que se ejecute automáticamente al iniciar el sistema:

```
sudo systemctl enable envirosense-iot.service
```

También se realizó una prueba de ejecución manual del servicio para validar su funcionamiento:

```
sudo systemctl start envirosense-iot.service
```

Para comprobar que la aplicación se ejecutaba correctamente, se consultó el estado del servicio y se verificó la actividad de los contenedores:

```
sudo systemctl status envirosense-iot.service
docker ps
```

Finalmente, se realizó un reinicio del sistema para asegurarse de que el servicio se active correctamente de forma automática:

```
sudo reboot now
```

Después del reinicio, se validó que los contenedores estuvieran en ejecución y que el servicio estuviera activo:

```
docker ps
sudo systemctl status envirosense-iot.service
```

La figura G.3 muestra el acceso a la aplicación web EnviroSenseIoT a través del navegador web, con el nombre de dominio `envirosense.duckdns.org` asociado a la IP pública de la instancia EC2.

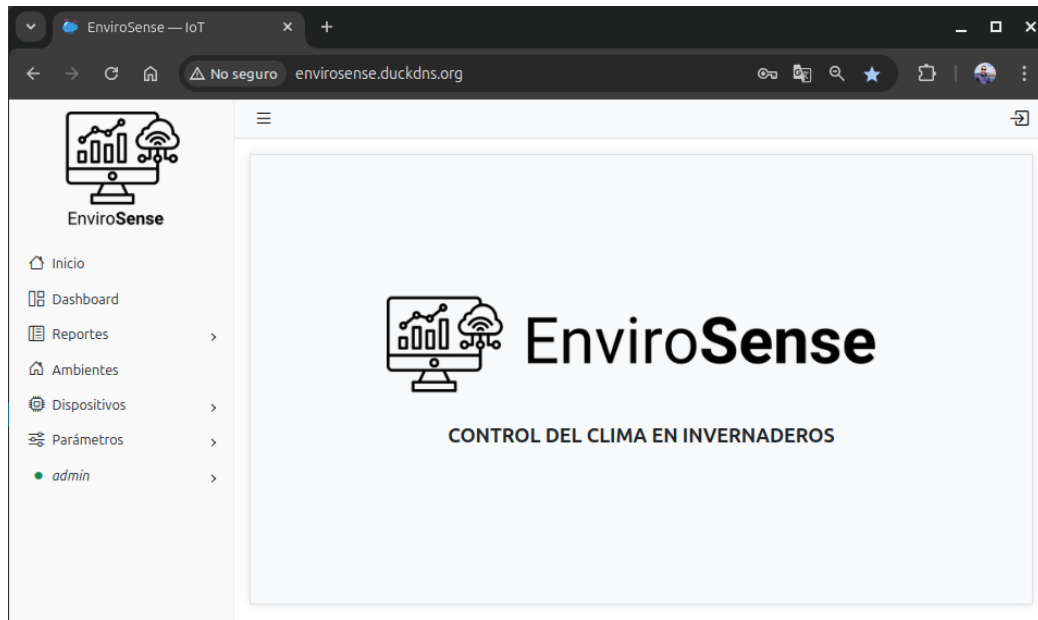


FIGURA G.3. Acceso a la aplicación web EnviroSenseIoT.

Finalmente, se comprobó el correcto funcionamiento de la aplicación y la comunicación mediante WebSocket, lo que permitió visualizar los datos en tiempo real. La figura G.4 ilustra cómo se presentan estos datos en la interfaz web desplegada en la instancia EC2.

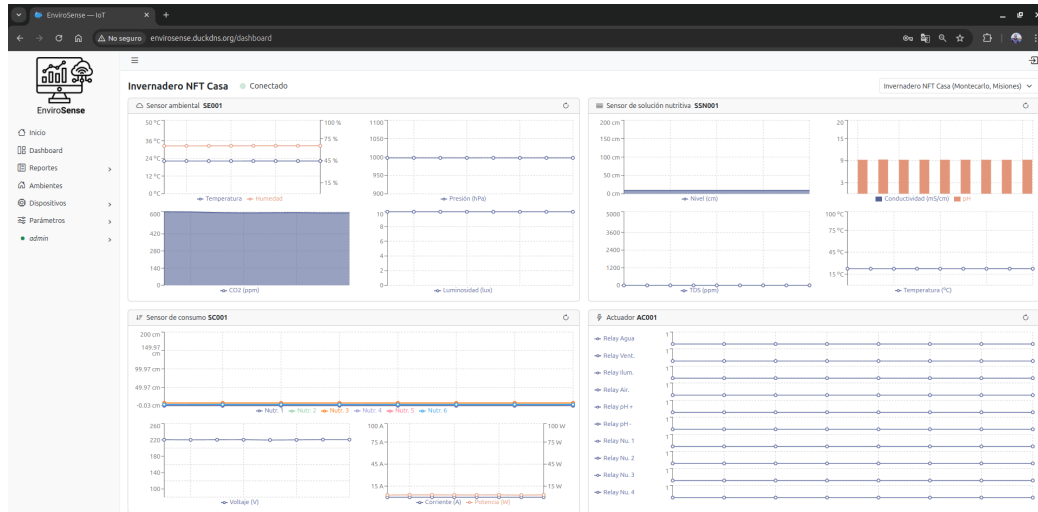


FIGURA G.4. Visualización de datos en tiempo real.

# Bibliografía

- [1] Global Agricultural Productivity (GAP). *2016 Global Agricultural Productivity Report*. Inf. téc. Documento en línea. Global Agricultural Productivity, 2016. URL: [https://globalagriculturalproductivity.org/wp-content/uploads/2019/01/2016\\_GAP\\_Report.pdf](https://globalagriculturalproductivity.org/wp-content/uploads/2019/01/2016_GAP_Report.pdf) (visitado 20-03-2025).
- [2] Raquel Salazar-Moreno, Abraham Rojano-Aguilar e Irineo Lorenzo López-Cruz. «La eficiencia en el uso del agua en la agricultura controlada». En: *Tecnología y ciencias del agua* 5.2 (2014). Documento en línea, págs. 177-183. URL: [http://www.scielo.org.mx/scielo.php?script=sci\\_arttext&pid=S2007-24222014000200012&lng=es&tlang=es](http://www.scielo.org.mx/scielo.php?script=sci_arttext&pid=S2007-24222014000200012&lng=es&tlang=es) (visitado 20-03-2025).
- [3] Misiones Online. *Horticultura en Misiones*. URL: <https://misionesonline.net/2024/06/14/horticultura-en-misiones-2/> (visitado 20-03-2025).
- [4] Primera Edición. *Misiones: la hidroponía, cada vez más presente*. Primera Edición. URL: <https://www.primeraedicion.com.ar/nota/100627758/misiones-la-hidroponia-cada-vez-mas-presente/> (visitado 20-03-2025).
- [5] Lucas A. Garibaldi et al. «Seguridad alimentaria, medio ambiente y nuestros hábitos de Consumo». En: *Ecología Austral* 28.3 (2018), págs. 572-580. URL: [https://www.scielo.org.ar/scielo.php?script=sci\\_arttext&pid=S1667-782X2018000400011&lng=es&tlang=es](https://www.scielo.org.ar/scielo.php?script=sci_arttext&pid=S1667-782X2018000400011&lng=es&tlang=es) (visitado 20-03-2025).
- [6] Hidropónia FIL. URL: <https://hidroponiafil.com.ar/> (visitado 20-03-2025).
- [7] Hidrosense. URL: <https://www.hidrosense.com.br/> (visitado 20-03-2025).
- [8] iPonia. URL: <https://iponia.com.br/> (visitado 20-03-2025).
- [9] Growcast. URL: <https://www.growcast.io/> (visitado 20-03-2025).
- [10] Shanna Li. «Comparative analysis of infrastructure and Ad-Hoc wireless networks». En: *ITM Web of Conferences*. Proceedings of the International Conference on Intelligent Computing, Communication & Information Technologies (ICICCI 2018) 25 (2019). Article number 01009, pág. 01009. ISSN: 2271-2097. DOI: <https://doi.org/10.1051/itmconf/20192501009>. URL: [https://www.itm-conferences.org/articles/itmconf/pdf/2019/02/itmconf\\_icicci2018\\_01009.pdf](https://www.itm-conferences.org/articles/itmconf/pdf/2019/02/itmconf_icicci2018_01009.pdf).
- [11] OASIS Open. *Foundational IoT Messaging Protocol MQTT Becomes International OASIS Standard*. OASIS Open. URL: <https://www.oasis-open.org/2014/11/13/foundational-iot-messaging-protocol-mqtt-becomes-international-oasis-standard/> (visitado 25-03-2025).
- [12] Amazon Web Services. ¿Qué es MQTT? AWS. URL: <https://aws.amazon.com/es/what-is/mqtt/> (visitado 25-03-2025).
- [13] E. Rescorla. *The Transport Layer Security (TLS) Protocol Version 1.3*. Internet Requests for Comments. RFC. DOI: [10.17487/RFC8446](https://doi.org/10.17487/RFC8446). URL: <https://datatracker.ietf.org/doc/html/rfc8446>.
- [14] IBM Corporation. *Protocolos TCP/IP*. International Business Machines (IBM). URL: <https://docs.aws.amazon.com/iot/latest/developerguide/transport-security.html> (visitado 25-03-2025).
- [15] I. Fette y A. Melnikov. *The WebSocket Protocol*. Inf. téc. IETF. DOI: [10.17487/RFC6455](https://doi.org/10.17487/RFC6455). URL: <https://tools.ietf.org/html/rfc6455>.

- [16] Amazon Web Services. *Transport Security in AWS IoT Core*. URL: <https://docs.aws.amazon.com/iot/latest/developerguide/transport-security.html> (visitado 25-03-2025).
- [17] Espressif Systems (Shanghai) Co., Ltd. *ESP32-WROOM-32 Datasheet*. URL: [https://www.espressif.com/sites/default/files/documentation/esp32-wroom-32\\_datasheet\\_en.pdf](https://www.espressif.com/sites/default/files/documentation/esp32-wroom-32_datasheet_en.pdf) (visitado 26-03-2025).
- [18] Bosch Sensortec. *BME280 - Combined humidity, pressure and temperature sensor*. URL: <https://www.bosch-sensortec.com/products/environmental-sensors/humidity-sensors-bme280/> (visitado 26-03-2025).
- [19] ROHM Semiconductor. *BH1750 - Ambient Light Sensor (ALS) - Datasheet*. URL: [https://www.mouser.com/catalog/specsheets/Rohm\\_11162017\\_ROHMS34826-1.pdf](https://www.mouser.com/catalog/specsheets/Rohm_11162017_ROHMS34826-1.pdf) (visitado 26-03-2025).
- [20] Zhengzhou Winsen Electronics Technology Co., Ltd. *MH-Z19C NDIR CO<sub>2</sub> Sensor - Terminal Type Manual*. URL: [https://www.mouser.com/datasheet/2/1398/Soldered\\_108994\\_co2\\_sensor\\_mh\\_z19-3532446.pdf](https://www.mouser.com/datasheet/2/1398/Soldered_108994_co2_sensor_mh_z19-3532446.pdf) (visitado 26-03-2025).
- [21] DFRobot. *Datos técnicos del sensor de pH líquido PH-4502C*. URL: <https://image.dfrobot.com/image/data/SEN0161/PH%20composite%20electrode%20manual.pdf> (visitado 26-03-2025).
- [22] METTLER TOLEDO. *Sensores de Conductividad*. METTLER TOLEDO International Inc. URL: <https://www.mt.com/es/es/home/products/Process-Analytics/conductivity-resistivity-analyzers/conductivity-sensor.html> (visitado 26-03-2025).
- [23] EC Buying. *Datos técnicos del sensor de CE*. URL: [https://es.aliexpress.com/item/1005003479288815.html?spm=a2g0o.order\\_list.order\\_list\\_main.40.42e8194dYjUbr1&gatewayAdapt=glo2esp](https://es.aliexpress.com/item/1005003479288815.html?spm=a2g0o.order_list.order_list_main.40.42e8194dYjUbr1&gatewayAdapt=glo2esp) (visitado 26-03-2025).
- [24] Hach Company. *Sólidos (totales y disueltos)*. URL: <https://es.hach.com/parameters/solids/> (visitado 26-03-2025).
- [25] DFRobot. *Datos técnicos Sensor TDS*. URL: <https://www.dfrobot.com/product-1662.html?srsltid> (visitado 26-03-2025).
- [26] Dallas Semiconductor. *Datos técnicos Sensor DS18B20*. URL: <https://cdn.sparkfun.com/datasheets/Sensors/Temp/DS18B20.pdf> (visitado 26-03-2025).
- [27] Sparkfun Electronics. *Datos técnicos del sensor ultrasónico*. URL: <https://cdn.sparkfun.com/datasheets/Sensors/Proximity/HCSR04.pdf> (visitado 26-03-2025).
- [28] Unit Electronics. *Datos técnicos del sensor de energía eléctrica PZEM-004T*. URL: <https://uelectronics.com/wp-content/uploads/2024/06/AR4189-AR4190-Medidor-de-Energia-Electrica-AC-100A-Manual.pdf> (visitado 26-03-2025).
- [29] Songle Relay. *Datos técnicos del relé Songle*. URL: [https://datasheet4u.com/pdf-down/S/R/D/SRD-12VDC-xx-x\\_ETC.pdf](https://datasheet4u.com/pdf-down/S/R/D/SRD-12VDC-xx-x_ETC.pdf) (visitado 26-03-2025).
- [30] Damien P. George y contributors. *MicroPython*. URL: <https://micropython.org/> (visitado 26-03-2025).
- [31] CTA Electronics. *MicroPython - Recursos y Guías*. URL: <https://www.ctaelectronics.com/es/micropython/> (visitado 26-03-2025).
- [32] Tiangolo. *FastAPI*. URL: <https://fastapi.tiangolo.com/> (visitado 26-03-2025).
- [33] MongoDB, Inc. *MongoDB Documentation*. URL: <https://www.mongodb.com/> (visitado 26-03-2025).
- [34] Meta (formerly Facebook) and contributors. *React: Biblioteca de JavaScript para interfaces de usuario*. URL: <https://es.react.dev/> (visitado 26-03-2025).

- [35] Docker, Inc. *Docker: Desarrollo acelerado de aplicaciones en contenedores*. URL: <https://www.docker.com/> (visitado 26-03-2025).
- [36] Amazon.com, Inc. *AWS IoT Core*. URL: <https://aws.amazon.com/es/iot-core/> (visitado 26-03-2025).
- [37] Amazon.com, Inc. *EC2, Nube de cómputo elástica de Amazon*. URL: <https://aws.amazon.com/es/ec2/> (visitado 26-03-2025).
- [38] Microsoft Corporation. *Visual Studio Code*. URL: <https://code.visualstudio.com/> (visitado 26-03-2025).
- [39] Postman, Inc. *Postman API Platform*. URL: <https://www.postman.com/> (visitado 26-03-2025).
- [40] Git. *Sistema de control de versiones Git*. URL: <https://git-scm.com/> (visitado 26-03-2025).
- [41] GitHub, Inc. *GitHub*. URL: <https://github.com/> (visitado 26-03-2025).
- [42] Beanie: *Asynchronous Python ODM for MongoDB*. URL: <https://beanie-odm.dev/> (visitado 01-04-2025).
- [43] Inc. MongoDB. *Motor: Asynchronous Python driver for MongoDB*. URL: <https://motor.readthedocs.io/en/stable/index.html> (visitado 01-04-2025).
- [44] Amazon Web Services. *AWS IoT SDKs - Guía del desarrollador*. URL: [https://docs.aws.amazon.com/es\\_es/iot/latest/developerguide/iot-sdks.html](https://docs.aws.amazon.com/es_es/iot/latest/developerguide/iot-sdks.html) (visitado 02-04-2025).
- [45] *FastAPI WebSockets Reference*. URL: <https://fastapi.tiangolo.com/reference/websockets/> (visitado 02-04-2025).
- [46] *Socket.IO: Real-time application framework*. URL: <https://socket.io/> (visitado 02-04-2025).
- [47] *React-Bootstrap: Bootstrap components built with React*. URL: <https://react-bootstrap.netlify.app/> (visitado 27-04-2025).
- [48] *Bootstrap Icons: Free, high quality SVG icon library*. URL: <https://icons.getbootstrap.com/> (visitado 28-04-2025).
- [49] *Axios: Promise based HTTP client for the browser and node.js*. URL: <https://axios-http.com/> (visitado 28-04-2025).
- [50] *Redux Toolkit: The official, opinionated, batteries-included toolset for efficient Redux development*. URL: <https://redux-toolkit.js.org/> (visitado 28-04-2025).
- [51] *React Router: Declarative Routing for React.js*. URL: <https://reactrouter.com/> (visitado 28-04-2025).
- [52] *Recharts: A composable charting library built on React components*. URL: <https://recharts.org/en-US> (visitado 28-04-2025).
- [53] *React Data Table Component: Interactive and accessible data tables for React*. Versión 7.6.2 utilizada en el proyecto. URL: <https://reactdatatable.com/> (visitado 28-04-2025).
- [54] Igor Ferreira. *micropython-wifi\_manager: WiFi connection handler for MicroPython*. URL: [https://github.com/ferreira-igor/micropython-wifi\\_manager](https://github.com/ferreira-igor/micropython-wifi_manager) (visitado 28-04-2025).
- [55] MicroPython Community. *micropython-lib: Standard library modules for MicroPython*. URL: <https://github.com/micropython/micropython-lib> (visitado 28-04-2025).
- [56] Martin Lacheski. *MicroPython-IoT-Devices*. URL: <https://github.com/martinlacheski/MicroPython-IoT-Devices> (visitado 28-04-2025).
- [57] *Docker Compose Documentation*. URL: <https://docs.docker.com/compose/> (visitado 02-05-2025).
- [58] *DuckDNS: Free Dynamic DNS hosted on AWS*. URL: <https://www.duckdns.org/> (visitado 02-05-2025).

- [59] NGINX: *High Performance Load Balancer, Web Server, & Reverse Proxy*. URL: <https://nginx.org/> (visitado 02-05-2025).
- [60] Martin Lacheski. *EnviroSenseIoT*. URL: <https://github.com/martinlacheski/EnviroSenseIoT> (visitado 03-05-2025).
- [61] Mercado Libre. *Placa Base Mother Screw Shield NodeMCU ESP32 WROOM 38 Pines*. URL: [https://articulo.mercadolibre.com.ar/MLA-1422223210-placa-base-mother-screw-shield-nodemcu-esp32-wroom-38-pines-\\_JM](https://articulo.mercadolibre.com.ar/MLA-1422223210-placa-base-mother-screw-shield-nodemcu-esp32-wroom-38-pines-_JM) (visitado 04-05-2025).
- [62] Swagger. *Swagger: API Documentation & Design Tools for Teams*. SmartBear Software. URL: <https://swagger.io/> (visitado 04-05-2025).
- [63] Inc. MongoDB. *MongoDB Compass: GUI for MongoDB*. URL: <https://www.mongodb.com/products/tools/compass> (visitado 04-05-2025).